

(1)

Einführung in die Numerik

1. Numerik gewöhnlicher Differentialgleichungen

Problemstellung: zu $F : [0, T] \times \mathbb{R}^d \rightarrow \mathbb{R}^d$, $x^0 \in \mathbb{R}^d$ finde man

$x : [0, T] \rightarrow \mathbb{R}^d$, so dass

$$\begin{aligned}\dot{x} &= F(t, x) \\ x(0) &= x^0\end{aligned}\quad \left\{ \begin{array}{l} \text{(Anfangswertproblem)} \end{array} \right.$$

Bem: im Allgemeinen $F : D \rightarrow \mathbb{R}^d$ $D \subset \mathbb{R} \times \mathbb{R}^d$ offen

1.1. Bsp

(i) Räuber - Beute - Modell

R Karpfenpopulation

G Hecht population

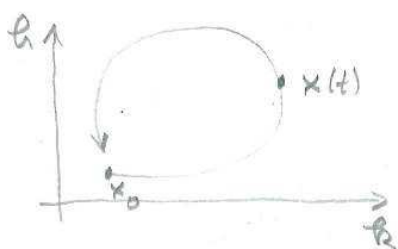
$$\begin{pmatrix} \dot{R} \\ \dot{G} \end{pmatrix} = \begin{pmatrix} (\alpha - \beta G(t)) R(t) \\ (-\gamma + \delta R(t)) G(t) \end{pmatrix}$$

$\alpha \triangleq$ Wachstum

$\beta \triangleq$ Dezimierung durch Feinde

$\gamma \triangleq$ Konkurrenz

$\delta \triangleq$ Nahrungsangebot



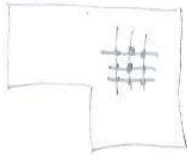
(ii) Lorenzmodell

$$\begin{pmatrix} \dot{x}_1 \\ \dot{x}_2 \\ \dot{x}_3 \end{pmatrix} = \begin{pmatrix} -\alpha(x_2 - x_1) \\ x_1(\lambda - x_3) - x_2 \\ x_1x_2 - \beta x_3 \end{pmatrix}$$

$\alpha = 10$, $\beta = \frac{8}{3}$, λ freie Parameter ($\lambda = 28$) \rightsquigarrow chaotische Dynamik

2

(iii) Zeitdiskretisierung der bereits diskreten Wärmelikenz (vgl. WS15/16):



Ue. fiktivfunktion auf einem fiktiv Ω_f
 zu einem Gebiet $\Omega \subset \mathbb{R}^d$ und zum Rand. Po;

$$\partial_t u - \Delta u = f \quad \text{in } (0,T) \times \Omega \quad \text{Quelle}$$

$$u(0, x) = u^0(x) \quad \text{on } \partial\Omega$$

$$u(t, x) = 0 \quad \text{auf } (0, T) \times \partial\Omega$$

Ortsdisjektivität: Gerecht $u_g: [0, T] \rightarrow \mathbb{R}^N$ $N = \#\Omega_g$ mit

$$\partial_t u_e(t) = \Delta_e u_e(t) + f_e(t)$$

$$u_g(0) = u_a^*$$

$$d=2 \quad L_a = \frac{1}{e^2} \begin{pmatrix} D-1 \\ -1 \\ -1 \\ -1D \end{pmatrix}$$

(iv) gewöhnliche Dgl. höherer Ordnung

$$y^{(n)}_j = g(t, y_j, \dot{y}_j, \ddot{y}_j, \dots, \ddot{y}^{(n-1)}) , \quad y^{(i)}(0) = y_{i,0} \quad i=1, \dots, n-1$$

note able.

Transformation: $x = \begin{pmatrix} x_1 \\ x_2 \\ \vdots \\ x_{n-1} \end{pmatrix}$ löst $\dot{x} = f(t, x)$ mit

$$x = \begin{pmatrix} x_0 \\ - \\ x_{n-1} \end{pmatrix}$$

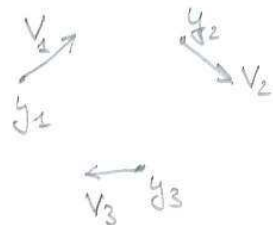
$$F(t, x) = \begin{pmatrix} x_1 \\ x_2 \\ \vdots \\ x_{n-1} \end{pmatrix}$$

(3)

(v) n -Körperproblem

y_i : Massenpunkte mit Massen m_i ($i=1, \dots, N$)

$$\begin{aligned} m_i \ddot{y}_i &= F_i((m_i, y_i)_{i=1, \dots, N}) \\ &= \nabla_{y_i} \Phi \text{ Potential} \end{aligned}$$



$$\Phi = -g \sum_{i \neq j} \frac{m_i m_j}{\|y_i - y_j\|^2} \quad (g \text{ Gravitationskonstante})$$

Anfangswerte: $y_i(0) = y_{0,i}$, $\dot{y}_i(0) = v_{0,i}$

1.2 Satz (Existenzsatz von Peano)

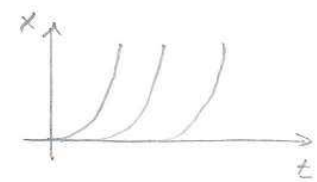
$D \subset \mathbb{R} \times \mathbb{R}^d$ offen, $F \in C^0(D, \mathbb{R}^d)$, $(t_0, x_0) \in D$, dann existiert $\delta \in \mathbb{R}^+$ und $x \in C^1([t_0, t_0 + \delta], \mathbb{R}^d)$, so dass $(\dot{x}, x(t))_{t \in [t_0, t_0 + \delta]} \subset D$ und

$$\dot{x}(t) = F(t, x(t)), \quad x(0) = x_0 \quad \text{für } t \in [t_0, t_0 + \delta]$$

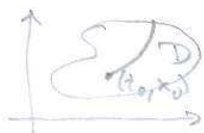
Bew (Analysis)

- keine Eindeut., Bsp: $\dot{x} = \Gamma x$, $x(0) = 0$

$$x(t) = \frac{1}{4}(t-t^*)^2$$



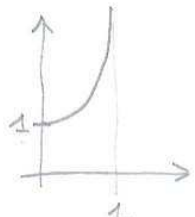
- Jede Lösung ist bis auf den Rand von D fortsetzbar



Bsp: $\dot{x} = x^2$

$$x(0) = 1$$

$$x(t) = \frac{1}{1-t}$$



1.3 Satz (Picard-Lindelöf) $D = [0, T] \times \Omega$,

Vor. wie oben, F Lipschitzstetig in x , dann existiert

eine eindeutige Lösung $x \in C^1$ bis zum Rand von D .

(4)

Bew: (i) Betrachte $x(t) = x^0 + \int_0^t F(s, x(s)) ds$
wähle δ klein, dann ist Φ : $C^0([t_0, t_0+\delta], \mathbb{R}^d) \rightarrow C^0([t_0, t_0+\delta], \mathbb{R}^d)$ mit
 $\Phi(x)(t) = x^0 + \int_{t_0}^t F(s, x(s)) ds$ eine kontinuierliche
Abbildung auf $(C^0([t_0, t_0+\delta], \mathbb{R}^d), \| \cdot \|_\infty)$, denn
 $\|\Phi(x) - \Phi(y)\|_\infty = \left\| \int_0^t F(s, x(s)) - F(s, y(s)) ds \right\|_\infty$
 $= \sup_{t \in [t_0, t_0+\delta]} \|F(s, x(s)) - F(s, y(s))\| \leq \underbrace{G'_{Lip}}_{\leq} \delta \sup_{s \in [t_0, t_0+\delta]} \|x(s) - y(s)\|_\infty$
 $=: q < 1$ falls δ klein

Banachscher Fixpunktatz

\Rightarrow

$\exists!$ Fixpunkt $x : [t_0, t_0+\delta] \rightarrow \Omega$ mit

$$x(t) = x^0 + \int_0^t F(s, x(s)) ds \Rightarrow x \in C^1$$

(ii) Fortsetzung: $\tilde{x}(t) = F(t+\delta, \tilde{x})$ $\stackrel{(i)}{\Rightarrow} \exists \tilde{\delta}, \tilde{x} : [t_0, t_0+\tilde{\delta}] \rightarrow \Omega$
 $\tilde{x}(t_0) = x(t_0+\delta)$ Lösung

$$x|_{[t_0+\delta, t_0+\tilde{\delta}+\tilde{\delta}]} = \tilde{x}(t-\delta) \Rightarrow x \text{ fortsetzbar}$$

□

1.4 Def (Phasenfluß)

Vor. wie oben, dann heißt die Abbildung $\Phi_{t_0, t_0}(\cdot)$ mit

$$\Phi_{t_0, t_0}(x^0) := x(t, t_0, x^0) \quad (\text{Evolution})$$

mit $\partial_t x = F(t, x)$; und $x(t_0, t_0, x^0) = x^0$

Flußfunktion oder Phasenfluß (\mathcal{D} Phasoraum)

(5)

- 1.5. Lemma • $\Phi_{t_1, t_2} \circ \Phi_{t_2, t_3} = \Phi_{t_1, t_3}$
- $\Phi_{t_0, t_0} = 1$, $\frac{d}{dt} \Phi_{t+t_0, t} \Big|_{t=0} = F(t, x)$
- Falls F nicht von t abhängt ($\dot{x} = F(x)$), dann gilt $\Phi_{t+s, t} = \Phi_{s, 0}$ und man schreibt einfach Φ_t (autonome Dgl.)

Bew: (1)

Insbesondere: $x(t+, t, x^0), x(t, 0, x^0)$ lösen das gl. Anfangswertpb. $\dot{x} = F(x)$, $x(0) = x^0$ □

1.6. Bsp (geschlossene Lösung)

$$\begin{aligned}\dot{x}(t) &= A(t)x(t) + b(t) & A \in \mathbb{R}^{d,d}, b(t), x(t) \in \mathbb{R}^d, \\ x(0) &= x^0 & x_0 \in \mathbb{R}^d, \sup_t \|A(t)\| \leq C\end{aligned}$$

Methode der Variation der Konstanten:

$$\begin{array}{l} \overset{\circ}{x} = A(t) \overset{\circ}{x}(t) \\ \overset{\circ}{x}(0) = x^0 \end{array} \quad \left\{ \Rightarrow \overset{\circ}{x}(t) = e^{\int_0^t A(s) ds} x^0 \right.$$

$$\begin{array}{l} \overset{\circ}{x} = A(t) \overset{\circ}{x}(t) + b(t) \\ \overset{\circ}{x}(0) = 0 \end{array} \quad \left\{ \begin{array}{l} \text{Ansatz: } \overset{\circ}{x}(t) = e^{\int_0^t A(s) ds} y(t) \\ \Rightarrow \overset{\circ}{x}(t) = A(t) \overset{\circ}{x}(t) + e^{\int_0^t A(s) ds} \overset{\circ}{y}(t) \\ \stackrel{!}{=} A(t) \overset{\circ}{x}(t) + b(t) \end{array} \right.$$

$$\Rightarrow \overset{\circ}{y}(t) = e^{-\int_0^t A(s) ds} b(t), y(0) = 0$$

$$\Rightarrow y(t) = \int_0^t e^{-\int_0^r A(s) ds} b(r) dr$$

$$\begin{aligned}\rightarrow x(t) &= \overset{\circ}{x}(t) + \overset{\circ}{x}(t) \\ &= e^{\int_0^t A(s) ds} x^0 + \int_0^t e^{\int_s^t A(r) dr} b(r) dr\end{aligned}$$

(6)

Bem: Selbst geschlossene Lösungen können schwer zu berechnen sein!

Bsp: Lösung der Wärmeleitung (siehe 1.1. (iii))

$$\boxed{f_E = 0} \quad u_E(t) = e^{\int_0^t -L_E ds} u_{E,0} = e^{-L_E t} u_{E,0} \text{ (Dämpfung)}$$

$$\boxed{\text{allgemein}} \quad u_E(t) = e^{-t L_E} u_{E,0} + \int_0^t e^{-(t-s)L_E} f_E(s) ds$$

L_E hat nur positive Eigenwerte $0 < \lambda_1 \leq \lambda_2 \leq \dots \leq \lambda_N$
(symmetrisch)

1.7. Kondition gewöhnlicher Dgl'n

$$\boxed{\text{Pb}} \quad (\phi_{t,t_0}, x^0), \| \cdot \|_\infty \text{ als Norm}$$

Frage: Wie pflanzen sich Störungen fort?

$$\text{Betrachte } x^0 \mapsto \phi_{t,t_0}(x^0)$$

$$K_{\text{abs}} = \|\mathcal{D}_x \Phi_{t,t_0}(x^0)\|_\infty$$

$$\underbrace{(\mathcal{D}_x \phi_{t,t_0})(x_0)}_{=: \delta x(t)} \delta x = \lim_{s \rightarrow 0} \frac{1}{s} \left[\underbrace{\phi_{t,t_0}(x^0 + s \delta x)}_{x_s(t)} - \underbrace{\phi_{t,t_0}(x^0)}_{x(t)} \right]$$

$$\text{mit } x_s(t) = x_s(0) + \int_{t_0}^t F(\xi, x_s(\xi)) d\xi, x_s(0) = x^0 + s \delta x$$

$$\begin{aligned} \delta x(t) &= \delta x + \int_{t_0}^t \mathcal{D}_x F(\xi, x(\xi)) \delta x(\xi) d\xi \\ \Rightarrow \delta x(t) &= \delta x + \int_{t_0}^t \mathcal{D}_x F(\xi, x(\xi)) \delta x(\xi) d\xi \end{aligned}$$

$$\boxed{x_s(t) \approx x(t) + s \delta x(t)}.$$

$$\delta x(t) = \mathcal{D}_x F(t, x(t)) \delta x(t)$$

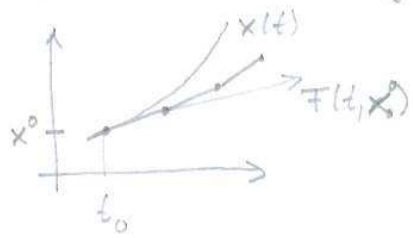
$$\delta x(t_0) = \delta x$$

$$\Rightarrow K_{\text{abs}}(t) = \sup_{\|\delta x\|_\infty} \|\delta x(t)\|_\infty$$

Bsp $\dot{x} = \lambda x \Rightarrow \delta \overset{\circ}{x} = \lambda \delta x \Rightarrow K_{\text{abs}} = e^{\lambda(t-t_0)}$ (7)

Betrachten wir nun numerische Verfahren:

1.8. Das Euler'sche Polygonzug-Verfahren



$$\phi_{t_0, t_0} x^0 \approx x^0 + (t - t_0) F(t_0, x^0)$$

$$=: \hat{\phi}_{t_0, t_0} x^0 \text{ numerische Fluss}$$

Idee: Sei $t_0 < t_1 < t_2 < \dots < t_n = T$, dann berechne

$$x_{i+1} = x_i + (t_{i+1} - t_i) F(t_i, x_i) \text{ mit } x_0 = x^0$$

$$\tau_i = t_{i+1} - t_i \quad \text{Schrittweite}$$

andere Schreibweise:

$$\left. \begin{array}{l} x_{i+1} = \hat{\phi}_{t_{i+1}, t_i} x_i \\ x_0 = x^0 \end{array} \right\} \begin{array}{l} (\text{diskrete}) \\ (\text{Evolution}) \end{array}$$

Welchen Fehler machen wir in einem Schritt?

$$\left\| \hat{\phi}_{t_i + \tau_i, t_i} x_i - \hat{\phi}_{t_i + \tau_i, t_i} x_i \right\| =$$

gleiche Anfangsdaten.

$$\begin{aligned} & \left\| x(t_i + \tau_i, t_i, x_i) - (x_i + \tau_i F(t_i, x_i)) \right\| \\ &= \left\| \int_{t_i}^{t_i + \tau_i} \dot{x}(s) ds + \tau_i F(t_i, x_i) \right\| = \left\| \int_{t_i}^{t_{i+1}} F(s, x(s)) ds - \underbrace{\tau_i F(t_i, x_i)}_{\text{Quadraturformel}} \right\| \end{aligned}$$

(exakt auf \mathcal{P}_0)

Quadraturfehler!

$$\leq C \tau_i^2 \max_{s \in [t_i, t_{i+1}]} \left\| \frac{d}{ds} F(s, x(s)) \right\|$$

$$\leq C \tau_i^2 \max_{(s, x) \in D} \left\| \partial_t F(s, x) + \partial_x F(s, x) F(s, x) \right\|$$

$$\downarrow \dot{x}(s) = F(s, x(s))$$

$$\text{ad } \textcircled{R}: \int_{t_i}^{t_{i+1}} F(s, x(s)) ds = \int_{t_i}^{t_{i+1}} (F(t_i, x_i) + \int_{t_i}^s \frac{d}{dt} F(\tau, x(\tau)) d\tau) ds$$

mit: $x(s) = x(s, t_i, x_i)$

$$= T_i F(t_i, x_i) + T_i \max_{t_i \leq s \leq t_{i+1}} \frac{d}{ds} F(s, x(s)) T_i$$

1.9. Def Eine stetige Abb. $\hat{\Phi}$, die einem $(t, x) \in D$ für s hinreichend klein ein $\hat{\Phi}_{t+s, t}^s x$ zuordnet mit $(t+s, \hat{\Phi}_{t+s, t}^s x) \in D$ heißt diskrete Evolution.

1.10. Def (Konsistenz)

Sei $(t, x) \in D$, dann heißt

$$\epsilon(t, x, \tau) = \hat{\Phi}_{t+\tau, t}^s x - \hat{\Phi}_{t+\tau, t}^0 x$$

Konsistenzfehler der diskreten Evolution $\hat{\Phi}$.

$\hat{\Phi}$ heißt konsistent, falls $\hat{\Phi}_{t, t}^0 = 1$

$$\frac{d}{d\tau} \hat{\Phi}_{t+\tau, t}^s x \Big|_{\tau=0} = F(t, x) \quad \forall (t, x) \in D$$

$\hat{\Phi}$ heißt konsistent von der Ordnung p , falls

$$\epsilon(t, x, \tau) = O(\tau^{p+1}) \quad \forall (t, x) \in K \subset D$$

1.11. Lemma $\hat{\Phi}_{t+\tau, t}^s x$ sei differenzierbar in τ , $\hat{\Phi}_{t, t}^0 = 1$, dann sind folgende Aussagen äquivalent:

$$(i) \quad \frac{d}{d\tau} \hat{\Phi}_{t+\tau, t}^s x \Big|_{\tau=0} = F(t, x) \quad (\text{Konsistenz})$$

$$(ii) \quad \hat{\Phi}_{t+\tau, t}^s x = x + \tau \hat{\varphi}(t, x, \tau) \quad \text{wobei } \hat{\varphi} \text{ stetig und} \\ \hat{\varphi}(t, x, 0) = F(t, x)$$

$$(iii) \quad \epsilon(t, x, \tau) = O(\tau)$$

(9)

Bew

$$\boxed{(i) \Rightarrow (ii)}$$

$$\hat{\Phi}_{t+\tau, t}^x = x + (\hat{\Phi}_{t+\tau, 1, t}^x - \hat{\Phi}_{t+\tau, 0, t}^x)(x)$$

$$= x + \tau \underbrace{\int_0^1 \partial_s \hat{\Phi}_{t+\tau s, t}^x ds}_{=: \hat{\varphi}(t, x, \tau)}$$

$$\Rightarrow \hat{\varphi}(t, x, \tau) = \frac{\hat{\Phi}_{t+\tau, t}^x - x}{\tau} \xrightarrow{\tau \rightarrow 0} \frac{d}{dt} \hat{\Phi}_{t+\tau, t}^x \Big|_{\tau=0} = \mathcal{F}(t, x)$$

$$\Rightarrow \hat{\varphi} \text{ stetig und } \hat{\varphi}(t, x, 0) = \mathcal{F}(t, x)$$

$$\boxed{(ii) \Rightarrow (iii)} \quad \frac{\epsilon(t, x, \tau)}{\tau} = \frac{\hat{\Phi}_{t+\tau, t}^x - x + x - \hat{\Phi}_{t+\tau, t}^x}{\tau}$$

$$\xrightarrow{\tau \rightarrow 0} \mathcal{F}(t, x) - \hat{\varphi}(t, x, 0) = 0$$

$$\boxed{(iii) \Rightarrow (i)} \quad 0 = \lim_{\tau \rightarrow 0} \frac{\epsilon(t, x, \tau)}{\tau} = \lim_{\tau \rightarrow 0} \left(\hat{\Phi}_{t+\tau, t}^x - x + x - \hat{\Phi}_{t+\tau, t}^x \right)$$

$$= \mathcal{F}(t, x) - \frac{d}{dt} \hat{\Phi}_{t+\tau, t}^x \Big|_{\tau=0}$$

4.12 Bem Wählt man $\hat{\varphi}(t, x, \tau) = \mathcal{F}(t, x)$, so erhält man das Euler'sche Polygonzug-Verfahren.

4.13 Bef (Konvergenz)

Eine diskrete Evolution $\hat{\Phi}$ heißt konvergent gen. eine kontin. Evolution Φ auf $[t_0, T]$, falls für eine Zerlegung von $[t_0, T]$

in Intervalle $[t_i, t_{i+1})$ mit $T_i = t_{i+1} - t_i < \tau$ und kont. Lösung x sowie diskrete Lösung $(x'_i)_{i=0, \dots, n(\tau)}$ mit $x'_{i+1} = \hat{\Phi}_{t_i, t_{i+1}}^x x'_i$ gilt

$$\|\epsilon\|_\infty := \max_{t=0, \dots, n(\tau)} |x_i - x(t_i)| \xrightarrow{\tau \rightarrow 0} 0$$

(10)

Die Konvergenz ist von der Ordnung $p > 0$, falls

$$\|E\|_\infty = O(\tau^p)$$

ZielKonsistenz der Ordnung p } \Rightarrow Konvergenz der Ordnung p

+ Stabilität der diskreten Evolution

$\curvearrowleft \hat{\Phi}$ Lipschitz stetig bzgl. x

1.14 Satz (Konvergenzsatz)

Vor. wie in 1.3. (Picard Lindelöf), sei $x \in C^1([t_0, T], \mathbb{R}^d)$

Lösung des AWP $\dot{x} = F(t, x)$, $x(t_0) = x^0$,

eine diskrete Evolution $\hat{\Phi}$ sei konsistent von der Ordnung $p > 1$,

$\hat{\Phi}$ sei Lipschitzstetig bzgl. x in einer Umgebung der Lösung, dann gibt es $\tau > 0$, so dass für alle diskreten Evolutionen mit $t_i' \leq t$

die Folgen $(x_i')_{i=0, \dots, n(\tau)}$ mit $x_i' = \hat{\Phi}_{t_i' + \tau, t_i} x^0$

von der Ordnung p konvergiieren für $\tau \rightarrow 0$.

Bem

- Nur für τ klein genug bleibt man im Definitionsbereich D von $F(\cdot, \cdot)$.
- Es genügt Konsistenz auf kompakten Umgebungen der Lösung
- $\hat{\Phi}$ Lipschitz-stetig bzgl. x mit Konstante C_{hp} \rightsquigarrow Stabilität

Bew

$$\epsilon_{i+1} := x(t_{i+1}) - x_{i+1}$$

$$= \hat{\Phi}_{t_{i+1}, t_i} x(t_i) - \hat{\Phi}_{t_{i+1}, t_i} x_i$$

$$= \hat{\Phi}_{t_{i+1}, t_i} x(t_i) - \hat{\Phi}_{t_{i+1}, t_i} x(t_i) \quad \left. \right\} = E(t_i, x(t_i), \tau_i) \\ + \hat{\Phi}_{t_{i+1}, t_i} x(t_i) - \hat{\Phi}_{t_{i+1}, t_i} x_i \quad \left. \right\} =: \hat{\epsilon}_i$$

Konsistenzfehler

Fortpflanzung des ϵ_i -Fehlers mit der diskreten Evolution

(11)

$$|\hat{\epsilon}_i| = |\hat{x}(t_i) - x_i + \tau_i (\hat{\varphi}(t_i, \hat{x}(t_i), \tau_i) - \hat{\varphi}(t_i, x_i, \tau_i))|$$

$$\leq (1 + \tau_i C_{\text{Lip}}) |\epsilon_i|$$

falls x_i nahe an $\hat{x}(t_i)$

$$\Rightarrow |\epsilon_{i+1}| \leq C \tau_i^{p+1} + (1 + C_{\text{Lip}} \tau_i) |\epsilon_i|$$

Beh: $|\epsilon_i| \leq \tau^p \frac{C}{C_{\text{Lip}}} (e^{C_{\text{Lip}}(t_i - t_0)} - 1) \quad \forall i=0, \dots, n$

hierzu: Induktion i=0 $\epsilon_0 = 0 \Rightarrow \hat{\epsilon}_0 = 0 \Rightarrow$
 $(C \text{ universelle Konstante}) \quad |\epsilon_0| = 0 \leq \tau^p \frac{C}{C_{\text{Lip}}} (e^0 - 1) = 0 \quad (\checkmark)$

i ~~~ i+1 $|\epsilon_{i+1}| \leq \tau^p [C \tau_i + (1 + C_{\text{Lip}} \tau_i) \frac{C}{C_{\text{Lip}}} (e^{C_{\text{Lip}}(t_i - t_0)} - 1)]$

$$\leq \frac{C}{C_{\text{Lip}}} \tau^p \left[\underbrace{(1 + C_{\text{Lip}} \tau_i)}_{\leq e^{C_{\text{Lip}} \tau_i}} e^{C_{\text{Lip}}(t_i - t_0)} - 1 \right]$$

$$\leq e^{C_{\text{Lip}} \tau_i}$$

$$\leq \frac{C}{C_{\text{Lip}}} \tau^p [e^{C_{\text{Lip}}(\tau_{i+1} - t_0)} - 1] \quad (\checkmark)$$

Damit ist insbesondere gezeigt, dass für τ klein (t_i, x_i) in einer Umgebung der kontinuierlichen Lösung liegt! \square

1.15 Bsp (explizite Eulermethode)

Falls $F \in C^1$, so ist das expl. Eulerverfahren konvergent von der Ordnung 1.

hierzu: $\hat{\varphi}(t, x, \tau) = F(t, x) \Rightarrow \text{Lipschitz-stetig}$ } $\epsilon_i = O(\tau)$
 $\epsilon_i(t, x, \tau) \stackrel{(1.8.)}{=} O(\tau^2)$

$$\text{Bem: } E_n \leq \underset{T=t_n}{\varepsilon^p} \underset{\text{Lip}}{C_{\text{Lip}}} \left(e^{C_{\text{Lip}}(T-t_0)} - 1 \right)$$

(12)

↑ kritische Konstante für T groß!

1.16 Das Cauchy-Euler-Vorfahren

Nachteil des Euler-Vorfahrens:

$$\frac{x_{i+1} - x_i}{\varepsilon} = F(t_i, x_i) \approx \dot{x}(t_i)$$

nur 1. Ordnung ↪ Vorausdifferenzenquotient

Bew: Ansatz mit zentralen Differenzenquotienten

$$\boxed{\begin{aligned} x_{i+1} &= x_i + \varepsilon_i F(t_i + \frac{\varepsilon_i}{2}, x_{i+\frac{1}{2}}) \\ x_{i+\frac{1}{2}} &= x_i + \frac{\varepsilon_i}{2} F(t_i, x_i) \end{aligned}}$$

↳ Approximation von $x(t_i + \frac{\varepsilon_i}{2})$

(Cauchy-Euler-Vorfahren)

1.17. Sab Falls $F \in C^2$, so ist das Cauchy-Euler-Vorfahren konvergent von der Ordnung 2:

$$|x(t_i) - x_i| = O(\varepsilon^2), \quad \varepsilon = \max_{i=0, \dots, n-1} \varepsilon_i$$

$$\begin{aligned} \text{Bew: } \Phi_{t+\varepsilon, t}(x(t)) &= x(t) + \varepsilon \dot{x}(t) + \frac{\varepsilon^2}{2} \ddot{x}(t) + O(\varepsilon^3) \\ &\quad \text{F(t, x(t))} \quad \underbrace{\frac{d}{dt} F(t, x(t))}_{\partial_t F(t, x(t)) + D_x F(t, x(t)) F(t, x(t))} \\ &= x(t) + \varepsilon F(t, x(t)) + \frac{\varepsilon^2}{2} \left(\partial_t F(t, x(t)) + D_x F(t, x(t)) F(t, x(t)) \right) \\ &\quad + O(\varepsilon^3) \end{aligned}$$

Entwickeln um $F(t+s, x+sF(t, x))$ bzgl. s um 0:

$$F(t+s, x+sF(t, x)) = F(t, x) + s \left(\partial_t F(t, x) + D_x F(t, x) F(t, x) \right) + O(s^2)$$

(13)

diskreter Fluss: $\hat{\Phi}_{t+\tau, t}^{\wedge}(x) = x + \tau F\left(t + \frac{\tau}{2}, x + \frac{\tau}{2} F(t, x)\right)$

$$\begin{aligned} \hat{\Phi}_{t+\tau, t}^{\wedge}(x) &= x + \tau \left[F(t, x) + \frac{\tau}{2} (\partial_t F(t, x) + D_x F(t, x) F(t, x)) \right. \\ &\quad \left. + O(\tau^2) \right] \end{aligned}$$

$$\Rightarrow \|\hat{\Phi}_{t+\tau, t}^{\wedge}(x) - \hat{\Phi}_{t+\tau, t}^{\wedge}(x)\| = O(\tau^3)$$

\Rightarrow Konsistenz 2. Ordnung

$$\underbrace{\frac{\hat{\Phi}_{t+\tau, t}^{\wedge}(x) - x}{\tau}}_{\hat{\varphi}(t, x, \tau)} = F\left(t + \frac{\tau}{2}, x + \frac{\tau}{2} F(t, x)\right)$$

$\hat{\varphi}(t, x, \tau)$ Lipschitz $\Leftrightarrow F$ Lipschitz

1.14

 \Rightarrow Beh.

□

Betrachten wir nun die Kondition der diskreten Evolution:

$$\hat{K}_\tau(T) := \sup_{\substack{x_n \neq x_0 \\ \|x_0 - \tilde{x}_0\| \leq 1}} \frac{\|x_n - \tilde{x}_n\|}{\|x_0 - \tilde{x}_0\|} \quad \begin{matrix} x_n \\ \tilde{x}_n \end{matrix} \text{ Lösung zu AW} \quad \begin{matrix} x_0 \\ \tilde{x}_0 \end{matrix}$$

Konvergenzatz: $\hat{K}_\tau \xrightarrow[\tau \rightarrow 0]{} K$ (kond. Kondition des AWP)

Falls $\hat{K}_\tau \gg K$ (noch zu groÙe Zeitschritte), so sprechen wir von einem steifen Problem (kleine Zeitschritte \rightarrow groÙer Aufwand)

1.18 Bsp (i) $\dot{x} = \lambda x \quad x(0) = 1 \quad (x(t) = e^{\lambda t})$

$$K(T) = e^{\lambda T}$$

diskret: $x_{i+1} = (1 + \tau_i \lambda) x_i \Rightarrow$

$$x_{i+1} + \delta x_{i+1} = (1 + \tau_i \lambda)(x_i + \delta x_i), \quad \delta x_0 = \delta x \Rightarrow$$

$$K_{\tau}^{\lambda}(T) = \prod_{j=0}^{n-1} |1 + \tau_j \cdot \lambda|$$

$\boxed{\lambda > 0}$ $|1 + \tau_j \lambda| \leq e^{\tau_j \lambda} \Rightarrow K_{\tau}^{\lambda}(T) \leq e^{T\lambda} = K(T)$

\Rightarrow nicht stiff

$\boxed{\lambda \leq 0}$ nehmen wir eine konstante Schrittweite an:

$$K_{\tau}^{\lambda} = |1 - \tau |\lambda| |^n$$

$\boxed{\text{falls } \tau < \frac{2}{|\lambda|}}$ ($\Leftrightarrow |1 - \tau |\lambda| | < 1$) folgt

$$\max_{i=0, \dots, n} K_{\tau}^{\lambda}(t_i) < 1 = \max_{t \in [0, T]} K(T)$$

$\boxed{\text{falls } \tau > \frac{2}{|\lambda|}}$ $\max_{i=0, \dots, n} K_{\tau}^{\lambda}(t_i) = |1 - \tau |\lambda| |^n \xrightarrow{n \rightarrow \infty} \infty$

\Rightarrow stiffes Problem

(ii) Betrachte konkret: $u_e = -L_e u_e$ $u_e(0) = u_e^0$
(Wärmeleitung)

L_e EW $\lambda_{e,k}$ zu EV $v_{e,k}$

$$u_e^0 = \sum_{k=1}^N u_{e,k}^0 v_{e,k} \Rightarrow u_e(t) = \sum_{k=1}^N e^{-\lambda_{e,k} t} v_{e,k} u_{e,k}^0$$

D.h. das Einwurfschema führt auf ein stiffes Pb.

$$\text{falls: } \tau \geq \frac{2}{|\lambda_N|}, \quad \lambda_n = O(\epsilon^{-2})$$

\Rightarrow Schrittweitenbeschränkung: $\tau \leq \frac{2}{|\lambda_N|} = O(\epsilon^2)$

somit: Entstehung von Oszillationen

$\Leftrightarrow u_{e,k}$ $\epsilon \gg 1$ werden ausgetaut!

(15)

Wir konstruiert nun Verfahren höherer Ordnung:

$$\epsilon(t, x, \tau) = \hat{\Phi}_{t+\tau, t} x - \hat{\Phi}_{t+\tau, t} x \stackrel{!}{=} O(\tau^{p+1})$$

$$= (\underbrace{\hat{\Phi}_{t+\tau, t} x - x}_{\text{Taylorentwicklung in } \tau}) + (\underbrace{x - \hat{\Phi}_{t+\tau, t} x}_{\text{zu wählen}})$$

$$\stackrel{!}{=} \hat{\varphi}(t, x, \tau) \quad (\text{vgl. 1.17})$$

$$\hat{\Phi}_{t+\tau, t} x - x = \tau \partial_\tau \hat{\Phi}_{t+\tau, t} x \Big|_{\tau=0} + \frac{\tau^2}{2!} \partial_\tau^2 \hat{\Phi}_{t+\tau, t} x \Big|_{\tau=0} + \dots + \frac{\tau^p}{p!} \partial_\tau^p \hat{\Phi}_{t+\tau, t} x \Big|_{\tau=0} + O(\tau^{p+1})$$

hierin: $\partial_\tau \hat{\Phi}_{t+\tau, t} x = \partial_\tau x(t+\tau, t, x) \Big|_{\tau=0} = F(t, x)$

$$\begin{aligned} \partial_\tau^2 \hat{\Phi}_{t+\tau, t} x &= \partial_\tau^2 x(t+\tau, t, x) \Big|_{\tau=0} = \partial_\tau F(t+\tau, x(t+\tau)) \\ &\stackrel{\text{z.O.}}{=} \partial_t F(t, x) + D_x F(t, x) F(t, x) \end{aligned}$$

$$\dots \quad \partial_\tau^k \hat{\Phi}_{t+\tau, t} x = \underbrace{\Delta^k [F](t, x)}_{\text{Differentialoperator auf } F \text{ von der Ordnung } (k-1)}$$

Differentialoperator auf F von der Ordnung $(k-1)$

1. Ansatz

Wähle

$$\hat{\Phi}_{t+\tau, t} x = x + \sum_{k=1}^p \frac{\tau^k}{k!} \Delta^k [F](t, x) \quad (\text{Taylor-Verfahren})$$

Bsp: $\hat{\Phi}_{t+\tau, t} x = x + \tau F(t, x) + \frac{\tau^2}{2} (\partial_t F(t, x) + D_x F(t, x) F(t, x))$

ist konvergent von der Ordnung 2, falls $F \in C^2$

hierin: Konsistenz (v), Stabilität: $F \in C^2 \Rightarrow \hat{\varphi}$ Lipschitz

Nachteil: Ableitungsauwerteungen

(16)

Ziel: Verfahren höherer Ordnung nur mit $F(\cdot, \cdot)$ -Auswertungen?

$$\hat{\Phi}_{t+\tau, t} x = x + \int_0^\tau F(t+\xi, \hat{\Phi}_{t+\xi, t} x) d\xi$$

$$(*) \quad \hat{\Phi}_{t+\tau, t} x = x + \tau \sum_{i=1}^s b_i F(t+\xi_i, \hat{\Phi}_{t+\xi_i, t} x) + O(\tau^{p+1})$$

Quadraturformel

dabei ist $\hat{\Phi}_{t+\xi_i, t}$ zu bestimmen:

Falls F Lipschitz so genügt es dies von $(p-1)$ -ter Ordnung zu approximieren:

$$(**) \quad \hat{\Phi}_{t+\xi_i, t} x = \hat{\Phi}_{t+\xi_i, t}^+ + O(\tau^p)$$

$$\Rightarrow \hat{\Phi}_{t+\tau, t} x = x + \tau \sum_{i=1}^s b_i F(t+\xi_i, \hat{\Phi}_{t+\xi_i, t}^+ x) \\ (*) + (**) \quad \hat{\Phi}_{t+\tau, t} x + O(\tau^{p+1})$$

Ogl. Cauchy Euler-Verfahren:

$$\hat{\Phi}_{t+\xi, t} x = x + \xi F(t, x)$$

$$\hat{\Phi}_{t+\tau, t} x = x + \tau F(x + \frac{\tau}{2}, x + \frac{\tau}{2} F(t, x))$$

Dieses Vorgehen kann man iterieren:

1.19 Def (Runge-Kutta-Verfahren)

Ein Schema

$$k_i = F(t + c_i \tau, x + \tau \sum_{j=1}^{i-1} a_{ij} k_j) \quad i = 1, \dots, s$$

$$\hat{\Phi}_{t+\tau, t} x = x + \tau \sum_{i=1}^s b_i k_i$$

das konzentriert sich auf die Ordnung p heißt -
Runge-Kutta-Verfahren - p -te Ordnung (und s -te Stufe)

Notation:

$$\begin{array}{c|ccccc} C_1 & 0 & & & & \\ \hline C_2 & a_{21} & 0 & & & \\ | & a_{31} & a_{32} & & & \\ \hline C_S & a_{S1} & a_{S2} & \cdots & a_{SS-1} & 0 \\ b_1 & & & & b_{S-1} & b_S \end{array}$$

(17)

Euler - Verfahren : $\begin{array}{c|c} 0 & 0 \\ \hline 1 & \end{array}$

Cauchy - Euler - Verf.: $\begin{array}{c|c} 0 & 0 \\ \hline \frac{1}{2} & \frac{1}{2} \\ 0 & 1 \end{array}$

1.20 Lemma Eine Runge-Kutta-Schema ist konsistent für alle $F \in C^2(D, \mathbb{R}^d)$, falls $\sum_{i=1}^S b_i = 1$

Bew $\hat{\Phi}_{t+\tau, t} x = x + \tau \underbrace{\sum_{i=1}^S b_i F(t + c_i \tau, \tilde{x}_i)}_{\hat{\varphi}(t, x, \tau)}$ $\tilde{x}_i := x + \tau \sum_{j=1}^{i-1} a_{ij} \tilde{x}_j$

$\hat{\varphi}(t, x, \tau) = \sum_{i=1}^S b_i F(t, x) = F(t, x) \xrightarrow[1.41.(ii)]{\text{Konsistenz}}$ $\tilde{x}_i = x$ \square

1.21 Lemma Falls ein R-K-Verf. s-te Stufe der Konsistenz-Ordnung p besitzt für alle $F \in C^\infty(D, \mathbb{R}^d)$, so gilt $p \leq s$.

Bew Betrachte $\dot{x} = x$, $x(0) = 1$

$$x(\tau) = \hat{\Phi}_{\tau, 0} 1 = e^\tau = 1 + \tau + \frac{\tau^2}{2} + \dots + \frac{\tau^p}{p!} + O(\tau^{p+1})$$

$$k_i(\tau) = 1 + \tau \sum_{j=1}^{i-1} a_{ij} k_j(\tau), \quad k_1(\tau) = 1$$

$$\Rightarrow k_i(\cdot) \in \mathcal{P}_{i-1}$$

$$|\hat{\Phi}_{\tau, 0} 1 - \hat{\Phi}_{\tau, 0} 1| = |e^\tau - \tau \sum_{i=1}^s b_i k_i| \geq O(\tau^{s+1})$$

$$\begin{cases} \in \mathcal{P}_{s-1} \\ \in \mathcal{P}_s \end{cases}$$

Reiterentw. beginnt mit

$\frac{\alpha \tau^s}{s!} (\tau \leq s+1) \Rightarrow$ gilt nicht weiter für alle τ , da dieser Term dominant

$\Rightarrow p \leq s \quad \square$

1.22 Bsp (Runge-Kutta-Verfahren)

3-ko Ordnung:

0	$\frac{1}{2}$
$\frac{1}{2}$	$\frac{1}{2}$
1	-1 2
	$\frac{1}{6} \quad \frac{4}{6} \quad \frac{1}{6}$

oder

0	$\frac{1}{3}$
$\frac{2}{3}$	0 $\frac{2}{3}$
	$\frac{1}{4} \quad 0 \quad \frac{3}{4}$

4-ko Ordnung:

0	$\frac{1}{2}$	
$\frac{1}{2}$	$\frac{1}{2}$	
$\frac{1}{2}$	0 $\frac{1}{2}$	
1	0 0 1	
	$\frac{1}{6} \quad \frac{2}{6} \quad \frac{2}{6} \quad \frac{1}{6}$	

Bew: Methode zum Konistenzordnungsnaheis:

1. Entwickle $\hat{\Phi}_{t+\tau, t}$ in t an der Stelle t (v. Ordng p)
2. --- n --- $\hat{\Phi}_{t+\tau, t}$ --- n ---
3. Koeff. vgl.

(vgl. Cauchy - Verfahren)

1.23 Satz

Eine R.-K.-Verfahren p-ko Ordnung für $\dot{x} = F(t, x)$ mit F Lipschitz konvugiert von der Ordnung p.

Bew: z.B. $\hat{\Phi}$ ist Lipschitz-sch. in x

$$\hat{\Phi}(t, x, \tau) = \sum_{i=1}^s b_i k_i(t, x),$$

k_1, k_2, \dots, k_s Lipschitz

mit $k_i(x) = F(t + c_i t, x + \tau \sum_{j=1}^{i-1} a_{ij} k_j(t, x))$

F Lipschitz $\Rightarrow k_1$ Lipschitz \Rightarrow k_2 Lipschitz ... $\Rightarrow k_s$ Lipschitz

daraus folgt dann $\hat{\Phi}$ Lipschitz

□

Schrittweitensteuerung:

Aufgabe

Finde $n, \{t_i\}_{i \leq n-1}$, so dass $|x(t_n) - x_n| < \epsilon$
 $t_{i+1} = t_i + \tau_i, t_n = T$

und n möglichst klein

d.h. wir suchen eine adaptive Schrittweitensteuerung

Leitsatz: äquidistantes Gitter in der Zeit

$$\tau_i = \tau = \frac{T}{n}$$

$$E_{i+1} = x(t_{i+1}) - x_{i+1}$$

$$\overbrace{\left(\phi_{t_{i+1}, t_i} x(t_i) - \phi_{t_{i+1}, t_i} x_i \right)}^{\text{Vgl. Bew. 1.14}} + \underbrace{\left(\phi_{t_{i+1}, t_i} x_i - \hat{\phi}_{t_{i+1}, t_i} x_i \right)}_{\text{Fehlpropagation}} + \underbrace{\left(\hat{\phi}_{t_{i+1}, t_i} x_i - \hat{\phi}_{t_{i+1}, t_i} \hat{x}_i \right)}_{\text{Konsistenzfehler}}$$

Beschämung auf den Konsistenzfehler:

$$E_{i+1} = \|\phi_{t_i + \tau_i, t_i} x_i - \hat{\phi}_{t_i + \tau_i, t_i} x_i\|$$

Ziel: $E_{i+1} \leq \text{TOL}$ (genauer $E_{i+1} \approx \text{TOL} \cdot g$ ge(0,1)
und nicht überschätzter Fehler)

Bem: Falls $\text{TOL} \approx \text{TOL}^* \tau_i \Rightarrow \|E_{i+1}\| \leq \frac{\text{TOL}^*}{G_{L,p}} (e^{G_{L,p}(t_{i+1}, t_i)} - 1)$

(Bew. wie in 1.14, $G_{L,p}$ bzgl. $\phi_{t_{i+1}, t_i} x$)

aber wenig hilfreich da $G_{L,p}$ sehr große Abschätzung liefert!

Vor: • Verfahren der Ordnung p

• Sei \hat{E}_{i+1} eine Approximation von E_{i+1}

$$\hat{E}_{i+1} = E_{i+1} + O(\tau_i^{p+2})$$

\Rightarrow Falls f glatt \Rightarrow $E_{i+1} = c(t_i, x_i) \tau_i^{p+1} + O(\tau_i^{p+2}) \Rightarrow$
(Taylorentw.) $\hat{E}_{i+1} = c(t_i, x_i) \tau_i^{p+1} + O(\tau_i^{p+2})$

Wur soll: $\text{STOL} \approx c(t_i, x_i)(\tau_i^*)^{p+1}$
(S.o.) mit τ_i^* optimale Schrittweite

$$\sim \frac{\text{STOL}}{\hat{E}_{i+1}} \approx \frac{c(t_i, x_i)(\tau_i^*)^{p+1}}{c(t_i, x_i)(\tau_i^*)^{p+1} + O(\tau_i^{p+2})}$$

$$= \left(\frac{\tau_i^*}{\tau_i} \right)^{p+1} \left(\underbrace{\frac{c(t_i, x_i)}{c(t_i, x_i) + O(\tau_i)}}_{\xrightarrow[\tau_i \rightarrow 0]{} 1} \right)$$

$$\sim \boxed{\tau_i^* \approx \sqrt[p+1]{\frac{\text{STOL}}{\hat{E}_{i+1}} \cdot \tau_i}}$$

Ergänzend verlangen wir: $\tau_i^* \leq \tau_{\max}$

$\tau_i^* \leq G \tau_i$ (Beschränkung der Schrittweite verringern)

Wie berechnet man \hat{E}_{i+1} :

Betrachte zwei Runge-Kutta-Koeffizienten

RK(p) und RK(p+1) der Ordnung p und p+1 mit

Flüssen $\hat{\phi}^p$, $\hat{\phi}^{p+1}$ und definiere

$$\hat{E}_{i+1} = \|\hat{\phi}_{t_i+t_i, t_i}^{p+1} x_i - \hat{\phi}_{t_i, t_i}^p x_i\| \quad \begin{array}{l} \text{wähle glatte Norm} \\ (\text{z.B. Eukl. Norm}) \end{array}$$

1.24 Algorithmen

τ Anfangsschrittweite, x_0 Anfangswert, t_0 Anfangszeit

$$t = t_0; x = x_0;$$

while ($t < T$) {

$$s = t + \tau; y_1 = \hat{\phi}_{s,t}^p x; y_2 = \hat{\phi}_{s,t}^{p+1} x;$$

$$\hat{E} = \|y_2 - y_1\|; \tau = \min \{ G\tau, \tau_{\max}, \sqrt[p+1]{\frac{\text{STOL}}{\hat{E}}} \tau \};$$

if ($\hat{E} \leq \text{TOL}$) { $t = s; x = y_2;$ }

\uparrow "bessere Wot"

(21)

Insbesondere geeignet sind R-K.-Meth. bei denen für $RK(p+1)$ viel von $RK(p)$ wiederverwendet werden kann (eingebettete Verfahren)!

1.25. Bsp $RK(5,4)$

0	0			
$\frac{1}{2}$	$\frac{1}{2}$	0		
$\frac{1}{2}$	0	$\frac{1}{2}$	0	
1	0	0	1	0
1	$\frac{1}{6}$	$\frac{1}{3}$	$\frac{1}{3}$	$\frac{1}{6}$
<hr/>				
1/4. Ord.	$\frac{1}{6}$	$\frac{1}{3}$	$\frac{1}{3}$	$\frac{1}{6}$
<hr/>				
5. Ord.	$\frac{1}{6}$	$\frac{1}{3}$	$\frac{1}{3}$	0
				$\frac{1}{6}$

Mehraufwand

$$k_1 = F(t, x)$$

$$k_2 = F\left(t + \frac{\tau}{2}, x + \frac{\tau}{2} k_1\right)$$

$$k_3 = F\left(t + \frac{\tau}{2}, x + \frac{\tau}{2} k_2\right)$$

$$k_4 = F\left(t + \tau, x + \tau k_3\right)$$

$$k_5 = F\left(t + \tau, x + \frac{k_1 \tau}{6} + \frac{k_2 \tau}{3} + \frac{k_3 \tau}{3} + \frac{k_4 \tau}{6}\right)$$

$$x + \frac{\tau}{6}(k_1 + 2k_2 + 2k_3 + k_4) = \hat{\phi}_{t+\tau, t}^4 x$$

$$\hat{\phi}_{t+\tau, t}^5 x = x + \frac{\tau}{6}(k_1 + 2(k_2 + k_3) + k_5)$$

Nun betrachten wir implizite Verfahren:

(W)

$$K_\tau(t) \gg K(t)$$

stufe Probleme

$$\text{Bsp: } \dot{x} = Ax$$

$$\min \operatorname{Re} \lambda(A) < 0$$

$$\lambda \in \text{EW}_{\text{sa}} A$$

Konkav:

$$A = -L_e \quad (\text{L}_e \text{ Diskretisierung von } -\Delta_e)$$

$$\min \operatorname{Re} \lambda(-L_e) = -O(\epsilon^{-2})$$

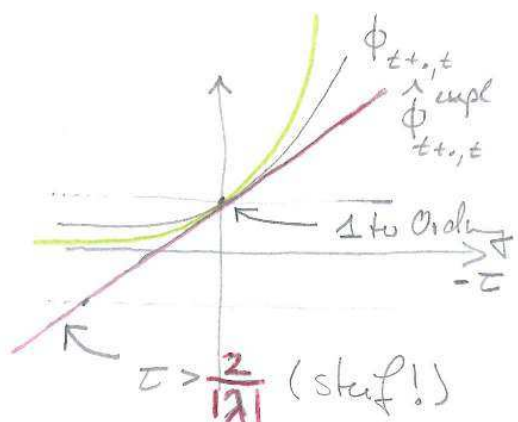
Idee

$$\dot{x} = \lambda x \quad (\lambda < 0)$$

$$\hat{\phi}_{t+\tau, t} x = e^{\lambda \tau} x$$

Euler (explizit) $\hat{\phi}_{t+\tau, t}^{\text{expl}} = (1 + \lambda \tau) x$

Euler (implizit) $\hat{\phi}_{t+\tau, t}^{\text{impl}} = \frac{1}{1 - \lambda \tau} x$



(22)

Euler implizit: $(1 - \lambda \tau_i) x_{i+1} = x_i$

oder für $\dot{x} = Ax$: $(1 - \tau_i A) x_{i+1} = x_i$ (lin. gl. system!)

noch allgemeiner: x_{i+1} Nullstelle einer (nicht)linearen Funktion

zunächst: Stabilitätsuntersuchung

1.26 Def Eine Evolution $\phi_{t,t_0} x_0$ heißt vorwärts stabil, falls $\forall \epsilon > 0 \exists \delta > 0$, so dass

$$\phi_{t,t_0} x \in B_\epsilon(\phi_{t,t_0} x_0) \quad \forall t \geq t_0 \quad \forall x \in B_\delta(x_0)$$

Sie heißt asymptotisch stabil, falls es zusätzlich $\delta > 0$ gibt mit

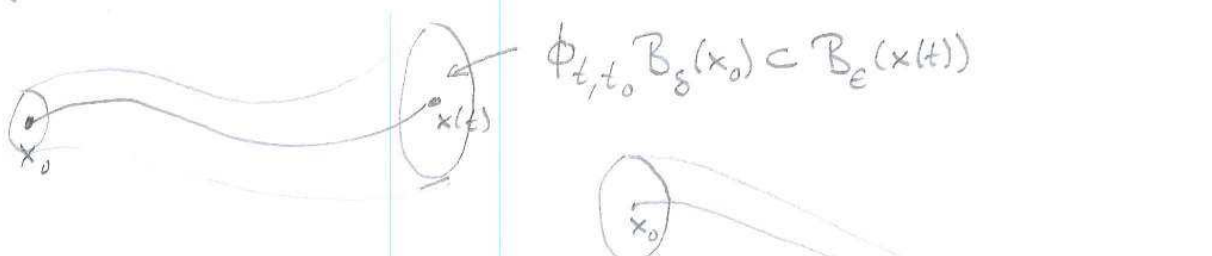
$$\lim_{t \rightarrow \infty} \|\phi_{t,t_0} x - \phi_{t,t_0} x_0\| = 0 \quad \forall x \in B_\delta(x_0)$$

1.27 Lemma Eine Evolution ist genau dann stabil, wenn für die Kondition $K(t)$ auf $[t_0, t]$ gilt

$$\sup_{t \geq 0} K(t) < \infty$$

Sie ist asymptotisch stabil, wenn $\lim_{t \rightarrow \infty} K(t) = 0$

Bew: (V)



$\text{Für } \dot{x} = Ax \quad x(0) = x_0$

$$\begin{aligned} K(t) &= \|\phi_t\|_\infty \\ &= \|e^{tA}\|_\infty \end{aligned}$$

$\mathcal{R}(A) \subset \mathbb{R}$

asympt. stabil

$$t \rightarrow \infty$$

Störungen werden für große Zeiten weg gedämpft!

1.28 Def $A \in \mathbb{R}^{d,d}$, dann definiere

$$\mathcal{Z}(A) = \{\lambda \in \mathbb{C} \mid \det(\lambda I - A) = 0\} \quad \underline{\text{Spektrum}}$$

$i(\lambda)$ = maximale Dimension einer Jordan blocks zum Eigenwert λ Index

$$\vartheta(A) = \max_{\lambda \in \mathcal{Z}(A)} \operatorname{Re}(\lambda) \quad \underline{\text{Spektralabszisse}}$$

1.29 Satz (i) Die Integralkurve x zum AWP $\dot{x} = Ax, x(0) = x_0$ ist genau dann stabil, wenn

$$\vartheta(A) \leq 0 \quad \underline{\text{und}} \quad (\operatorname{Re} \lambda = 0 \Rightarrow i(\lambda) = 1 \quad \forall \lambda \in \mathcal{Z}(A))$$

(ii) Sie ist asymptotisch stabil, falls

$$\vartheta(A) < 0$$

Bew

$$A = B \begin{bmatrix} \lambda & \\ & B^{-1} \end{bmatrix} \begin{bmatrix} \lambda & \\ & B \end{bmatrix}^{-1} \quad \begin{array}{l} \text{Jordan normal form} \\ \text{invertierbar} \end{array}$$

$e^{tA} = B e^{t\lambda} B^{-1} \rightsquigarrow$ es genügt einen Jordan Block $\lambda \in \mathbb{R}^{k,k}$ zu betrachten

$$\lambda = \lambda I + N \quad N = \begin{pmatrix} 0 & * & & \\ & \ddots & & \\ & & \ddots & * \\ & & & 0 \end{pmatrix}$$

$$e^{t\lambda} = e^{t\lambda} e^{tN} = e^{t\lambda} \left(I + tN + \frac{t^2}{2} N^2 + \frac{t^{k-1}}{(k-1)!} N^{k-1} \right)$$

$\lambda I, N$ vertauschen $e^{N^k} = 0$

$$\Rightarrow \|e^{t\lambda}\|_\infty \leq e^{t \operatorname{Re} \lambda} \underbrace{\left(1 + t \|N\|_\infty + \frac{t^{k-1}}{(k-1)!} \|N\|_\infty^{k-1} \right)}_{\text{Polynom in } t \text{ van grad}(k-1)}$$

$$\leq G e^{t(\operatorname{Re} \lambda + \epsilon)} \quad \text{Polynom in } t \text{ van grad}(k-1)$$

$\Rightarrow (ii)$

$$\boxed{zu(i)} \quad \operatorname{Re} \lambda = 0 \quad \|e^{t\lambda}\|_\infty \stackrel{N=0}{=} \|e^{t\lambda}\| = 1 \quad \square$$

Zulage:

$$\delta(A) = \delta_+(A) \cup \delta_-(A) \cup \delta_o(A)$$

$$\text{mit } \delta_{(\pm)}(A) = \{ \lambda \in \delta(A) \mid \operatorname{Re} \lambda > 0 \}$$

$$\delta_o(A) = \{ \lambda \in \delta(A) \mid \operatorname{Re} \lambda = 0 \}$$

E_+, E_-, E_o seien die dazu gehörigen stabilen, instabilen, zentralen Eigenräume

1.30 Lemma

Sei ϕ_t der Fluss zum AWP $\dot{x} = Ax$, $x(0) = x_0$, dann gilt

$$E_- = \{ x \in \mathbb{R}^d \mid \phi_t x \xrightarrow[t \rightarrow \infty]{} 0 \}$$

$$E_+ = \{ x \in \mathbb{R}^d \mid \phi_t x \xrightarrow[t \rightarrow -\infty]{} 0 \}$$

Bew:

$$x(t) = \underbrace{B e^{tJ} B^{-1}}_{\text{wie in 1.29}} \quad (\checkmark)$$

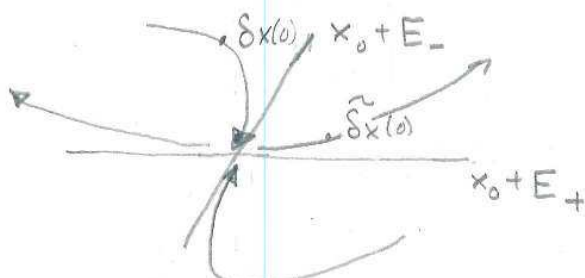
□

Linearisierung bei einem Fixpunkt:

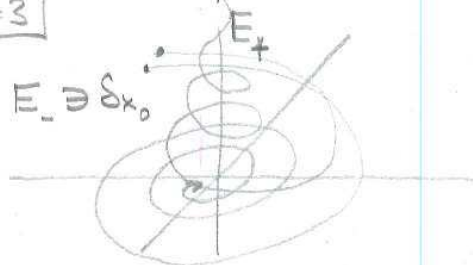
$$\dot{x} = v(x) \quad v(x_0) = 0$$

$$\dot{\delta x} = Dv(x_0) \delta x \quad (\text{Diff. gl. für Störung von } x(t) = x_0)$$

d=2 $\delta(Dv(x_0)) = \{ \lambda^+, \lambda^- \}$ mit $\lambda^\pm \in \delta_\pm(Dv(x_0))$



d=3



E_-

λ_1^-, λ_2^- komplex konjg. } \rightarrow Dreieck
 $\operatorname{Re} \lambda_1^-, \lambda_2^- < 0$ Kontraktion

1.31 Satz Sei x^* Fixpkt des autonomen Dgl. $\dot{x} = F(x)$, $F \in C^1$, $\nabla(DF(x^*)) < 0$, dann ist x^* ein asymptotisch stabiler Fixpkt, d.h.
 $\exists \varepsilon \forall x \in B_\varepsilon(x^*) \quad \phi_t x \xrightarrow[t \rightarrow \infty]{} x^*.$

Bew $F(x) = \underbrace{DF(x^*)(x - x^*)}_{=A} + o(x - x^*)$

O.B.d.A. $x^* = 0$

$$\phi_t x_0 = e^{tA} x_0 + \int_0^t e^{(t-s)A} o(\phi_s x_0) ds$$

$$\nabla(A) < -\delta < 0, \Rightarrow$$

$$\|\phi_t x_0\| \leq C e^{-\delta t} \|x_0\| + \int_0^t C e^{-\delta(t-s)} \delta \|\phi_s x_0\| ds \quad (*)^1$$

für $\delta \ll 1$

$$\Rightarrow \|\phi_t x_0\| \leq C e^{-(\delta-\delta)t} \xrightarrow[t \rightarrow \infty]{} 0$$

Bronwall'sches Lemma

→ hierzu: $\psi(t) := e^{\delta t} \|\phi_t x_0\| \Rightarrow$

$$\psi(t) \stackrel{(*)^2}{\leq} C \|x_0\| + \delta \int_0^t \psi(s) ds$$

Vergleiche mit $\varphi(t)$ Lösung von $\dot{\varphi}(t) = \delta \varphi(t), \varphi(0) = C \|x_0\| + \epsilon$

$$\Rightarrow \varphi(t) = C \|x_0\| + \epsilon + \delta \int_0^t \varphi(s) ds$$

$$\Rightarrow \underbrace{\psi(t) - \varphi(t)}_{=: \beta(t)} \leq \delta \int_0^t \psi(s) - \varphi(s) ds$$

$$(*)^2 \quad \psi(t) = e^{\delta t} (C \|x_0\| + \epsilon)$$

$\beta(0) < 0$

$\epsilon > 0$

Annahme: Es gebe $t^* = \inf_t \{\beta(t) \geq 0\}$

$$\Rightarrow \beta(t^*) = 0 \leq \delta \int_0^{t^*} \beta(s) ds < 0 \Leftrightarrow$$

$$\Rightarrow \boxed{\beta(t) < 0 \Rightarrow \psi(t) < \varphi(t)}$$

$$\Rightarrow \|\phi_t x_0\| = e^{-\delta t} \psi(t) \stackrel{(*)^2}{\leq} e^{-\delta t} e^{\delta t} (\epsilon \|\phi_0 x_0\| + \epsilon) \\ = e^{-(\beta-\delta)t} (\epsilon \|\phi_0 x_0\| + \epsilon) \xrightarrow[t \rightarrow \infty]{} 0 \quad \square$$

General case

1.31. Gronwall's Lemma Seien $\alpha, \beta, u : [0, T] \rightarrow \mathbb{R}$, $\beta, u \in C^0$, $\beta \geq 0$.

α lokal integrierbar auf $[0, T]$ ($T = \infty$ zugelassen).

Wie gilt

$$u(t) \leq \alpha(t) + \int_0^t \beta(s) u(s) ds, \quad (*)$$

(i) dann gilt

$$u(t) \leq \alpha(t) + \int_0^t \beta(s) \alpha(s) \exp\left(\int_s^t \beta(r) dr\right) ds \quad \forall t \in [0, T]$$

(ii) falls α monoton wachsend, dann gilt

$$u(t) \leq \alpha(t) \exp\left(\int_0^t \beta(s) ds\right)$$

Bem unter Glättungsannahmen folgt aus (*) die Differentialgleichung

$$\dot{u}(t) \leq \dot{\alpha}(t) + \beta(t) u(t) \quad \text{mit AW } u(0) = \alpha(0)$$

Bew: (i) $\varphi(s) := e^{-\int_0^s \beta(r) dr} \int_0^s \beta(r) u(r) dr \Rightarrow$

$$\dot{\varphi}(s) = \beta(s) \underbrace{\left(u(s) - \int_0^s \beta(r) u(r) dr\right)}_{\leq \alpha(s)} e^{-\int_0^s \beta(r) dr}$$

$$\stackrel{\circ}{\rightarrow} \varphi(t) \leq \int_0^t \beta(s) \alpha(s) e^{-\int_0^s \beta(r) dr} ds \\ \varphi(0) = 0$$

Damit folgt: $\int_0^t \beta(s) u(s) ds = e^{\int_0^t \beta(r) dr} \varphi(t) \\ \leq \int_0^t \beta(s) \alpha(s) e^{-\int_s^t \beta(r) dr} ds$

(*)
⇒ (i)

$$\begin{aligned}
 \boxed{\text{ad (ii) }} \quad u(t) &\leq \alpha(t) + \int_0^t \alpha(s) \left(e^{\int_0^s \beta(\tau) d\tau} \right)'(s) ds \\
 &\leq \alpha(t) \\
 &\leq \alpha(t) \left(1 + e^{\int_0^t \beta(\tau) d\tau} - 1 \right)
 \end{aligned}$$

□

Nun übertragen wir den Stabilitätsbegriff auf diskrete Phasenflüsse:

1.32. Def Ein diskretes autonomes Phasenfluss $\hat{\phi}_\tau$ heißt stabil, falls $\sup_{n \in \mathbb{N}} \|\hat{\phi}_\tau^n\| < \infty$

asymptotisch stabil, falls $\lim_{n \rightarrow \infty} \|\hat{\phi}_\tau^n\| = 0$

Bem: $\dot{x} = Ax, x(0) = x_0$

$x_{i+1} = (I + \tau A)x_i$ Eulerwaf. (explizit)

stabil $\Leftrightarrow \sup_n \|(I + \tau A)^n\| < \infty$

$\Leftrightarrow A \text{ symm. } \delta(A) \subset [-\lambda, 0] \quad \tau \leq \frac{2}{\lambda}$

asymptotisch stabil $\Leftrightarrow \|(I + \tau A)^n\| \xrightarrow{n \rightarrow \infty} 0$

$\Leftrightarrow A \text{ symm. } \delta(A) \subset [-\lambda, 0], \tau < \frac{2}{\lambda}$

→ R.-K.-Vorabin zu $\dot{x} = Ax$:

$\hat{\phi}_\tau = P(\tau A)$ mit $P \in \mathcal{P}_S$

Eulerwafaben $P(t) = 1 + t$

Candy-Eulerwafaben

$P(t) = 1 + t + \frac{t^2}{2}$

$x_{i+1} = x_i + \tau A(x_i + \frac{\tau}{2} Ax_i)$

$= (1 + \tau A + \frac{\tau^2}{2} A^2) x_i$

Allgemeines:

Rationale Fkt'n

$$R(t) = \frac{P(t)}{Q(t)} \quad \overset{\uparrow}{\phi}_t = R(\tau A) \Leftrightarrow$$

$$\underbrace{Q(\tau A)x_{i+1}}_{= P(\tau A)x_i} = P(\tau A)x_i \quad (\text{gl. system})$$

einfaechster Fall:

$$P = 1$$

$$Q = 1 - t$$

$$R(t) = \frac{1}{1-t}$$

$$\Leftrightarrow (I - \tau A)x_{i+1} = x_i \quad (\text{implizites Euler-Verfahren})$$

1.33 Satz

Sei $R(\cdot) = \frac{P(\cdot)}{Q(\cdot)}$ eine rationale Approximation
der Exponential-Fkt. der Ordnung P (Konsistenzord.)
dann gilt $p \leq \deg P + \deg Q$

Bew Annahme: $\deg P = k$, $\deg Q = j$ und $p > k+j \Rightarrow$

$$\frac{P(t)}{Q(t)} - e^t = O(t^{k+j+2}) \xrightarrow{Q(0) \neq 0}$$

$$\textcircled{*} \quad P(t) - Q(t)e^t = O(t^{k+j+2}) \xrightarrow{!} P, Q = 0$$

hierzu: Induktion über k

$$|k=0 \quad P=G \Rightarrow$$

$$Ge^{-t} - Q(t) = O(t^{j+2}) \Rightarrow$$

$Q \in \mathcal{Z}_{j+1}$ mit höchstem Koeff. $\neq 0$

aufzu $G=0$ und damit $Q \equiv 0$

$k \rightsquigarrow k+1$

differenziere $\textcircled{*}$ nach t :

$$P'(t) - (Q'(t) + Q(t))e^t = O(t^{k+j+1})$$

$$\Rightarrow P' \equiv 0 \Rightarrow P = G \xrightarrow{!} Q \equiv 0, P \equiv 0$$

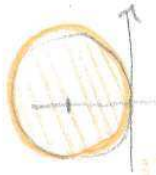
Ind. Ann.

Zum AWP $\dot{x} = Ax$, $x(0) = x_0$ definiere

Stabilitätsbereich: $S = \{z \in \mathbb{C} \mid |R(z)| \leq 1\}$

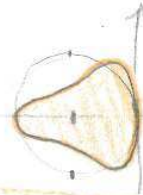
d.h. falls $\tau z \in S \quad \forall z \in \mathcal{Z}(A)$, dann ist die
diskrete Evolution stabil ($R(\tau A) = BR(\tau z)B^{-1}$)

Bsp



$$S = \overline{B_1}(-1)$$

expl. Euler



Crank-Nicolson

(29)

1.35 Lemma

Die Stabilitätsbereich von polynomialen diskreten Flüssen (explizite Verfahren) ist kompakt.

Bew $P(t) \rightarrow \infty \quad \Rightarrow \quad S = \left\{ t \mid |P(t)| < 1 \right\}$ ist kompakt. \square

Für nichtlineare AWP's $\dot{x} = F(x)$ mit Fixpkt x^* ($F(x^*) = 0$)

$$x(0) = x_0$$

mittels Linearisierung

suchen wir numerische Verfahren basierend auf rationalen Flt'n $R(\cdot)$ für die $R(\tau DF(x^*))$ stabil ist

$$\Leftrightarrow \boxed{\tau \cdot \delta(DF(x^*)) \subset S}$$

1.36 Def (implizite R-K-Vorfahren)

Das Schema

$$k_i = F(t + c_i \tau, x + \tau \sum_{j=1}^s a_{ij} b_j) \quad \forall i=1, \dots, s$$

$$\hat{\oplus}_{t+\tau, t} x = x + \tau \sum_{i=1}^s b_i k_i$$

mit einem $a_{ij} \neq 0$ für $j > i$ heißt impliziter Runge-Kutta-Vorfahren.

c_1	$a_{11} — a_{1s}$
c_s	$a_{s1} — a_{ss}$
	$b_1 — b_s$

→ [nichtlineare gl. System mit d.s Unbek. $(k_i)_{i=1, \dots, s}$]

1.37. Satz (Lösbarkeit)

Sei F Lipschitz stetig, dann gibt es für kleine Zeitschritte eine eindeutige Lösung des gl.-Systems zu einem impl. R-K. Verf.

Bew: $g_i(\tilde{t}) = F(t + \zeta_i \tau, x + \sum_{j=1}^s a_{ij} \tilde{k}_j)$ für $\tilde{t} = (\tilde{t}_1, \dots, \tilde{t}_s)$

Fixpkt-Aufgabe: $\tilde{t} = g(\tilde{t})$ mit $g = (g_i)_{i=1, \dots, s}$
 \downarrow Lipschitz in x
 R-K. Verf. $\|g(\tilde{t}) - g(\tilde{t}')\| \leq O(\tau) \|\tilde{t} - \tilde{t}'\|$

\Rightarrow

Beh

Banachsches Fixpkt-Sat

□

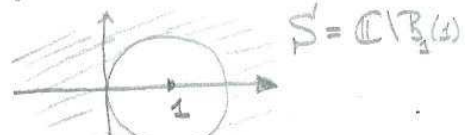
1.38 Bsp.

1	1
	1

Rückwärts-Eulerverfahren (1. Ord.)

$$x_{i+1} = x_i + \tau F(t_i + \tau, x_{i+1})$$

$$R(t) = \frac{1}{1-t}$$



•	$\frac{1}{2}$	$\frac{1}{2}$
		1

Crank-Nicolson-Verfahren (2. Ord.)

$$x_{i+1} = x_i + \tau F(t_i + \frac{\tau}{2}, \frac{x_i + x_{i+1}}{2})$$

hierzu: $\tilde{k}_1 = F(t_i + \frac{\tau}{2}, x + \frac{\tau}{2} \tilde{k}_1)$
 $x_{i+1} = x_i + \tau \tilde{k}_1 \Rightarrow \tau \tilde{k}_1 = x_{i+1} - x_i$

$$F(t, x) = x \Rightarrow (1 - \frac{\tau}{2}) x_{i+1} = (1 + \frac{\tau}{2}) x_i$$

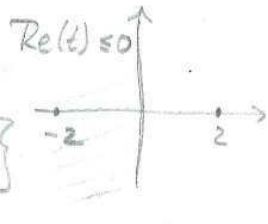
$$\Rightarrow R(t) = \frac{1 + \frac{t}{2}}{1 - \frac{t}{2}}$$

Stabilitätsbereich:

$$S = \{t \mid |R(t)| \leq 1\}$$

$$= \left\{ t \mid \left| 1 + \frac{t}{2} \right| \leq \left| 1 - \frac{t}{2} \right| \right\}$$

$$\Leftrightarrow |2+t| \leq |2-t|$$



Für die Wärmeleitung mit Differenzenquotientendiscretisierung ($\partial_t u \rightarrow \Delta u = 0$):

$$(1 + \frac{\tau}{2} L_e) \bar{u}_e^{i+1} = (1 - \frac{\tau}{2} L_e) \bar{u}_e^i$$

- implizite Trapezregel

0	0	0
1	$\frac{1}{2}$	$\frac{1}{2}$
	$\frac{1}{2}$	$\frac{1}{2}$

$$\hat{b}_1 = F(t_i, x_i)$$

$$\hat{b}_2 = F(t_i + \tau, x_i + \frac{\tau}{2} \hat{b}_1 + \frac{\tau}{2} \hat{b}_2)$$

$$x_{i+1} = x_i + \frac{\tau}{2} \hat{b}_1 + \frac{\tau}{2} \hat{b}_2$$

$$F(t, x) = x$$

$$\hat{b}_1 = x_i \quad \hat{b}_2 = (1 + \frac{\tau}{2}) x_i + \frac{\tau}{2} \hat{b}_2$$

$$\Rightarrow \hat{b}_2 = (1 - \frac{\tau}{2})^{-1} (1 + \frac{\tau}{2}) x_i$$

$$\Rightarrow x_{i+1} = (1 + \frac{\tau}{2}) x_i + \frac{\tau}{2} (1 - \frac{\tau}{2})^{-1} (1 + \frac{\tau}{2}) x_i$$

$$\Rightarrow (1 - \frac{\tau}{2}) x_{i+1} = ((1 - \frac{\tau}{2})(1 + \frac{\tau}{2}) + \frac{\tau}{2} (1 + \frac{\tau}{2})) x_i$$

$$= (1 + \frac{\tau}{2}) x_i \quad \Rightarrow \text{C.-N., -Vgl.}$$

1.39 Lemma Ein s-stufig, impl. Runge-Kutta-Vorabin ist höchstens konsistent von der Ordnung 2s.

Bew

$$R(t) = \frac{P(t)}{Q(t)} \quad \text{und} \quad \deg P, \deg Q \leq s$$

$$1.33. \Rightarrow \text{Konsistenz-Ordnung } p \leq s + s = 2s \quad \begin{cases} \text{s-fache Schrittzeit} \\ \text{van } F\text{-Auswerten} \end{cases} \quad \square$$

Bem

Lösung des nichtlinearen gl. systems

$$h_i(\hat{x}) = \hat{x}_i - F(t_i + c_i \tau, x_i + \tau \sum_{j=1}^s a_{ij} \hat{x}_j), \quad (i = 1, \dots, s)$$

mit Newton-Vorabin

$$A = (a_{ij})_{i,j=1,-s} \quad h = (h_i)_{i=1,-s} \quad k = (k_j)_{j=1,-s} \subset \mathbb{R}^d$$

$$Dh = \delta_{ij} \delta_{ee} - \tau A_{ij} (DF)_{ee}(-) \quad F: \mathbb{R} \times \mathbb{R}^d \rightarrow \mathbb{R}^d$$

$$h: (\mathbb{R}^d)^s \rightarrow (\mathbb{R}^d)^s$$

einfacher Fall $d=1$ $h: \mathbb{R}^s \rightarrow \mathbb{R}^s$ mit

$$Dh = 1 - \tau A F_x(-)$$

unefaktorisches Newton-Verfahren: esetze $F_x(t_i + c_i \tau, x_i + \tau A k)$

$$\text{d.h. } F_x(t_i, x_i) = : \square$$

$$(1 - \tau A)(k^{n+1} - k^n) = -h(k^n) \quad \text{mit } k^0 = 0$$

- wenige F_x -Auswertungen

- nur 1. Ordnung konvergent (o.K. für kleiner τ)

nennt sich Kollokations-Verfahren:

Ausak Konstruiere Polynom $p \in \mathcal{P}_s^d$ mit

$$(i) \quad p(t) = x$$

$$(ii) \quad p'(t + c_i \tau) = f(t + c_i \tau, p(t + c_i \tau)) \quad \text{für } i=1,-s$$

löst Dgl.
in $(t + c_i \tau)$
 $i=1,-s$

$$\text{Zitsatz: } \hat{\Phi}_{t+\tau, t} x = p(t+\tau)$$

Interpretation als Runge-Kutta-Verfahren (hier: $d=1, d>1$ analog)

$\{L_1, \dots, L_s\}$ Lagrange-Basis aus \mathcal{P}_{s-1} bzgl. der
Stützstellen c_1, \dots, c_s .

$$\Rightarrow L_i(t) = \prod_{j \neq i} \frac{t - c_j}{c_j - c_i} \quad (L_i(c_j) = \delta_{ij})$$

(33)

Abkürzung: $\ell_j := p'(t + c_j \tau) \Rightarrow$

$$p'(t + \theta \tau) = \sum_{j=1}^s \ell_j L_j(\theta)$$

$$p(t + c_i \tau) = x + \tau \int_0^{c_i} p'(t + s\tau) ds$$

$$\begin{aligned} &= x + \tau \sum_{j=1}^s \ell_j \boxed{\int_0^{c_i} L_j(s) ds} \ell_j \\ &\quad =: a_{ij} \end{aligned}$$

Damit ergibt sich

$$\ell_i = p'(t + c_i \tau) \stackrel{(ii)}{=} f(t + c_i \tau, p(t + c_i \tau))$$

$$= f(t + c_i \tau, x + \tau \sum_{j=1}^s a_{ij} \ell_j)$$

$$\begin{aligned} \hat{f}_{t+\tau, t} x &= p(t + \tau) = x + \int_0^1 p'(t + \theta \tau) d\theta \\ &= x + \tau \sum_{j=1}^s b_j \ell_j \end{aligned}$$

mit $b_j := \int_0^1 L_j(s) ds$

R-K(s)

1.40. Bem: • $a_{ij} = a_{ij}(c)$, $b_j = b_j(c)$ $c = (c_i)_{i=1-s}$

• Falls $(R-K)(s)$ losbar \Rightarrow

$$p(t + \theta \tau) = x + \tau \sum_{j=1}^s \ell_j \boxed{\int_0^\theta L_j(s) ds}$$

ist das Kollokationspolynom.

Das Gauß-Verfahren:

$$\int_0^s \varphi(t) dt \approx \sum_{i=1}^s b_i \varphi(c_i) \quad \text{mit} \quad \text{Grad } 2s-1 \text{ (maximal)}$$

$\Leftrightarrow (c_j)_{j=s,-s}$ die Nullstellen des
AlhAIII s'ten orthogonalen Polynoms.

$$\left(\int_0^s p_s p_r dr = 0 \quad \forall r \neq s \right)$$

$$S=1 \quad \begin{array}{|c|c|} \hline \frac{1}{2} & \frac{1}{2} \\ \hline \end{array} \quad \begin{array}{|c|c|} \hline \end{array}$$

$$\left\{ \begin{array}{l} S.u. \\ p=2 \end{array} \right.$$

$$S=2 \quad \begin{array}{|c|c|c|c|} \hline \frac{1}{2} - \frac{\sqrt{3}}{6} & & \frac{1}{4} & \cdot \frac{1}{4} - \frac{\sqrt{3}}{6} \\ \hline \frac{1}{2} + \frac{\sqrt{3}}{6} & \frac{1}{4} + \frac{\sqrt{3}}{6} & & \frac{1}{4} \\ \hline & & \frac{1}{2} & \frac{1}{2} \\ \hline \end{array}$$

1.41 Satz Ein dwd Kollokation erzeugt R-K-Verf.
besitzt die Konsistenz-Ordnung p für reelle

Stützen $F \in CP$ genau dann, wenn
die Ausgleichsformel $\varphi \rightarrow \sum_{i=1}^s b_i \varphi(c_i)$ für Funktionen
 $\varphi \in CP$ die Ordnung p besitzt.

Insbesondere ist das Gauß-Verfahren
konkurrenz von der Ordnung $2s$ (exakt von Grad $2s-1$)

(ohne Beweis)

\Rightarrow Integrationsfehler \mathcal{T}^{2s}

(1.41) + (1.33)

Maximale Konsistenzordnung
wird angenommen!

2. Interpolation und Approximation im \mathbb{R}^d

zunächst betrachten wir den Fall $d=1$ (vgl. ALMA III):

2.1. Lagrange-Interpolation: $f \in C^0$ gegeben, $p \in \mathcal{P}_n$ gesucht mit
 $p(t_i) = f(t_i) \quad i=0, \dots, n$

Existenz einer eindeut. Interpolante:

$$L_i(t) = \prod_{\substack{j=0 \\ j \neq i}}^n \frac{t - t_j}{t_i - t_j} \quad \text{Lagrange-Basis} \quad L_i(t_i) = S_{ii}$$

$$\{L_i\}_{i=0, \dots, n} \text{ linear unabh.}, \quad p(t) = \sum_{i=0}^n f(t_i) L_i(t) \Rightarrow \\ p(t_i) = f(t_i) \Rightarrow \text{Existenz}$$

p, \tilde{p} Interpolanten $\Rightarrow (p - \tilde{p})$ hat $n+1$ Nullstellen t_0, \dots, t_n
 $\Rightarrow p - \tilde{p} = 0 \Rightarrow$ Eindeutigkeit.

2.2. Hermite-Interpolation:

Knotenmenge: $a = t_0 \leq t_1 \leq \dots \leq t_{n-1} \leq t_n = b$

$$d_i = \max \{j \mid t_i = t_{i+j}\}$$

Funktionsgrade: $\mu_i : C^{d_i}([a, b]) \rightarrow \mathbb{R} \quad \mu_i(f) = f^{(d_i)}(t_i)$

Hermite-Interpolation: $f \in C^{\max(d_i)}([a, b])$ mit $d = \max_i d_i$,

$p \in \mathcal{P}_n$ gesucht mit $\mu_i(p) = \mu_i(f) \quad i=0, \dots, n$

Existenz einer eindeut. Interpolante:

$$\mu : \mathcal{P}_n \rightarrow \mathbb{R}^{n+1} \quad p \mapsto (\mu_0(p), \dots, \mu_n(p)) \quad \text{lin. Abb.}$$

$$\dim \mathcal{P}_n = n+1 = \dim \mathbb{R}^{n+1} \Rightarrow \text{z.z. Injektivität}$$

$\mu(p) = 0 \Rightarrow p$ hat einschließlich mehrfache Nullstellen
 $(n+1)$ Nullstellen $\Rightarrow p = 0$

Bem. $d_i = 0 \quad \forall i=0, \dots, n \Rightarrow$ Lagrange-Interpolation

- Homot-Basis $\{H_i\}_{i=0, \dots, n}$ mit $\mu_i(H_j) = \delta_{ij}$
- Notation $p(t) = (P_{t_0, \dots, t_n} f)(t)$

2.3. Satz (Darstellung) (vgl. Satz 1.18 ALMA II)

$f \in C^{\max}(E_a, b)$, dann gilt

$$(P_{t_0, \dots, t_n} f)(t) = \sum_{i=0}^n (D_{t_0, \dots, t_i} f) w_i(t)$$

mit $w_i(t) = \prod_{j=0}^{i-1} (t - t_j)$ für $i=1, \dots, n$, $w_0(t) \equiv 1$
(Newton-Basis)

$$D_{t_0, \dots, t_i} f := a_i \text{ für } P_{t_0, \dots, t_i} f(t) = a_i t^{i+1} - a_1 t + a_0$$

Es gilt $t_0 = t_1 = \dots = t_n \Rightarrow D_{t_0, \dots, t_j} f = \frac{f^{(j)}(t_0)}{j!}$

$$D_{t_0, \dots, t_n} f = D_{t_0, \overset{\leftarrow}{t_k}, \dots, t_n} f - \frac{D_{t_0, \overset{\leftarrow}{t_k}, \dots, t_n} f}{t_k - t_1}$$

$\overset{\leftarrow}{t_k}$ ausgelassen

(dividierte Differenzen)

Form gilt $f(t) = (P_{t_0, \dots, t_n} f)(t) + (D_{t_0, \dots, t_n} f) w_{n+1}(t)$

einschließt \uparrow

Bew. (i) Darstellung von $P_{t_0, \dots, t_n} f$ (Induktion):

$\boxed{h=0} \quad (\vee)$

$\boxed{n-1 \rightsquigarrow n}$

$$(P_{t_0, \dots, t_n} f)(t) = (D_{t_0, \dots, t_n} f) \underbrace{w_n(t)}_{\text{höchster Koeff. } = 1} + \underbrace{q_{n-1}(t)}_{\epsilon \beta_{n-1}}$$

$$\Rightarrow q_{n-1}(t) = (P_{t_0, \dots, t_n} f)(t) - (D_{t_0, \dots, t_n} f) w_n(t)$$

$\Rightarrow q_{n+1}$ erfüllt die Interpolationsbedingungen

$$\mu_i(q_{n+1}) = \mu_i(f) \text{ für } i=0, \dots, n-1 \Leftrightarrow \boxed{\begin{array}{l} \mu_i(w_n) = 0 \\ \forall i=0, \dots, n \end{array}}$$

$$\Rightarrow q_{n+1}(t) = (P_{t_0, \dots, t_{n+1}} f)(t) = \sum_{i=0}^{n+1} D_{t_0, \dots, t_i} f w_{i+1}(t) \quad (\checkmark)$$

Ind. Annahme

(ii) Restterm-Darstellung:

$$s \mapsto (P_{t_0, \dots, t_n} f)(s) + D_{t_0, \dots, t_n} f w_{n+1}(s) \quad (*)$$

interpoliert bzgl. Knotenmenge t_0, \dots, t_n, t :

$$t \notin \{t_0, \dots, t_n\} \quad (i) \Rightarrow (*) \text{ interpoliert für } s=t \Rightarrow \text{Beh}$$

$$t \in \{t_0, \dots, t_n\} \quad w_{n+1}(t) = 0, (P_{t_0, \dots, t_n} f)(t) = f(t) \Rightarrow \text{Beh}$$

(iii) Darstellung des D_{t_0, \dots, t_j} :

$$t_0 = t_1 = -t_n, (P_{t_0, \dots, t_0} f)(t) = \sum_{k=0}^j \frac{(t-t_0)^k}{k!} f^{(k)}(t_0)$$

(j+1)-Term Taylorentw.
 \Rightarrow höchster Koeff.: $\frac{f^{(j)}}{j!} \rightarrow \text{Beh.}$

$$t_i \neq t_j \quad \text{zu zeigen:} \quad (P_{t_0, \dots, t_n} f)(t) = \underbrace{(P_{t_0, \dots, \hat{t}_i, \dots, t_n} f)(t)}_{t_j - t_i} - \underbrace{(P_{t_0, \dots, \hat{t}_j, \dots, t_n} f)(t)}_{t_j - t_i}$$

$\sim \text{Beh}$

hierzu: Nachweis der Interpolationsbedingungen

$m \notin \{i, j\}$ A, B interpolieren bzgl. Knotenmenge

$$t_0, \dots, t_i, \dots, t_j, \dots, t_n$$

(da mit $f^{(k)}(t_m)$ und $f^{(k+1)}(t_m)$ interpoliert wird)

\Rightarrow Interpolationsbedingung von t_m erfüllt

$\boxed{m=i}$ A(t) erfüllt Interpolationsbedingung $\mu_k(A(t)) = \mu_k(f)$ $\forall k$ $t_k = t_m$, $k \in \mathbb{N}$

$\boxed{m=j}$ B(t) erfüllt $\mu_k(B(t)) = \mu_k(f)$ $t_k = t_m$, $k \in \mathbb{N}$

\Rightarrow Redukte Sicht erfüllt alle Bedingungen

analog

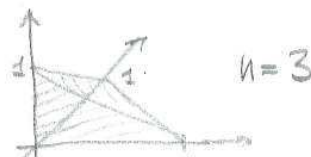
□

Bew: 2.3. \Rightarrow Reduzierschema (Neville-Aitken)

2.4. Satz (Integral-Darstellung der dividierten Differenzen)

$$\rightarrow D_{t_0 - t_n} f = \sum_{i=0}^n f^{(i)} \left(\sum_{i=0}^n s_i t_i \right) ds$$

mit $\Sigma^n = \{ s \in \mathbb{R}^n \mid \sum_{i=1}^n s_i \leq 1 ; s_i \geq 0 \}$, $s_0 = 1 - \sum_{i=1}^n s_i$
(n-Simplex)



$D_{t_0 - t_n} f$ ist Integralmittel von $f^{(n)}$ mit auf $\frac{1}{|\Sigma^n|} = \frac{1}{(n+1)!}$

Bew [Induktion]

$$\boxed{n=0} \quad D_{t_0} f = f(t_0) = \sum_{i=0}^0 f^{(0)}(s t_0) ds \quad \hookrightarrow \text{Zahl...f}$$

$$\boxed{n \rightarrow n+1} \quad \sum_{\Sigma^{n+1}} ds (= |\Sigma^{n+1}|) = \sum_0^1 s_{n+1}^n \sum_{\Sigma^n} ds_{1-n} ds_{n+1} = \frac{1}{n+1} |\Sigma^n| = \frac{1}{(n+1)!} \quad \text{Induktions}$$

$$\boxed{t_0 = -t_{n+1}} \Rightarrow \sum_{\Sigma^{n+1}} f^{(n+1)} \left(\underbrace{\sum_{i=0}^{n+1} s_i t_i}_{t_0} \right) ds = \frac{f^{(n+1)}(t_0)}{(n+1)!} = D_{t_0 - t_n} f \quad \text{Z.3.}$$

$t_0 \neq t_{n+1}$

$$\begin{aligned} \sum_{\Sigma^{n+1}} f^{(n+1)} \left(\sum_{i=0}^{n+1} s_i t_i \right) ds &= \\ &\sum_{\substack{i=1 \\ \sum s_i \leq 1}}^n s_i \underbrace{\sum_0^1 f^{(n+1)} \left(t_0 + \sum_{i=1}^n s_i (t_i - t_0) + s_{n+1} (t_{n+1} - t_0) \right) ds_{n+1} ds_{i-1}}_{\sum_{i=1}^n s_i} \\ &= \frac{1}{t_{n+1} - t_0} \left(f^{(n)}(t_{n+1} + \sum_{i=1}^n s_i (t_i - t_{n+1})) \right. \\ &\quad \left. - f^{(n)}(t_0 + \sum s_i (t_i - t_0)) \right) \end{aligned}$$

$$\begin{aligned}
 &= \frac{1}{t_{n+1} - t_0} \left(\sum_{i=0}^n f^{(n)} \left(\sum_{j=1}^{i+1} s_j t_j \right) ds - \sum_{i=0}^n f^{(n)} \left(\sum_{j=0}^i s_j t_j \right) ds \right) \\
 &\stackrel{\text{Induktionsannahme}}{=} \frac{1}{t_{n+1} - t_0} (D_{t_1 - t_{n+1}} f - D_{t_0 - t_n} f) \\
 &\stackrel{2.3.}{=} D_{t_0 - t_{n+1}} f \quad \square
 \end{aligned}$$

2.5 Folgerung: Sei $f \in C^{d_{\max}}([a, b])$, dann ist

$(t_0, \dots, t_n) \rightarrow D_{t_0 - t_n} f$ stetig und zu $(t_0, \dots, t_n) \in [a, b]^{n+1}$ existiert $\tau \in [a, b]$ mit

$$D_{t_0 - t_n} f = \frac{f^{(n)}(\tau)}{n!}$$

Bew:: Integral-Mittelwertsatz

2.6. Satz (FehlervAbschätzung)

$f \in C^{n+1}([a, b])$, dann gilt mit $h = [a, b]$

$$\|f - P_{t_0 - t_n} f\|_{\infty, [a, b]} \leq \max_{\tau \in [a, b]} \frac{|f^{(n+1)}(\tau)|}{(n+1)!} h^{n+1}$$

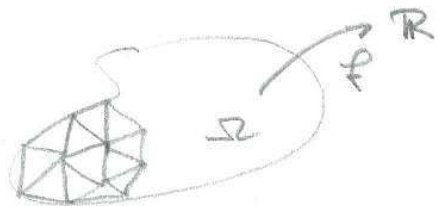
Bew: $\|f - P_{t_0 - t_n} f\|_{\infty} \stackrel{2.3.}{=} \|(\underbrace{D_{t_0 - t_{n+1}} f}_{= \frac{f^{(n+1)}(\tau)}{(n+1)!}}) \underbrace{w_{n+1}(t)}_{\|.\|_{\infty}}\|_{\infty}$

$$= \frac{\|f^{(n+1)}(\tau)\|_{\infty}}{(n+1)!} \leq \|f^{(n+1)}\|_{\infty} \leq h^{n+1}$$

□

Nun betrachten wir die Interpolation auf Simplices:

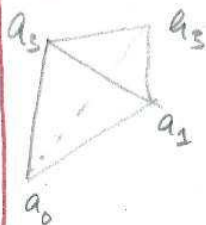
(40)



- Approximation Σ durch Simplex T (Triangulation)
- Interpolation f auf jedem T durch ein Polynom $\mathbb{R}^d \rightarrow \mathbb{R}$

2.7. Def (Simplex im \mathbb{R}^d)

(vgl. WS15/16)



Seien $a_0, \dots, a_d \in \mathbb{R}^d$ gegeben mit
 $(a_1 - a_0), \dots, (a_d - a_0)$ lin. unabh., dann

heißt $T = \{x \in \mathbb{R}^d \mid x = \sum_{i=0}^d \lambda_i a_i, 0 \leq \lambda_i, \sum_{i=0}^d \lambda_i = 1\}$

(nicht degenerierter) Simplex

$\lambda(x) = (\lambda_0(x), \dots, \lambda_d(x))$ ist die Vektoren der Baryzentrischen Koordinaten

\hat{T} mit ($a_0 = 0, a_i = e_i (i=1, \dots, d)$) Einheitssimplex ($= \Sigma^d$)

$F = \{x \in T \mid \lambda_{i_1}, \dots, \lambda_{i_k} = 0\}$ heißt $(d-k)$ -dim. Untersimplex

$h(T) = \max_{i,j} |a_i - a_j|$ Durchmesser von T

$g(T) = 2 \sup \{ r \mid B_r \text{ Kugel}, \overline{B_r} \subset T \}$ Inkugeldurchmesser



Z.8

Lemma

$\lambda: \mathbb{R}^d \rightarrow \mathbb{R}^{d+1}$; $x \mapsto \lambda(x)$ mit
 $\sum_{i=0}^d \lambda_i(x) a_i = x$ und $\sum_{i=0}^d \lambda_i = 1$ ist linear.

Bew

$$x = \lambda_0(x) a_0 + \sum_{j=1}^d \lambda_j(x) a_j$$

$$\Rightarrow x - a_0 = 0 + \sum_{j=1}^d \lambda_j(x) (a_j - a_0)$$

$$a_0 = \sum_{j=0}^d \lambda_j a_0$$

$$\Rightarrow \text{lineares Gl. System} \quad \underbrace{\begin{pmatrix} 1 & 1 \\ a_1 - a_0 & a_d - a_0 \\ \vdots & \vdots \\ 1 & 1 \end{pmatrix}}_{A_T} \begin{pmatrix} \lambda_1 \\ \vdots \\ \lambda_d \end{pmatrix} = \begin{pmatrix} 1 \\ x - a_0 \\ \vdots \\ 1 \end{pmatrix}$$

Z.7 $\Rightarrow A_T$ invertierbar

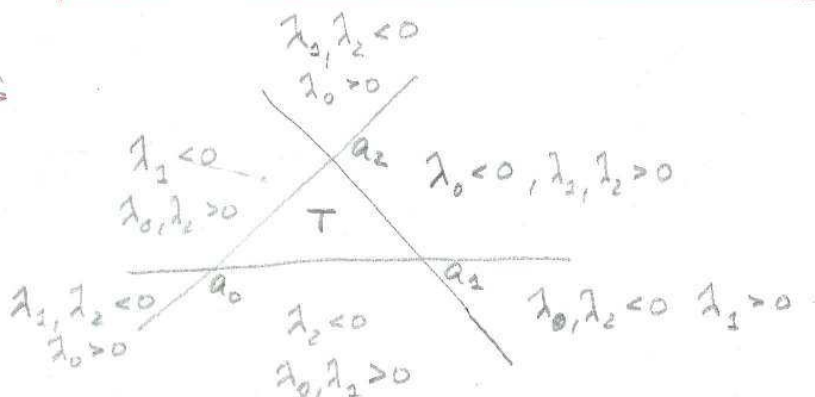
$$\lambda_{1-d} = A_T^{-1} (x - a_0)$$

$$\lambda_0(x) = 1 - \sum_{j=1}^d \lambda_j(x)$$

$$\lambda_0(x) = \begin{pmatrix} 1 \\ 0 \\ \vdots \\ 0 \end{pmatrix} + \left(\frac{-\sum_{i=1}^d (A_T^{-1})_{ii}}{A_T^{-1}} \right) (x - a_0)$$

1-te Zeile von A_T^{-1}

□

Bem

2.9. Sak (Polynome auf Simplices)

Sei \mathcal{P}_k^d die Raum der Polynome von Grad $\leq k$ auf \mathbb{R}^d :

$$\mathcal{P}_k^d = \left\{ p: \mathbb{R}^d \rightarrow \mathbb{R} \mid p = \sum_{|\beta| \leq k} c_\beta x_1^{\beta_1} \cdots x_d^{\beta_d} \right\}$$

mit $\beta = (\beta_1, \dots, \beta_d)$, $|\beta| = \beta_1 + \dots + \beta_d$ (Multiindex)

Form sei $N_k(T) = \left\{ x = \sum_{j=0}^n \lambda_j q_j \mid \lambda_j \in \{0, \frac{1}{k}, \dots, \frac{k-1}{k}\}, \sum_{j=0}^n \lambda_j = 1 \right\}$
 eine (Lagrange-) Knotenmenge, dann

ist $p \in \mathcal{P}_k^d$ eindeutig beschrieben dwd. die Wkt
 auf $N_k(T)$, card $N_k(T) = \dim \mathcal{P}_k^d = \binom{n+k}{k}$,

die Lagrange-Basisfunktionen zu $N_k(T)$ sind gegeben als

$$L_\alpha(\lambda) = \prod_{e=0}^d \prod_{j=0}^{\alpha_e-1} \frac{\lambda_e - \frac{j}{k}}{\alpha_e - \frac{j}{k}}, \quad \alpha = (\alpha_0, \dots, \alpha_d), |\alpha| = k$$

(in baryzentrischen Koordinaten)

Bew (i) dim \mathcal{P}_k^d ? \leftrightarrow Aufgabe: Maximal k Koordinaten x_i aus d verschiedenen auswählen

\leftrightarrow Monomwahl $x_1^{i_1} \cdots x_d^{i_d}$

$$\left[\leftrightarrow \begin{array}{ccccccccc} \blacksquare & \blacksquare \\ \text{k auswählen aus } d+k \end{array} \leftrightarrow x_1^2 x_2^2 x_3^0 x_4^2 \quad (d=4, k=7) \right]$$

$$\Rightarrow \dim \mathcal{P}_k^d = \binom{d+k}{k}$$

card N_k ? \leftrightarrow Aufgabe: maximal $\frac{1}{k^d}$ auf
 $\lambda_1 - \lambda_d$ verteilen ($\lambda_0 = 1 - \sum_{i=1}^d \lambda_i$)

$$\Rightarrow \text{card } N_k = \binom{d+k}{k}$$

(43)

$$(ii) L_\alpha \in \mathcal{B}_k^d \quad (\checkmark)$$

$$(ii_i) \mu: \mathcal{B}_k^d \rightarrow \mathbb{R}^{(d+k)} \quad , \mu(p) = (p(x))_{x \in U_k(T)}$$

μ linear, z.B. μ surjektiv (da Dimensionengleichheit)

$$\Leftrightarrow L_\alpha(\lambda(x_\beta)) = \delta_{\alpha\beta} \quad x_\beta = \sum \frac{\beta_i}{k} a_i$$

$$\delta_{\alpha\beta} = \begin{cases} 1 & ; \alpha = \beta \\ 0 & ; \text{sonst} \end{cases}$$

Klaus: $\boxed{\alpha = \beta} \quad \lambda_e(x_\alpha) = \frac{\alpha_e}{k} \Rightarrow L_\alpha\left(\frac{\alpha}{k}\right) = 1$

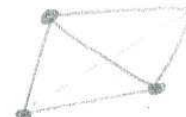
$\boxed{\alpha \neq \beta} \quad \exists i \in \{0, \dots, d\} \quad \beta_i < \alpha_i \quad (\text{da } \sum \beta_i = \sum \alpha_i)$

$$\Rightarrow \exists j \in \{0, \dots, \alpha_i - 1\} \quad j = \beta_i$$

$$\Rightarrow L_\alpha\left(\frac{\beta}{k}\right) = 0 \quad (\checkmark)$$

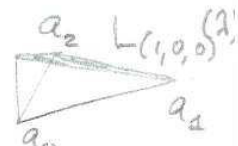
Bsp

$$\boxed{k=1}$$

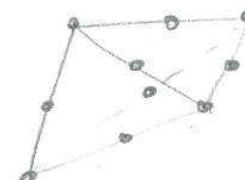


$$U_k(T)$$

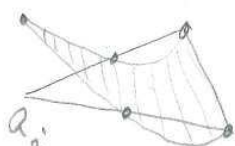
$$L_\alpha(\lambda) = \lambda_i \quad \text{falls } \alpha = e_i ; i = 0, \dots, d$$



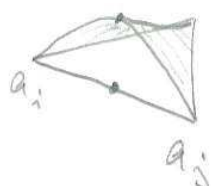
$$\boxed{k=2}$$



$$N_k(T)$$



$$L_{ze_i}(\lambda) = \lambda_i (2\lambda_i - 1)$$



$$L_{e_i + e_j}(\lambda) = 4\lambda_i \lambda_j$$

(44)

Bem $\mathcal{P}_k^d \not\subseteq \mathcal{P}_k \otimes \underbrace{\dots}_{\text{d-faches Tensorprodukt}}$

Bsp: $xy \notin \mathcal{P}_1^2$ aber $xy \in \mathcal{P}_1 \otimes \mathcal{P}_1$

2.10. Einführung (Triangulierung)

$\Omega \subset \mathbb{R}^d$ beschränkt, polygonal beschnitten.

$J = \{T_i \mid i \in I, T_i \text{ nicht deg. Simplex}\}$

heißt zulässige Triangulierung von Ω , falls

$$(i) \quad \bar{\Omega} = \bigcup_{i \in I} T_i \quad (ii) \quad T_i \cap T_j \neq \emptyset \Rightarrow$$

$T_i \cap T_j$ ist $(n-k)$ -dim K-Dreieck
von T_i und T_j ($0 \leq k \leq d$)

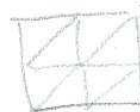
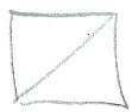
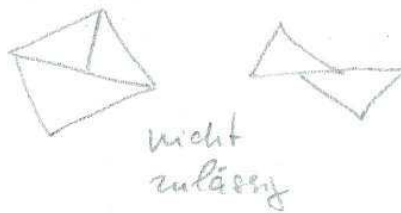
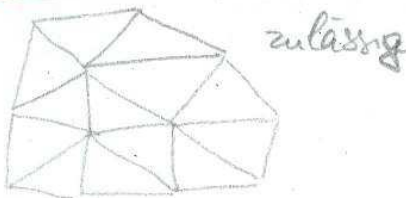
$$h = h(J) = \max_{T \in J} h(T)$$

$$\delta = \delta(J) = \max_{T \in J} \frac{h(T)}{B(T)}$$

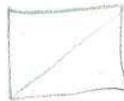
Eine Familie von Triangulierungen $\{J_j\}_{j \in \mathbb{N}}$ heißt regulär, falls

$$\delta(J_j) \leq C \quad \forall j \in \mathbb{N}$$

Bsp



regulär



nicht regulär

(45)

2.11. Lemma (Interpolation auf Triangulationen)

J_e sei zulässige Triangulation auf Gebiet Ω mit Gitterweite h , $f \in C^0(\bar{\Omega})$, $p_{k,T} \in \mathcal{P}_k^d$ Interpolationspolyynom auf T zu Knotensetzung $\mathcal{K}_k(T)$ für $T \in J_e$, dann ist mit $v|_T(x) = p_{k,T}(x)$ eine stückweise polynomiale, stetige Interpolation definiert und wir schreiben $\mathcal{I}_e(f) = v$.

Bew.

Z.B. Stetigkeit: $p_{k,T}, p_{k,T'} \text{ zu } T, T'$ gegeben

$T \cap T' = (\alpha-1) \text{ dim. Unterelemente } E$

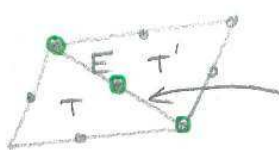
o.B.d.A. $E = \{x \in T \mid I_0^T(x) = 0\} = \{x \in T' \mid I_0^{T'}(x) = 0\}$

$\Rightarrow p_{k,T}|_E, p_{k,T'}|_E \in \mathcal{P}_k$ über $I_1, -I_n$

z.g. mit Knotenwerten auf $\mathcal{K}_k(E)$

$\Rightarrow p_{k,T}|_E = p_{k,T'}|_E \Rightarrow$ Stetigkeit- und Wohldefinitheit von $\mathcal{I}_e(f)$

Bsp:



$v_{2,T}, v_{2,T'}$ quadratische Polynome auf Karte E mit gleichen Werte auf $\mathcal{K}_2(E)$

2.12.

Bem

Wenn man $\mathcal{N}_e = \bigcup_{T \in J} \mathcal{N}_e(T)$

betrachtet und

Funktionen $\varphi_x(\cdot)$ definiert mit

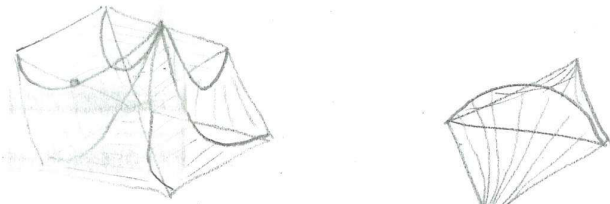
$\varphi_x|_T \in \mathcal{P}_k^d$, $\varphi_x(y) = \begin{cases} 1; & x = y \\ 0; & x \neq y \end{cases}$ für $x, y \in \mathcal{N}_e$

dann erhält man eine Basis des Raums

$V_{k,h} := \{v \in C^0(\bar{\Omega}) \mid v|_T \in \mathcal{P}_k^d \forall T \in J\}$
(Finite-Elemente-Raum)

Bsp

$$d=2, k=2$$

Basisfunktionen in $V_{2,k}$

$$k=1 \text{ H\"utchenbasis}$$

2.13

Satz (Fehlungsabsch\"atzungen in der Maximum-Norm)

Ω polygonal beschränktes Gebiet, $\{\mathcal{T}_h\}$ Familie zulässige, reguläre Dreiecksnetze mit Gitterweite h , $f \in C^{k+1}(\bar{\Omega})$,

$I_h(f)$ Lagrange-Interpolation in $V_{k,h}$, dann gilt

$$\|I_h(f) - f\|_{\infty, \bar{\Omega}} \leq C h^{k+1} \|D^{k+1} f\|_{\infty, \bar{\Omega}} \text{ mit}$$

$$\|g\|_{\infty, \bar{\Omega}} := \max_{x \in \bar{\Omega}} |g(x)|.$$

Bew

(i) Betrachten wir zunächst das Einheitssimplex

$$\hat{\tau} = \left\{ \hat{x} \in \mathbb{R}^d \mid \hat{x} = \sum_{i=1}^d \lambda_i e_i, \lambda_i \geq 0, \sum_{i=1}^d \lambda_i = 1 \right\}$$

$$\hat{f} : \hat{\tau} \rightarrow \mathbb{R} \in C^{k+1}(\hat{\tau})$$

$\hat{I}(\hat{f}) = \hat{p}$ sei die Lagrange-Interpolation von \hat{f} in \mathcal{P}_k^d :

$$\hat{p}(x) = \sum_{\substack{|\alpha|=k \\ x \in \mathbb{N}_0^{d+1}}} L_\alpha(\lambda(x)) \hat{f}(\hat{x}_\alpha)$$

↑ Knoten aus $\mathcal{N}_k(\hat{\tau})$

$$\Rightarrow \|\hat{I}(\hat{f})\|_{\infty, \hat{\tau}} \leq \underbrace{\binom{d+k}{k} \max_{\alpha, \hat{x}} \|L_\alpha(\lambda(\hat{x}))\|_{\infty, \hat{\tau}}}_{(Stabilität)} \|\hat{f}\|_{\infty, \hat{\tau}}$$

$$\leq C(k)$$

(ii) Abschätzung auf \hat{T} :

$$\|\hat{f} - I_{\epsilon}(\hat{f})\|_{\infty, \hat{T}} \leq \inf_{\hat{g} \in \mathcal{P}_{\epsilon}^d} \left(\|\hat{f} - \hat{g}\|_{\infty, \hat{T}} + \|\hat{g} - \hat{I}(\hat{f})\|_{\infty, \hat{T}} \right)$$

$\underbrace{\hat{I}(\hat{g})}_{\stackrel{(i)}{\leq} G(\hat{t})} \|\hat{f} - \hat{g}\|_{\infty, \hat{T}}$

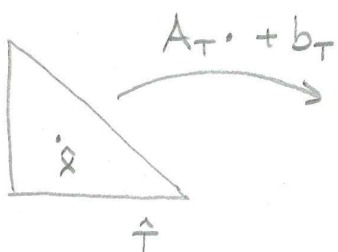
$\boxed{\begin{array}{l} \hat{f}_k \text{ Taylorentwicklungs} \\ \text{do Ordnung } k \text{ von } f \end{array}}$

$\boxed{\begin{array}{l} \text{Fehlerschätzung der} \\ \text{Taylorentwicklung} \end{array}}$

$$\Rightarrow \|\hat{f} - \hat{I}(\hat{f})\|_{\infty, \hat{T}} = G \|D_x^{k+1} \hat{f}\|_{\infty, \hat{T}}$$

(iii) Nun transformieren wir diese Abschätzung auf bel. Simplex:

$T \in J_{\epsilon}$



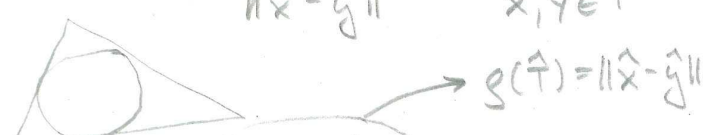
$A_T \in \mathbb{R}^{d,d}$
 $b_T \in \mathbb{R}^d (= a_0)$

$$A_T = \begin{pmatrix} a_2 & & \\ & a_1 & \\ & & a_0 \end{pmatrix} - \begin{pmatrix} a_2 - a_0 & & \\ & a_1 - a_0 & \\ & & 1 \end{pmatrix}$$

Es gilt: $\|A_T\| \leq \frac{g(T)}{g(\hat{T})}$ ①

$\|A_T^{-1}\| \leq \frac{g(\hat{T})}{g(T)}$ ②

Wissen: ① $\frac{\|A_T(\hat{x} - \hat{y})\|}{\|\hat{x} - \hat{y}\|} \leq \frac{\|A_T \hat{x} - A_T \hat{y}\|}{g(\hat{T})} \leq \frac{g(T)}{g(\hat{T})}$



alle Richtungen
aufgegriffen

$$\|A_T\|_{\infty} \leq \frac{g(T)}{g(\hat{T})}$$

② analog (✓)

$$(iv) \|f - I_{\epsilon}(f)\|_{\infty, T} = \|\hat{f} - \underbrace{\hat{I}_{\epsilon}(\hat{f})}_{\hat{f}(\hat{x}) := f(x)}\|_{\infty, T}$$

$$\text{da } \hat{I}_{\epsilon}(\hat{f}) = \hat{I}_{\epsilon}(\hat{f})$$

(Knotenwerte gleich an Hf. Knoten,
 $p \in \mathcal{P}_k^d \Leftrightarrow \hat{p} \in \mathcal{P}_{\hat{k}}^d$)

$$\leq C \|D_x^{k+1} \hat{f}\|_{\infty, T}$$

$$\text{Nun gilt aber: } \hat{f}(\hat{x}) = f(x) = f(A_T \hat{x} + b_T)$$

$$\Rightarrow D_x \hat{f}(\hat{x}) = D_x f A_T$$

$$\Rightarrow D_x^{k+1} \hat{f}(\hat{x})(\hat{w}_1, \dots, \hat{w}_{k+1}) = (D_x^{k+1} f)(A_T \hat{w}_1, \dots, A_T \hat{w}_{k+1})$$

$$\Rightarrow \|D_x^{k+1} \hat{f}(\hat{x})\| \leq C \underbrace{\|A_T\|^{k+1}}_{\leq \frac{h(T)^{k+1}}{g(\hat{T})^{k+1}}} \|D_x^{k+1} f(x)\|$$

$$\Rightarrow \|f - I_{\epsilon}(f)\|_{\infty, T} \leq C h^{k+1} \|D_x^{k+1} f\|_{\infty, T}$$

\Rightarrow Beh. \square

$\max_{T \in \mathcal{J}_{\epsilon}}$

Späteres Ziel: Einsatz für FehlervAbschätzungen
 zu Finitelementen (in adaptiver Form)

zunächst: Bézier - Flächen

Erinnerung (ALMA II):

Bernstein-Polynome: $B_i^n(\lambda) = \binom{n}{i} (1-\lambda)^{n-i} \lambda^i$

Eigenschaften: • $\{B_i^n\}_{i=0, \dots, n}$ nicht negative Teile von 1

$$\left(\sum_{i=0}^n B_i^n(\lambda) = ((1-\lambda)+\lambda)^n = 1 \right)$$

• $\lambda B_{i-1}^n(\lambda) + (1-\lambda)B_i^n(\lambda) = \underbrace{\left(\binom{n}{i-1} + \binom{n}{i} \right)}_{= \binom{n+1}{i}} ((1-\lambda)^{n+1-i} \lambda^i)$

Notation $B_j^n = 0$
falls $j \notin \{0, \dots, n\}$

$$= \binom{n+1}{i} \text{ Pascalsches Dreieck}$$

$$= B_{i+1}^{n+1}(\lambda)$$

• $\{B_i^n\}_{i=0, \dots, n}$ Basis von P_n

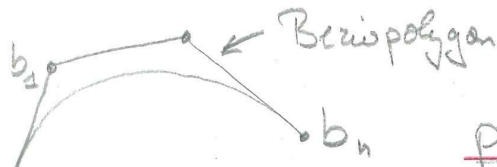
$$\left[\sum_{i=0}^n \alpha_i B_i^n(\lambda) = 0 \Rightarrow 0 = \sum_{i=0}^n \alpha_i \underbrace{B_i^n(\lambda)}_{\substack{i < n \\ = 0}} = \alpha_n \underbrace{B_n^n(\lambda)}_{\neq 0} \Rightarrow \alpha_n = 0 \right]$$

• $(1-\lambda)^{-1}$

$$\rightarrow 0 = \sum_{i=0}^{n-1} \alpha_i \lim_{\lambda \rightarrow 1} \frac{B_i^n(\lambda)}{1-\lambda} = \alpha_0 \alpha_1 \dots \alpha_{n-1} \dots \text{Induktion}$$

$$\Rightarrow \alpha_i = 0 \quad \forall i = 0, \dots, n$$

Bézier-Polyynom: $p(t) = \sum_{i=0}^n b_i B_i^n(t)$



partielle Polynome:

$$b_i^k(\lambda) = \sum_{j=0}^k b_{i+j} B_j^k(\lambda)$$

definiert durch die Bézierpunkte $b_{i+j} - b_{i+k}$

De Casteljau - Schema

$$b_i^k(\lambda) = (1-\lambda) b_i^{k-1}(\lambda) + \lambda b_{i+1}^{k-1}(\lambda)$$

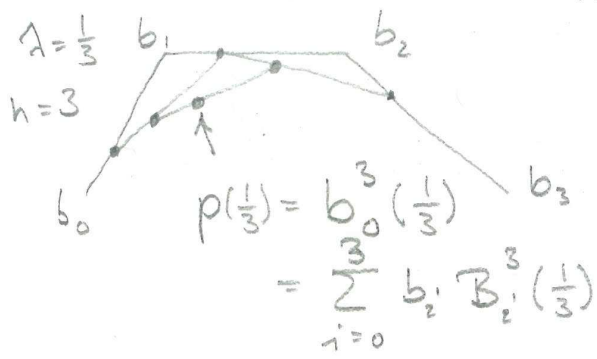
hierzu:

$$\begin{aligned}
 b_i^k(\lambda) &= \sum_{j=0}^k b_{i+j}^j B_j^k(\lambda) \\
 &= \sum_{j=0}^k b_{i+j}^j (\lambda B_{j-1}^{k-1}(\lambda) + (1-\lambda) B_j^{k-1}(\lambda)) \\
 &= \lambda \sum_{\ell=0}^{k-1} b_{i+1+\ell}^{\ell} B_\ell^{k-1}(\lambda) + (1-\lambda) \sum_{j=0}^{k-1} b_{i+j}^j B_j^{k-1}(\lambda)
 \end{aligned}$$

Notation

Notation

$$= \lambda b_{i+1}^{k-1}(\lambda) + (1-\lambda) b_i^{k-1}(\lambda)$$



$b_0 = b_0^0(\lambda) - b_0^1(\lambda)$ $b_1 = b_1^0(\lambda) -$ \vdots	$b_{n-1} = b_{n-1}^0(\lambda) - b_{n-1}^1(\lambda)$ $b_n = b_n^0(\lambda)$	$b_0^{n-1}(\lambda) - b_0^n(\lambda)$ $b_1^{n-1}(\lambda) -$ \vdots $P(\lambda)$
---------------------------------------------------------------------------------	-------------------------------------------------------------------------------	---------------------------------------------------------------------------------------------

nun betrachten wir Bézierspolynome über Simplerzen:

d=1 Beobachtung: $[0,1] \quad \lambda_0 = (1-\lambda) \quad \lambda_1 = \lambda$ baryzentrische Koordinaten

$$B_\alpha^k((\lambda_0, \lambda_1)) = \frac{k!}{\alpha_0! \alpha_1!} \lambda_0^{\alpha_0} \lambda_1^{\alpha_1} = B_{\alpha_1}^k(\lambda)$$

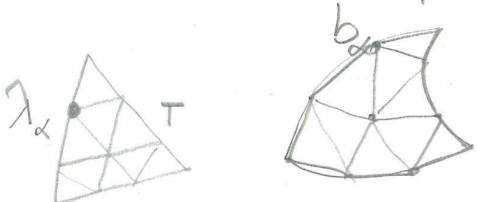
$$\alpha = (\alpha_0, \alpha_1) \in \mathbb{N}_0^2$$

$$|\alpha| = k$$

Bernardi polynom
in 1D

2.14 Def Zu $\{b_\alpha\}_{\alpha \in N_0^{d+1}, |\alpha|=k} \subset \mathbb{R}^n$ (Basispunkte)

zugeordnet zu baryzentrischen Koordinaten $\lambda_\alpha = \frac{\alpha}{k}$ auf einem Referenzsimplex



d-dim. Polygonale Fläche im \mathbb{R}^d
— n — Bézier-Patch im \mathbb{R}^d

Bernsteinpolynom von Grad k über einem d-Simplex:

$$B_\alpha^k(\lambda) := \frac{k!}{\alpha!} \lambda^\alpha \quad (\lambda^\alpha = \lambda_0^{\alpha_0} \cdots \lambda_d^{\alpha_d}, \alpha_0! = \alpha_0! \cdots \alpha_d!)$$

d-dim. Bézierpolynom im \mathbb{R}^d :

$$p(\lambda) = \sum_{|\alpha|=k} b_\alpha B_\alpha^k(\lambda)$$

2.15 Sak (Eigenschaften der Bernsteinpolynome)

(i) $\{B_\alpha^k\}_{|\alpha| \leq k}$ nicht negative Teilung des 1 auf T

$$B_\alpha^k(\lambda) = \sum_{i=0}^d \lambda_i B_{\alpha-e_i}^{k-1}(\lambda)$$

(mit Notation $B_\beta^m = 0$ falls $\beta_m < 0$ für ein $0 \leq m \leq d$)

(iii) $\{B_\alpha^k(\lambda)\}_{|\alpha| \leq k}$ Basis von \mathcal{P}_k^d .

Bew zu (i) nicht negativ auf T (✓)

$$(\lambda_0 + \cdots + \lambda_d)^k \stackrel{\text{def}}{=} \sum \frac{k!}{\alpha!} \lambda^\alpha$$

Aufgabe: Wähle α_0 aus k aus, α_1 aus $k - |\alpha_0|$, α_2 aus $k - |\alpha_1| - |\alpha_0|$, :

$$\frac{k! - (k - \alpha_0 + 1)(k - \alpha_0)}{\alpha_0! \alpha_1!} \cdots \frac{1}{\alpha_d!}$$

$$\text{zu (ii)} \quad \sum_{i=0}^d \lambda_i B_{\alpha-e_i}^{k-1}(\lambda) = \underbrace{\sum_{i=0}^d \frac{(k-1)!}{\alpha!} \underbrace{\lambda^{\alpha-e_i}}_{\lambda^\alpha} \lambda_i}_{\frac{(k-1)!}{\alpha!} \sum_{i=0}^d \lambda_i} = B_\alpha^k(\lambda) = \frac{k!}{\alpha!}$$

$$\text{zu (iii)} \quad \dim \mathcal{P}_k^d = \binom{d+k}{k} = \text{card } I_k$$

d.h. z.B. ist die lineare Unabh., d.h.

$$\sum \gamma_\alpha B_\alpha^k(\lambda) = 0 \Rightarrow \gamma_\alpha = 0 \quad \forall |\alpha| = k$$

[Induktion über d und k]

$\boxed{d=1}$ (1D-Fall: siehe oben) $\boxed{k=1}$ lineare FE (✓)

1. Schritt

$$(d-1, k) \wedge (d, k-d+1) \rightsquigarrow (d, k)$$

Betrachte $\{\lambda \mid \lambda_i = 0\}$ ($d-1$) dim. Untosimplex, dort

$$\text{ist } \sum_{|\alpha|=k} \gamma_\alpha B_\alpha^k(\lambda) = \sum_{\substack{|\alpha|=k \\ \alpha_i=0}} \gamma_\alpha B_\alpha^k(\lambda) = 0$$

Ind. Ann.

$$\Rightarrow \gamma_\alpha = 0 \quad \forall |\alpha|=k \\ \alpha_i = 0$$

2. Schritt

$$\text{Kern: } 0 = \sum_{|\alpha|=k} \gamma_\alpha B_\alpha^k(\lambda) = \sum_{\substack{|\alpha|=k \\ \alpha_i > 0 \forall i}} \gamma_\alpha B_\alpha^k(\lambda)$$

leere Summe, falls
 $k < d$ (falsch)

$$= \lambda_0 \cdot -\lambda_d \sum_{\substack{|\alpha|=k \\ \alpha_i > 0 \forall i}} \gamma_\alpha \frac{B_\alpha^k(\lambda)}{\lambda_0 \cdots \lambda_d}$$

$B_\alpha^k(\lambda)$ enthält
 $\lambda_0 \cdots \lambda_d$

$$= c_\alpha B_{\alpha-(1,-1)}^{k-(d+1)}(\lambda)$$

$$\Rightarrow \lambda_0 \cdots \lambda_d > 0 \text{ int.} \quad 0 = \sum_{\substack{|\alpha|=k \\ \alpha_i > 0}} c_\alpha \gamma_\alpha B_{\alpha-(1,-1)}^{k-(d+1)}(\lambda) \Rightarrow \gamma_\alpha = 0 \quad \text{2nd. Ann.} \quad \square$$

2.16 Satz (De Casteljau-Schema)

Seien $b_\beta^T(\lambda) = \sum_{|\alpha|=r} b_{\beta \oplus \alpha} B_\alpha^T(\lambda)$ (partielle Polynome)

mit $\beta \oplus \alpha = (\beta_0 - \sum_{i=1}^d \alpha_i, \beta_1 + \alpha_1, \dots, \beta_d + \alpha_d)$

und $b_\beta = 0$ für $\beta \neq 0$, dann gilt:

$$b_\beta^T(\lambda) = \sum_{i=0}^d \lambda_i b_{\beta \oplus e_i}^{T-1}(\lambda), \quad b_\beta^0 = b_\beta \text{ und}$$

$$p(\lambda) = b_{(k,0-\alpha)}^k(\lambda)$$

Bew $b_\beta^T(\lambda) \stackrel{(2.15(ii))}{=} \sum_{|\alpha|=r} b_{\beta \oplus \alpha} \left(\sum_{i=0}^d \lambda_i B_{\alpha - e_i}^{T-1}(\lambda) \right)$

$$\stackrel{\substack{\uparrow \\ \tilde{\alpha} = \alpha - e_i}}{=} \sum_{i=0}^d \lambda_i \sum_{|\tilde{\alpha}|=T-1} b_{\underbrace{\beta \oplus (\tilde{\alpha} + e_i)}_{=(\beta \oplus e_i) \oplus \tilde{\alpha}}} B_{\tilde{\alpha}}^{T-1}(\lambda)$$

(mit Notation: $B_\alpha^{T-1} = 0$ falls $\exists i: g_i < 0$)

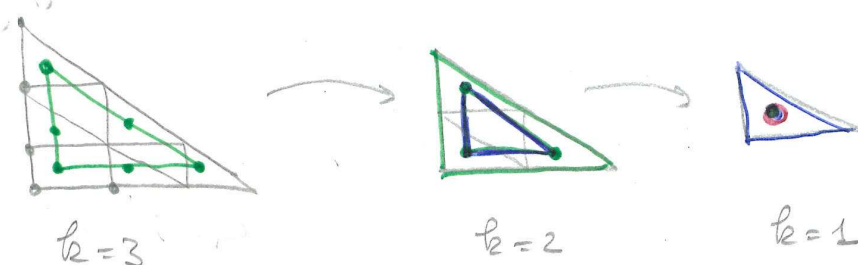
$$= \sum_{i=0}^d \lambda_i b_{\beta \oplus e_i}^{T-1}(\lambda)$$

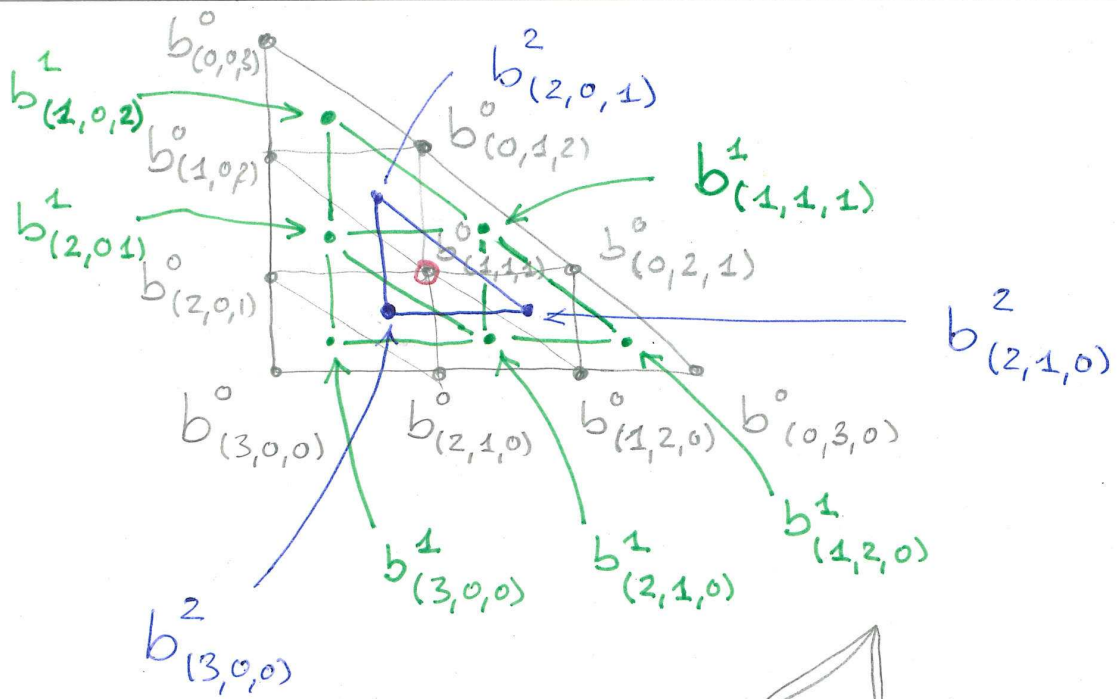
now: $(k,0-\alpha) \oplus \alpha = \alpha \Rightarrow$

$$p = b_{(k,0-\alpha)}^k(\lambda)$$

□

Bsp $d=2, n=3, k=3$ (kubische Bezié-Patch)





$$\lambda = \left(\frac{1}{3}, \frac{1}{3}, \frac{1}{3}\right)$$

$b_{(3,0,0)}^0 \quad \left(\frac{1}{3}, \frac{1}{3}, \frac{1}{3}\right)$

$p\left(\frac{1}{3}, \frac{1}{3}, \frac{1}{3}\right)$

3. Die Methode der Finiten Elemente

Literatur:

Ciarlet The Finite Element Method for Elliptic Problems '80

Braess Finite Elemente '92

Brenner Scott The Mathematical Theory of Finite Element Methods '02

zunächst betrachten wir die analytischen und funktionalanalytischen Grundlagen:

Voraussetzung:

- Lebesgue-Maß im \mathbb{R}^d
- Lebesgue-integrierbare Funktionen

3.1. Eigenschaften von L^p -Funktionen (ohne Beweise)

$\Omega \subset \mathbb{R}^d$ offen

$$L^p(\Omega) = \{ u: \Omega \rightarrow \mathbb{R} \mid u \text{ messbar}, \|u\|_p < \infty \}$$

$$\|u\|_p := \left(\int_{\Omega} |u|^p dx \right)^{\frac{1}{p}} \quad \|u\|_{\infty} := \operatorname{esssup}_{x \in \Omega} |u(x)| \\ = \inf_{N \in \mathbb{Z}} \sup_{x \in \Omega \setminus N} |u(x)|$$

$$(u, v)_2 := \int_{\Omega} uv dx$$

(Skalarprodukt auf $L^2(\Omega)$)

$$\text{Höldersche Ungleichung: } \|fg\|_1 \leq \|f\|_p \|g\|_p, \quad \frac{1}{p} + \frac{1}{p'} = 1, 1 \leq p \leq \infty$$

$$\|f+g\|_p \leq \|f\|_p + \|g\|_p$$

3.2 Klassische Funktionenräume

$$C^m(\bar{\Omega}) = \{ f: \bar{\Omega} \rightarrow \mathbb{R} \mid f \text{ m-mal stetig differenzierbar}$$

mit stetig fassbaren Ableitungen auf $\bar{\Omega}$

$$\|f\|_{C^m(\bar{\Omega})} = \sum_{|\beta| \leq m} \|\partial^{\beta} f\|_{\infty}$$

(56)

$$hö_\alpha(f) = \sup_{x,y \in \bar{\Omega}} \frac{|f(x) - f(y)|}{|x-y|^\alpha} \quad (\alpha=1 \text{ Lipschitz})$$

$$C^{m,\alpha}(\bar{\Omega}) = \{ f \in C^m(\bar{\Omega}) \mid hö_\alpha(\partial^\beta f) < \infty \quad \forall |\beta|=m \}$$

$$\|f\|_{C^{m,\alpha}} = \|f\|_{C^m} + \sum_{|\beta|=m} hö_\alpha(\partial^\beta f)$$

Ziel (vgl. Wintzenreiter): Ablitungen in schwächerem Sinn

Betrachten wir die Regel der partiellen Integration:

$$\int_{\Omega} \partial_i u \varphi dx = - \int_{\Omega} u \partial_i \varphi dx + \int_{\partial\Omega} u \varphi n_i da$$

[Satz von Gauß für $\nabla = u \varphi e_i$: $\int_{\Omega} du \varphi dx = \int_{\Omega} \partial_i u \varphi + u \partial_i \varphi dx$]
 $\int_{\partial\Omega} u \cdot n da = \int_{\partial\Omega} u \varphi n_i da$]

Thören wir dies für $u \in C^m(\bar{\Omega})$ und $\varphi \in C_0^\infty(\Omega)$:

$$\int_{\Omega} \partial^\beta u \varphi dx = (-1)^{|\beta|} \int_{\Omega} u \partial^\beta \varphi dx \quad (|\beta| = \beta_1 + \beta_2 + \dots + \beta_d)$$

3.3. Def (schwache Ableitung)

$\Omega \subset \mathbb{R}^d$ offen, $u \in L^p(\Omega)$ besitzt schwache Ableitungen

$u^{(\beta)} \in L^p(\Omega)$, falls $\int_{\Omega} u \partial^\beta \varphi dx = (-1)^{|\beta|} \int_{\Omega} u^{(\beta)} \varphi dx \quad \forall \varphi \in C_0^\infty(\Omega)$

(für $u^{(\beta)}$ schreiben wir auch $\partial^\beta u$)

Bem schwache Ableitungen sind eindeutig:

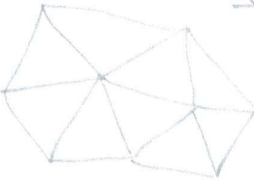
$$u^{(\beta)}, \tilde{u}^{(\beta)} \text{ schw. Abl.} \Rightarrow \int_{\Omega} (u^{(\beta)} - \tilde{u}^{(\beta)}) \varphi dx = 0 \quad \forall \varphi \in C_0^\infty(\Omega)$$

$$\Rightarrow u^{(\beta)} = \tilde{u}^{(\beta)} \text{ f. } \tilde{u}, \text{ in } \Omega.$$

3.4. Bsp (i) $f: x \mapsto |x|$ auf $[-1, 1]$:

$$\begin{aligned}
 \int_{-1}^1 |x| \varphi' dx &= \int_{-1}^0 -x \varphi' dx + \int_0^1 x \varphi' dx \\
 &= \underbrace{\int_{-1}^0 1 \varphi' dx}_{\text{pol. Int.}} + \underbrace{|x| \varphi(x) \Big|_{x=0}}_{=0} + \underbrace{\int_0^1 -1 \varphi' dx - |x| \varphi(x) \Big|_{x=0}}_{=0} \\
 &= - \int_{-1}^1 \operatorname{sgn}(x) \varphi(x) dx \quad \Rightarrow \boxed{\varphi' = \operatorname{sgn}}
 \end{aligned}$$

(ii) $u_e \in V_{k,h}$ (Lagrange Finite Elemente) haben schwache Abl.

$$\begin{aligned}
 \int_{\Omega} u_e \partial^i \varphi dx &= \sum_{T \in J_h} \int_T u_e \partial^i \varphi dx = \sum_{T \in J_h} \left(- \int_T \partial^i u_e \varphi dx \right. \\
 &\quad \left. + \int_{\partial T} u_e \varphi n_i dx \right) \\
 &= - \int_{\Omega} \partial^i u_e \varphi dx + \sum_{\substack{T \cap \tilde{T} \\ T \neq \tilde{T}}} \frac{1}{2} \int_{T \cap \tilde{T}} u_e \varphi (n_i - n_{\tilde{i}}) dx \\
 &\quad \underbrace{\text{Untersimplx}}_{T \cap \tilde{T} \text{ (d-1) dim}} = 0 \\
 &= - \int_{\Omega} \partial^i u_e \varphi dx
 \end{aligned}$$


D.h. $\partial^i u_e$ (st.w. nur im Zentrum von Simplices definiert)
ist die schwache Ableitung von u_e

(iii) $x \mapsto u(x) = |x|^{\beta}$ ist in $L^p(B_1)$ $\Leftrightarrow \beta > -\frac{d}{p}$, denn

$$\int_{B_1} |x|^{\beta p} dx = |\partial B_1| \int_0^1 r^{\beta p + (d-1)} dr = r^{\beta p + d} \Big|_0^1 < \infty \quad \Leftrightarrow \beta p + d > 0$$

Kandidat für die schwache Ableitung:

$$\partial_i u(x) = \delta |x|^{3-2} x_i \in L^p \Leftrightarrow \delta > 1 - \frac{d}{p}$$

z.B. $\int_{B_1} \partial_i u \varphi dx \stackrel{!}{=} - \int_{B_1} u \partial_i \varphi dx \quad \forall \varphi \in C_0^\infty(B_1)$

hierzu: $\int_{B_1} |x|^3 \partial_i \varphi dx = \int_{B_1} |x|^3 \partial_i \varphi dx - \int_{B_1 \setminus B_\epsilon} |x|^3 \partial_i \varphi dx$

$$1. \quad \int_{B_1 \setminus B_\epsilon} |x|^3 \partial_i \varphi dx \stackrel{\epsilon \rightarrow 0}{\rightarrow} 0$$

$$2. \quad \int_{B_\epsilon} |x|^3 \partial_i \varphi dx \stackrel{\epsilon \rightarrow 0}{\rightarrow} 0 \quad \boxed{\delta > -d} \quad (\text{v})$$

$$\text{part. 1.} \quad \int_{B_1 \setminus B_\epsilon} \delta |x|^{3-2} x_i \varphi dx$$

$$1. \quad \int_{B_1 \setminus B_\epsilon} \delta |x|^{3-2} x_i \varphi dx \stackrel{\epsilon \rightarrow 0}{\rightarrow} 0$$

$$\int_{B_1} \delta |x|^{3-2} x_i \varphi dx$$

$$2. \quad \int_{B_\epsilon} \delta |x|^{3-2} x_i \varphi dx \stackrel{\epsilon \rightarrow 0}{\rightarrow} 0 \quad \boxed{\delta > 1-d} \quad (\text{v})$$

$$1. \quad \int_{B_\epsilon} \delta |x|^{3-2} x_i \varphi dx \stackrel{\epsilon \rightarrow 0}{\rightarrow} 0$$

$$2. \quad \int_{B_1} \delta |x|^{3-2} x_i \varphi dx \stackrel{\epsilon \rightarrow 0}{\rightarrow} 0 \quad \boxed{\delta > 1-d} \quad (\text{v})$$

\Rightarrow Beh. \square

3.5. Def (Sobolev-Raum)

$\Omega \subset \mathbb{R}^d$ offn., $1 \leq p \leq \infty$, $m \in \mathbb{N}$, dann ist

$H^{m,p}(\Omega) := \left\{ u \in L^p(\Omega) \mid u \text{ besitzt schwache Abl. } u^{(B)} \in L^p(\Omega) \text{ f. w. } 0 \leq |\beta| \leq m \right\}$

$\|u\|_{H^{m,p}(\Omega)} := \left(\sum_{|\beta| \leq m} \|u^{(\beta)}\|_p^p \right)^{\frac{1}{p}}$

Skalarprodukt auf $H^{m,2}(\Omega)$:

$$(u, v)_{m,2} := \sum_{|\beta| \leq m} \int_{\Omega} u^{(\beta)} v^{(\beta)} dx$$

Bem

$H^{m,p}$ ist Banachraum (insbesondere abgeschlossen)

$$H^{m,p}(\Omega) = \overline{C^\infty(\Omega) \cap H^{m,p}(\Omega)}^{H, H}_{H^{m,p}(\Omega)}$$

3.6 Def

$$(H^{m,p}_0)$$

$$H^{m,p}_0(\Omega) = \overline{C_0^\infty(\Omega) \cap H^{m,p}(\Omega)}^{H, H}_{H^{m,p}(\Omega)}$$

Bem

- $\mathcal{D}_{k,p} \subset H^{m,p}(\Omega)$

- $x \mapsto |x|^\beta \in H^{1,p}(\mathbb{B}_1) \Leftrightarrow \beta > 1 - \frac{d}{p}$

($1 - \frac{d}{p}$ nennt man Sobolev-Zahl zu $H^{1,p}$)

Foto: Man kann Sobolev-Funktionen durch glatte Funktionen in der Sobolev-Raum approximieren
(im innern von Ω :

$$u_\epsilon(x) = (\varphi_\epsilon * u)(x) = \int_{\Omega} \varphi_\epsilon(x-y) u(y) dy$$

mit $\varphi_\epsilon \geq 0$, $\text{supp } \varphi_\epsilon = \mathbb{B}_\epsilon$ (Falsch)

$$\int_{\mathbb{B}_\epsilon} \varphi_\epsilon(x) dx = 1$$

$$\mathbb{B}_\epsilon$$

Z.B. $\varphi_\epsilon(x) = \frac{1}{\epsilon^d} \varphi\left(\frac{x}{\epsilon}\right)$ mit

$$\varphi(y) = \frac{\tilde{\varphi}(y)}{\int_{\mathbb{B}_1} \tilde{\varphi}(z) dz}, \quad \tilde{\varphi}(y) = \begin{cases} e^{-\frac{1}{1-|y|^2}} & ; |y| < 1 \\ 0 & ; |y| \geq 1 \end{cases} \in C^\infty(\mathbb{R}^d)$$

3.7. Satz (Faltung)

$\Omega \subset \mathbb{R}^d$ offen, φ_ϵ wie oben, $1 \leq p < \infty$

(60)

$$u_\epsilon(x) = (\varphi_\epsilon * u)(x) = \int_{\mathbb{R}^d} \varphi_\epsilon(x-y) u(y) dy, \text{ dann}$$

gilt $u_\epsilon \rightarrow u$ in $L^p_{loc}(\Omega)$, $u_\epsilon \in C^\infty$ auf $\{x \in \Omega \mid \text{dist}(x, \partial\Omega) > \epsilon\}$

Bew (i) $|u_\epsilon(x)|^p = \left| \int_{B_\epsilon(0)} \varphi_\epsilon(x-y) u(y) dy \right|^p = \left| \int_{B_\epsilon(x)} \underbrace{\varphi_\epsilon(z)}_{\frac{1}{p}} u(x+z) dz \right|^p$

Hölder $\leq \left(\int_{B_\epsilon(0)} \varphi_\epsilon(z)^{\frac{p'}{p}} dz \right)^{\frac{p}{p'}} \left(\int_{B_\epsilon(x)} |u(x+z)|^p \varphi_\epsilon(z)^{\frac{p}{p'}} dz \right)^{\frac{p}{p}}$ $\varphi_\epsilon(z)^{\frac{1}{p}} \varphi_\epsilon(z)^{\frac{1}{p'}} \cdot \frac{1}{p} + \frac{1}{p'} = 1$

$= 1$

$$\Rightarrow \int_{\Omega' \subset \subset \Omega} |u_\epsilon(x)|^p dx \leq \int_{\Omega'} \int_{B_\epsilon(0)} |u(x+z)|^p \varphi_\epsilon(z) dz dx$$

$$= \int_{B_\epsilon(0)} \varphi_\epsilon(z) \underbrace{\int_{\Omega'} |u(y)|^p dy}_{\Omega' - z} dz \leq 1 \cdot \|u\|_{L^p(\Omega)}^p$$

$\stackrel{\text{Fubini}}{=}$

$$\leq \|u\|_{L^p(B_\epsilon(\Omega'))}^p$$

(ii) $|u_\epsilon(x) - u(x)| = \left| \int_{B_\epsilon(0)} \varphi_\epsilon(z) (u(x+z) - u(x)) dz \right|$

$$\leq \sup_{|z| \leq \epsilon} |u(x+z) - u(x)| \int_{B_\epsilon(0)} \varphi_\epsilon(z) dz$$

$\stackrel{\substack{u \in C^0(\bar{\Omega}) \\ \text{dist}(x, \partial\Omega) > \epsilon}}{\uparrow}$

$\xrightarrow{\epsilon \rightarrow 0} 0$

D.h. $u \in C^0(\bar{\Omega})$, dann konvergiert u_ϵ gl.m. gegen u auf $\Omega' \subset \subset \Omega$

(iii) L^p -Funktionen lassen sich durch $C_0^\infty(\Omega)$ -Funktionen approximieren, d.h. $\exists \tilde{u} \in C_0^\infty(\Omega)$ mit

$$\|u - \tilde{u}\|_{L^p(\Omega)} \leq \delta \quad (\text{ohne Beweis hier})$$

$$\Rightarrow \|u - u_\epsilon\|_{L^p(\Omega')} \leq \underbrace{\|u - \tilde{u}\|_{L^p(\Omega')}}_{\leq \delta} + \underbrace{\|\tilde{u} - (\tilde{u})_\epsilon\|_{L^p(\Omega')}}_{\xrightarrow{\epsilon \rightarrow 0} 0} + \|(\tilde{u})_\epsilon - u_\epsilon\|_{L^p(\Omega')}$$

$$\| \underbrace{(\bar{u})_{\epsilon} - u_{\epsilon}}_{= (\bar{u} - u)_{\epsilon}} \|_{L^p(\Omega')} \leq \| \bar{u} - u \|_{L^p(\Omega)} \leq \delta$$

□

3.8. Satz

$1 \leq p < \infty$, $\Omega \subset \mathbb{R}^d$ offen, $u \in H^{m,p}(\Omega)$, dann

$$\text{gilt } \| \varphi_{\epsilon} * u - u \|_{H^{m,p}(\Omega')} \xrightarrow{\epsilon \rightarrow 0} 0 \quad \forall \Omega' \subset \subset \Omega$$

Bew (i) Wir zeigen für $B_{\epsilon}(\Omega') \subset \Omega$ und $u \in L^1_{loc}(\Omega)$ gilt

$\varphi_{\epsilon} * u \in C^{\infty}(\Omega')$ und falls $\partial^{\beta} u \in L^1_{loc}(\Omega)$ schwache Ableitung von u , dann folgt

$$\partial_x^{\beta} (\varphi_{\epsilon} * u) = \varphi_{\epsilon} * \partial_x^{\beta} u$$

↓ klassische Abel. ↓ schwache Ableitung

hier: $x \in \Omega'$

$$\begin{aligned} \partial_x^{\beta} (\varphi_{\epsilon} * u)(x) &= \partial_x^{\beta} \int_{\Omega} \varphi_{\epsilon}(x-y) u(y) dy \\ &= \underbrace{\int_{\Omega} \partial_x^{\beta} \varphi_{\epsilon}(x-y) u(y) dy}_{\in C_0^{\infty}(\Omega)} \rightsquigarrow (\varphi_{\epsilon} * u \in C^{\infty}(\Omega')) \text{ s.o.} \\ &= (-1)^{\beta} \int_{\Omega} \partial_y^{\beta} \varphi_{\epsilon}(x-y) u(y) dy = \underbrace{(-1)^{\beta} \int_{\Omega} \varphi_{\epsilon}(x-y) \partial_y^{\beta} u(y) dy}_{= 1} \\ &= (\varphi_{\epsilon} * \partial^{\beta} u)(x) \end{aligned}$$

Def. schwache Abel.

$$(ii) \quad (3.7) \Rightarrow \quad \partial^{\beta} (\varphi_{\epsilon} * u) - \partial^{\beta} u = \varphi_{\epsilon} * \partial^{\beta} u - \partial^{\beta} u \xrightarrow{L^p(\Omega')} 0$$

⇒ Beh

□

Bem: tatsächlich gilt s.o.

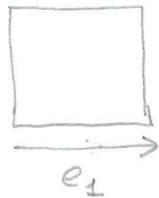
$$H^{m,p}(\Omega) = \overline{C^{\infty}(\Omega)}^{H^{m,p}(\Omega)}$$

$$\text{Def.: } H^{m,p}(\Omega) = \overline{\{u \in L^p(\Omega) : \partial^{\beta} u \in L^p(\Omega)\}}$$

3.9 Satz (Spuroperator)

Ω offen mit Lipschitzrand, dann gibt es eine lineare, beschränkte Abb. $B: H^1(\Omega) \rightarrow L^p(\partial\Omega)$ mit $Bu=u$ auf $\partial\Omega$ für $u \in H^1(\Omega) \cap C^0(\bar{\Omega})$.

Bew (für $\Omega = [0,1]^d$)



zunächst $u \in C^\infty(\bar{\Omega})$:

$$|u(s_2, x_{2-d}) - u(s_1, x_{2-d})| = \left| \int_{S_1}^{S_2} \partial_1 u(s, x_{2-d}) ds \right|$$

$$\begin{aligned} & \Rightarrow \int_{[0,1]^{d-1}} |u(s_2, x_{2-d}) - u(s_1, x_{2-d})|^p dx_{2-d} \\ & \leq \int_{[0,1]^{d-1}} \left(\int_{S_1}^{S_2} \partial_1 u ds \right)^p dx_{2-d} \stackrel{\text{Höld}}{\leq} \int_{[0,1]^{d-1}} |s_2 - s_1|^{\frac{p}{p-1}} \int_{S_1}^{S_2} |\partial_1 u|^p ds dx_{2-d} \end{aligned}$$

$$\Rightarrow \|u(s_2, \cdot) - u(s_1, \cdot)\|_{L^p([0,1]^{d-1})} \leq \underbrace{|s_2 - s_1|^{\frac{p-1}{p}}}_{\substack{\rightarrow 0 \\ S_1, S_2 \rightarrow 0}} \| \nabla u \|_{L^p([s_1, s_2] \times [0,1]^{d-1})} \underbrace{\rightarrow 0}_{S_1, S_2 \rightarrow 0}$$

$\Rightarrow u(s, \cdot)$ ist Cauchy-Folge
in $L^p([0,1]^{d-1})$

wichtig für $p=1$

Fischba-Kritz

$$\Rightarrow u(s, \cdot) \rightarrow v(\cdot) \text{ in } L^p([0,1]^{d-1})$$

$$\begin{aligned} & \|Bu\|_{L^p([0,1]^{d-1})} = \lim_{s \rightarrow 0} \|u(s, \cdot)\|_{L^p([0,1]^{d-1})} \\ & = \lim_{s \rightarrow 0} \left(\underbrace{\frac{1}{h} \sum_0^h \|u(s, \cdot) - u(\bar{s}, \cdot)\|_{L^p([0,1]^{d-1})}}_{\substack{\rightarrow 0 \\ h \rightarrow 0}} + \|u(\bar{s}, \cdot)\|_{L^p([0,1]^{d-1})} d\bar{s} \right) \\ & \leq \int_0^1 \underbrace{\frac{(s-\bar{s})^{\frac{p-1}{p}}}{h}}_{\substack{\rightarrow 0 \\ h \rightarrow 0}} \| \nabla u \|_{L^p(\Omega)} + \underbrace{\frac{h^{\frac{p-1}{p}}}{h}}_{\substack{\rightarrow 0 \\ h \rightarrow 0}} \|u\|_{L^p(\Omega)} \\ & \leq G(h) \|u\|_{H^1(\Omega)} \Rightarrow B \text{ beschränkt} \quad \square \end{aligned}$$

Bem Ω Lipschitz, offen, dann gilt mit 3.8.

$$H_0^{1,p}(\Omega) = \{ u \in H^1(\Omega) \mid \text{Bu} = 0 \} \subsetneq H^1(\Omega)$$

3.9. Def

$$1 \leq p < \infty, \frac{1}{p_1} + \frac{1}{p} = 1$$

$$H^{-m_1, p'_1}(\Omega) := (H_0^{m_1, p}(\Omega))' \quad \|f\|_{H^{-m_1, p'_1}} = \sup_{\substack{u \in H_0^{m_1, p}(\Omega) \\ u \neq 0}} \frac{\langle f, u \rangle}{\|u\|_{H^{m_1, p}(\Omega)}} \quad !$$

Bsp

$$\tilde{f} \in L^{p'}(\Omega)$$

$$\langle f, u \rangle := \int_{\Omega} \tilde{f} u dx \Rightarrow |\langle f, u \rangle| \leq \|\tilde{f}\|_{L^{p'}(\Omega)} \|u\|_{L^p(\Omega)}$$

$$\Rightarrow f \in H^{-m_1, p'_1}(\Omega) \quad \leq \|u\|_{H^{m_1, p}(\Omega)}$$

$$\cdot \quad \langle f, u \rangle := \int_{\Omega} \beta_u \tilde{f} dx \leq \|u\|_{B^{1, p}} \|\tilde{f}\|_{p'} \Rightarrow f \in H^{-1, p'_1}(\Omega)$$

$\tilde{f} \in L^{p'}(\Omega)$, Ω Lipschitz, $u \in H^1(\Omega)$:

$$\langle f, u \rangle := \int_{\Omega} \tilde{f} u dx \leq \|\tilde{f}\|_{L^{p'}(\Omega)} \underbrace{\|Bu\|_{L^p(\Omega)}}_{\|B\|}$$

$$\Rightarrow f \in (H^1(\Omega))' \subsetneq H^{-1, p'_1}(\Omega) \quad \leq C \|u\|_{H^1(\Omega)}$$

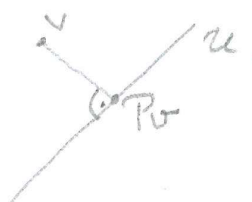
Nun betrachten wir die Existenz schwacher Lösungen ellipt. Dgl'n:

3.10

Satz (Projektionsatz) Sei U abgeschlossener Unterraum eines Hilberträume V und $v \in V$, dann gibt es genau ein $P(v) \in U$ mit $\|v - Pv\| = \inf_{u \in U} \|v - u\|$.

Ferner ist P lineare, beschränkte Abbildung $V \rightarrow U$ und

$$v - Pv \perp U$$



Bew: $(p_k)_k \subset U$ Minimalfolge, d.h. $\|v - p_k\| \rightarrow d := \inf_{u \in U} \|v - u\|$

Parallelogrammregel

$$\|a-b\|^2 + \|a+b\|^2 = 2(\|a\|^2 + \|b\|^2)$$

$$\begin{aligned} & \Rightarrow \|p_k - p_e\|^2 = -\underbrace{\|2v - (p_k + p_e)\|^2}_{= 4\|v - \frac{p_k + p_e}{2}\|^2} + 2(\underbrace{\|v - p_k\|^2}_{\geq d^2} + \underbrace{\|v - p_e\|^2}_{\geq d^2}) \\ & a = v - p_k \\ & b = v - p_e \end{aligned}$$

$$\Rightarrow \|p_k - p_e\| \xrightarrow{k, l \rightarrow \infty} 0$$

U abgesch.

$$\Rightarrow \exists p \in U \text{ mit } p_k \rightarrow p$$

Eindlichkeit $\bar{p} \in U$ mit $\|\bar{p} - v\| = d \stackrel{s.o.}{\Rightarrow}$

$$\|\bar{p} - p\|^2 \leq -4d^2 + 2(d^2 + d^2) = 0 \Rightarrow \bar{p} = p$$

Orthogonalität $\tau \in U, \alpha \in \mathbb{R}$

$$d^2 \leq \|v - (\underbrace{p + \alpha \tau}_{\in U})\|^2 = \underbrace{\|v - p\|^2}_{= d^2} - 2\alpha(v - p, \tau) + \alpha^2\|\tau\|^2$$

$$\Rightarrow (v - p, \tau) \leq \alpha \|\tau\|^2 \quad \forall \alpha > 0 \quad \Rightarrow (v - p, \tau) = 0$$

$P(v) := p$ wir zeigen $v - P(v) \perp U$ ist eindl. Charakterisierung \star

$$\begin{aligned} (v - p, u) &= 0 \\ (v - \bar{p}, u) &= 0 \end{aligned} \quad \left. \begin{array}{l} (p - \bar{p}, u) = 0 \\ u = p - \bar{p} \end{array} \right\} \Rightarrow p = \bar{p}$$

Linearität

$$\begin{aligned} (v_1 - P(v_1), u) &= 0 \\ (v_2 - P(v_2), u) &= 0 \end{aligned} \quad \left. \begin{array}{l} (v_1 + \alpha v_2 - (P(v_1) + \alpha P(v_2)), u) = 0 \\ \forall u \in U \end{array} \right\}$$

$$\Rightarrow P(v_1) + \alpha P(v_2) = P(v_1 + \alpha v_2)$$

□

3.11 Satz (Reisz'scher Darstellungssatz)

Sei V Hilbertraum, $\ell \in V'$ (beschränkt, lineares Funktional), dann existiert genau ein $u \in V$, so dass

$$(u, v) = \ell(v) \quad \forall v \in V.$$

Ferner gilt $\|u\|_V = \|\ell\|_{V'}$.

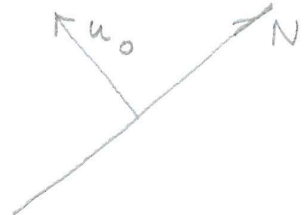
Bew $N = \{v \in V \mid \ell(v) = 0\}$ o.B.d.A. $N \neq V$

N ist abgeschlossenes Unterraum ($N \ni v_0 \rightarrow v \Rightarrow$

$$\ell(v_0) = 0 \Rightarrow \ell(v) = 0 \Rightarrow v \in N$$

3.10 \Rightarrow $\left[\exists u_0 \neq 0 \quad u_0 \perp N \text{ d.h. insbesonders } \ell(u_0) \neq 0 \right]$
 hierzu wähle $v \in V$ mit $v \notin N$ und $u_0 = v - P_N v$

nun: $\ell(v - \underbrace{\frac{\ell(v)}{\ell(u_0)} u_0}_{=: w}) = 0 \rightarrow w \in N \rightarrow (u_0, w) = 0$



$$\Rightarrow (u_0, v) = \frac{\ell(v)}{\ell(u_0)} \|u_0\|^2$$

Nun wähle $u = \frac{\ell(u_0)}{\|u_0\|^2} u_0 \Rightarrow (u, v) = \frac{\ell(u_0)}{\|u_0\|^2} \frac{\|u_0\|^2}{\ell(u_0)} \ell(v) = \ell(v)$

Abschließend

$$(u, u) = \ell(u) \Rightarrow \|u\|_V^2 \leq \|\ell\|_{V'}, \|u\|_V$$

$$\Rightarrow \|u\|_V \leq \|\ell\|_{V'}$$

$$\|\ell\|_{V'} = \sup_{v \neq 0} \frac{|\ell(v)|}{\|v\|_V} = \sup_{v \neq 0} \frac{(u, v)}{\|v\|_V} \stackrel{\text{Cauchy-Schwarz}}{\leq} \sup_{v \neq 0} \|u\|_V \frac{\|v\|_V}{\|v\|_V} = \|u\|_V$$

Einfachheit

$$\left. \begin{array}{l} (u, v) = \ell(v) \\ (\bar{u}, v) = \ell(v) \end{array} \right\} (u - \bar{u}, v) = 0 \quad \forall v \in V \Rightarrow \|u - \bar{u}\| = 0$$

$$v = u - \bar{u}$$

□

Ein weiteres Hilfsmittel:

3.12 Satz (Poincaré-Gleichung)

Ω offen, $p < \infty$, es gebe Richtung $\tau \in \mathbb{R}^d$, $\|\tau\| = 1$, so dass

$\{\tau \cdot x \mid x \in \Omega\} \subset [a, b]$ für $a, b \in \mathbb{R}$, $a < b$ (Ω in einer Richtung beschränkt), dann gilt

$$\|u\|_{L^p(\Omega)} \leq C_p \|\nabla u\|_{L^p(\Omega)} \quad \forall u \in H_0^{1,p}(\Omega)$$

$\xrightarrow{+b-a}$ mit $C_p = b-a$.

Bew

o. B. d. A. $\tau = e_1$, $\{x_1 \mid x \in \Omega\} \subset [a, b]$,

nun setze man u durch 0 fort, dann gilt

$$u(x_1, x_{2-d}) = \int_a^{x_1} \partial_1 u(\xi, x_{2-d}) d\xi \Rightarrow$$

$$\int_{\Omega} |u|^p dx = \int_{\Omega} \left(\int_a^{x_1} \partial_1 u(\xi, x_{2-d}) d\xi \right)^p dx$$

$$\stackrel{\text{Hölder-Lsg}}{\leq} \int_{\Omega} \int_0^b |\partial_1 u|^p d\xi b^{\frac{p}{p'}} dx$$

$\frac{1}{p} + \frac{1}{p'} = 1$

$$\boxed{\begin{aligned} \frac{p}{p'} &= \frac{p-1}{p} \\ &= p-1 \end{aligned}}$$

$$= b^{p-1} \int_{\mathbb{R}^{d-1}} \int_0^d |\partial_1 u|^p d\xi dx_1 dx_{2-d}$$

$$= b^{p-1+1} \int_{\Omega} |\partial_1 u|^p dx = d^p \int_{\Omega} |\nabla u|^p dx$$

$$(.)^{\frac{1}{p}}$$

\Rightarrow Beh

□

Betrachte nun das Poisson problem:

$$\text{(E) klassische Formulierung: } -\Delta u = f \text{ in } \Omega \\ u = g \text{ auf } \partial\Omega$$

$$\xrightarrow{\int_{\Omega} (-) dx} \underbrace{\int_{\Omega} -\Delta u \varphi dx}_{\mathbb{R}} = \underbrace{\int_{\Omega} f \varphi dx}_{\mathbb{R}} \quad \forall \varphi \in C_0^\infty(\Omega) \\ = \underset{\text{part. Integration}}{\int_{\Omega} \nabla u \cdot \nabla \varphi dx}$$

(E) schwacher Lösungsbegriff:

Sei $f \in L^2(\Omega)$, $g \in H^{1/2}(\partial\Omega)$, dann heißt u schwache Lösung zu (E), falls $u \in H^1(\Omega)$, $u-g \in H_0^{1/2}(\partial\Omega)$ und

$$\int_{\Omega} \nabla u \cdot \nabla \varphi dx = \int_{\Omega} f \varphi dx \quad \forall \varphi \in H_0^{1/2}(\Omega)$$

3.13 Satz (Existenz schwacher Lösungen)

Es existiert eine eindeutige schwache Lösung u des Poissonproblems (E).

Bew. Gesucht $u = w + g$ mit $w \in H_0^{1/2}(\Omega)$ und

$$\int_{\Omega} \nabla(w+g) \cdot \nabla \varphi dx = \int_{\Omega} f \varphi dx \quad \forall \varphi \in H_0^{1/2}(\Omega)$$

$$\Leftrightarrow \underbrace{\int_{\Omega} \nabla w \cdot \nabla \varphi dx}_{=: a(w, \varphi)} = \underbrace{\int_{\Omega} f \varphi - \nabla g \cdot \nabla \varphi dx}_{=: l(\varphi)}$$

Z.B. (i) $H_0^{1,2}$ ist mit Skalarprodukt $a(\cdot, \cdot)$ und induzierte Norm $|w|_{1,2} := \sqrt{a(\cdot, \cdot)}$ ein Hilbertraum

(ii) $\ell(\cdot)$ ist ein beschränktes lineares Funktional

$$\boxed{\text{zu (i)}}$$

$$\begin{aligned} \|w\|_{L^2(\Omega)} &\leq C_p |w|_{1,2} \Rightarrow \\ \|w\|_{H^{1/2}(\Omega)} &= (\|w\|_{L^2(\Omega)}^2 + C_p^2 |w|_{1,2}^2)^{\frac{1}{2}} \\ &\leq \sqrt{1+C_p^2} |w|_{1,2} \end{aligned}$$

$\Rightarrow \|w\|_{H^{1/2}(\Omega)}$ und $|w|_{1,2}$ sind äquivalente Normen

Form ist $a(\cdot, \cdot)$ bilinear und symmetrisch

Also ist $H_0^{1,2}$ auch mit dem SKP $a(\cdot, \cdot)$ Hilbertraum

$$\boxed{\text{zu (ii)}}$$

$$\begin{aligned} |\ell(\varphi)| &\leq \|f\|_{L^2(\Omega)} \|\varphi\|_{L^2(\Omega)} + \|g\|_{1,2} |\varphi|_{1,2} \\ &\leq (C_p \|f\|_{L^2(\Omega)} + \|g\|_{1,2}) |\varphi|_{1,2} \end{aligned}$$

$\Rightarrow \ell$ ist beschränktes, lineares Funktional

3.11.

$\Rightarrow \exists! w \in H_0^{1,2}(\Omega)$ mit $a(w, \varphi) = \ell(\varphi) \quad \forall \varphi \in H_0^{1,2}(\Omega)$

□

3.14 Bem (Vwallgemeine erzeugen)

$$(i) Lu := - \sum_{i,j=1}^d \partial_i (a_{ij} \partial_j u) + a_0 u \quad (\text{allgemein ellipt. Operator})$$

mit $a_{ij}, a_0 \in L^\infty(\Omega)$ und $a_{ij} \bar{x}_j \bar{x}_i \geq c |\bar{x}|^2$

mit $c > 0$, sowie $a_0 \geq 0$, $a_{ij} = a_{ji}$

(E) $Lu = f$ in Ω , $u = g$ auf $\partial\Omega$ (vgl. oben)

Schwacher Lösungsbegriff: (partielle Integration für a, u hinreichend glatt) (69)

$$\begin{aligned} (\tilde{E}) \quad a(w, \varphi) &:= \int_{\Omega} \sum_{i,j=1}^d a_{ij} \partial_j u \partial_i \varphi + a_0 u \varphi \, dx \\ l(\varphi) &:= \int_{\Omega} f \varphi - \sum_{i,j=1}^d a_{ij} \partial_j g \partial_i \varphi \, dx \\ u = w + g \text{ heißt schwache Lösung zu (E) falls} \\ a(w, \varphi) &= l(\varphi) \quad \forall \varphi \in H_0^{1,2}(\Omega); \end{aligned}$$

(ii) (Neumann-Randwerte)

$$\Gamma = \partial\Omega = \Gamma_D \cup \Gamma_N, \quad \Gamma_D \cap \Gamma_N = \emptyset$$

$$\begin{aligned} (E_N) \quad L u &= f \text{ in } \Omega & f \in L^2(\Omega) \\ u &= g \text{ auf } \Gamma_D & g \in H^{1/2}(\Gamma) \\ \sum_{i,j=1}^d a_{ij} \partial_j u n_i &= \gamma \text{ auf } \Gamma_N & \gamma \in L^2(\partial\Omega) \end{aligned}$$

a, u glatt \Rightarrow

partielle Integration

$$\int_{\Omega} \sum_{i,j=1}^d -\partial_i(a_{ij} \partial_j u) \varphi \, dx = \int_{\Omega} \sum_{i,j=1}^d a_{ij} \partial_j u \partial_i \varphi \, dx - \int_{\Omega} \sum_{i,j=1}^d a_{ij} \partial_j u n_i \, da$$

\leadsto Schwacher Lösungsbegriff:

$$(\tilde{E}_N) \quad \int_{\Omega} \sum_{i,j=1}^d a_{ij} \partial_j u \partial_i \varphi \, dx = \int_{\Omega} f \varphi \, dx + \int_{\Gamma} \gamma \varphi \, da \quad \forall \varphi \in H^{1/2}(\Omega)$$

[hier benötigt man entweder

$a_0 > c > 0$ f. i. in $\Omega \Rightarrow$ Poincaré-Ungl. nicht notwendig]

oder Poincaré-Ungl.

$$\|w\|_{L^2(\Omega)} \leq C_p \| \nabla w \|_{L^2(\Omega)} \text{ für } w \in H^{1,2}(\Omega) \text{ mit } w|_{\Gamma_D} = 0$$

Nun betrachten wir zu (E) einen konformen Finit-Elemente-Ansatz:

Sei $V_e \subset V = H^{1,2}(\Omega)$ endlich dimensionaler Teilraum,

$V_{e,0} := \{v \in V_e \mid v|_{\partial\Omega} = 0 \text{ auf } \partial\Omega\}$, dann suchen wir $w_e \in V_{e,0}$ mit

$$(\tilde{E}_e) \quad a(w_e, \varphi_e) = l(\varphi_e) \quad \forall \varphi_e \in V_{e,0}$$

Dabei sei $l(\varphi) = \int_{\Omega} f \varphi \, dx - a(g_e, \varphi)$ zu $g_e \in V_e$

$u_e = w_e + g_e$ heißt dann diskrete Lösung zu (E) falls g_e eine Approximation von $g \in H^{1,2}(\Omega)$.

3.15. Satz (Existenz diskreter Lösungen)

Vor wie oben, dann existiert genau eine Lösung $u_e \in V_e$ zu (\tilde{E}_e)

Bew: Analog zu 3.13 (Es genügt Projektionsatz in endl. Dimension)
vgl. WS 15/16. \square

Lineares Gleichungssystem links (\tilde{E}_e) :

$$w_e = \sum_{k=1}^m w_e^k \varphi_e^k \quad m = \dim V_{e,0}, \{\varphi_e^k\}_{k=1, \dots, m} \text{ Basis}$$

$$\sum_{k=1}^m a(\varphi_e^k, \varphi_e^l) w_e^k = l(\varphi_e^l) \quad \forall l = 1, \dots, m$$

$$=: A_e^{lk} \quad =: \bar{l}_e^l$$

$$A_e = (A_e^{lk})_{l,k=1, \dots, m} \quad \text{Stiffnessmatrix}$$

$$\bar{l}_e = (l_e(\varphi_e^k))_{k=1, \dots, m} \quad \text{Rechte Seite}$$

$$\bar{w}_e = (w_e^k)_{k=1, \dots, m} \quad \text{Komponentenvektor zu } w_e$$

$$A_e \bar{w}_e = \bar{l}_e$$

Nun verwenden wir Lagrange - Finite-Elemente:

$$V_e = V_{e,h} \quad \text{aus 2.12.}$$

Frag: Fehlgeschätzungen $\|u - u_e\|_{H^1(\Omega)} \leq ?$, $\|u - u_e\|_{L^2(\Omega)} \leq ?$

Abstrakte Fehlgeschätzung (vgl. Wintersemester):

3.16 Lemma (Céa) Sei V Hilbertraum, $V_e \subset V$ abgeschlossener Unterraum, $\ell \in V'$, $a(\cdot, \cdot)$ beschränkte, kovariante Bilinearform ($a(u, u) \geq c \|u\|_V^2$, $a(u, v) \leq C \|u\|_V \|v\|_V$), dann gilt für u, u_e mit $a(u, \varphi) = \ell(\varphi) \quad \forall \varphi \in V$ und $a(u_e, \varphi_e) = \ell(\varphi_e) \quad \forall \varphi_e \in V_e$

die Fehlgeschätzung

$$\|u - u_e\|_V \leq \frac{C}{c} \inf_{V_e \subset V_{e,0}} \|u - v_e\|_V$$

(FE-Fehl.) (Approximationfehler)

Bew

$$\begin{aligned} \|u - u_e\|_V^2 &\leq \frac{1}{c} a(u - u_e, u - u_e) \\ &= \frac{1}{c} (a(u - u_e, u - v_e) + \underbrace{a(u - u_e, v_e - u_e)}_{\ell(v_e - u_e) - \ell(v_e - u_e)}) \\ &\leq \frac{C}{c} \|u - u_e\|_V \|u - v_e\|_V \quad (=0) \end{aligned}$$

$$\Rightarrow \|u - u_e\|_V \leq \frac{C}{c} \|u - v_e\|_V \quad \forall v_e \in V_e$$

$= 0$
Orthogonalität
des Fehlers

\Rightarrow Beh

□

$$\text{Ziel: } \inf_{v_h \in V_{k,h}} \|u - v_h\| \leq \|u - I_h u\| \stackrel{!}{\leq} C h^k \|u\|_{H^{k+1/2}(\Omega)}$$

↑
Lagrange-Interpolation Regularität!
 $H^{k+1/2}(\Omega) \hookrightarrow V_{k,h}$

Fragen:

- Wohldefiniertheit von I_ϱ auf Sobolev-Räumen?
- Fehlabschätzung in Sobolev-Normen?
(vgl. 2.13 Fehlabschätzung in der H^1_{loc} -Norm)

Hilfsmittel: Poincaré - Abschätzung $\|u\|_{L^p(\Omega)} \leq C_p \|\nabla u\|_{L^p(\Omega)}$
 für $u \in H^1(\Omega)$ mit $\int_{\Omega} u \, dx = 0$, Ω beschränkt
 $\quad \quad \quad (\text{bisher für } u \in H_0^1(\Omega))$

$$\textcircled{1D} \quad \int_a^b u dx = 0 \Rightarrow \exists x \in [a, b] \quad u(x) = 0 \Rightarrow$$

$$u(y) = \underbrace{u(x)}_{=0} + \int_x^y u'(\xi) d\xi, \text{ danach weiter wischen!}$$

Achtung: Dies geht nicht so für $c > 1$

3.18 Satz (Poincaré - Abschätzung für Funktionen mit Mittelpunkt 0)

$1 \leq p < \infty$, $\Omega \subset \mathbb{R}^d$ offen, beschränkt, $\partial\Omega$ Lipschitz,
dann gilt für alle $u \in H^1(\Omega)$ mit $\int_{\Omega} u dx = 0$:

$$\|u\|_{L^p(\Omega)} \leq C_p(\Omega) \|\nabla u\|_{L^p(\Omega)}$$

Zunächst:

$$3.19 \quad \text{Lemma} \quad f \in L^p(\Omega), g(x) = \int |x-y|^{1-\alpha} f(y) dy,$$

dann gilt $g \in L^p(\Omega)$ mit

$$||g||_{L^p(\mathbb{R})} \leq C ||f||_{L^p(\mathbb{R})}$$

Bem $\int_{B_1(0)} |x|^{1-d} dx = |\partial B_1| \int_0^1 r^{1-d+d-1} dr = |\partial B_1| r \Big|_0^1 = |\partial B_1|$

→ schwach singulärer Punkt!

Bew zu 3.19: $d=1$ (✓)

$$\boxed{d>1} \|g\|_{L^p}^p = \left(\int_{\Omega} \left(\int_{\Omega} |x-y|^{(1-d)\delta} f(y) |x-y|^{(1-d)(1-\delta)} dy \right)^p dx \right)^{\frac{1}{p}}$$

Hölder und
 $\frac{1}{p} + \frac{1}{p'} = 1$

$$\leq \left(\int_{\Omega} \left(\int_{\Omega} |x-y|^{(1-d)\delta p} |f(y)|^p dy \right)^{\frac{p}{p}} \left(\int_{\Omega} |x-y|^{(1-d)(1-\delta) \frac{p}{p-1}} dy \right)^{\frac{p-1}{p}} dx \right)^{\frac{p}{p}}$$

$$\boxed{\text{Fubini}} \leq \underbrace{\left(\sup_{y \in \Omega} \int_{\Omega} |x-y|^{(1-d)\delta p} dx \right) \|f\|_{L^p}^p}_{\substack{\uparrow \\ (1-d)\delta p > -d \oplus}} \underbrace{\left(\sup_{x \in \Omega} \int_{\Omega} |x-y|^{\frac{(1-d)p(1-\delta)}{p-1}} dy \right)^{p-1}}_{\substack{\uparrow \\ \frac{(1-d)p(1-\delta)}{p-1} > -d \oplus}}$$

$$\leq G(\Omega)$$

$$\leq C(\Omega)^2 \|f\|_{L^p}^p$$

$\frac{d-p}{(d-1)p} < \delta < \frac{d}{(d-1)p}$

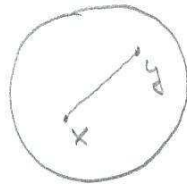
immer erfüllbar für ein

$\delta \in (0, 1)$

$\neg (1-d)p\delta > -\underbrace{(p-1)d - (1-d)p}_{= d-p}$

Bew zu 3.18: o.B.d.A. $u \in H^{1,p}(\Omega) \cap C^1(\overline{\Omega})$ □
(möglich wegen Approximationssatz)

[Form sicher wie wir vorans, dass Ω konkav ist!]



$$\begin{aligned} u(x) - u(y) &= \int_0^1 \partial_t u(y + t(x-y)) dt \\ &= \int_0^{|x-y|} \partial_t u(y + t\bar{z}) dt \quad \bar{z} = \frac{x-y}{|x-y|} \end{aligned}$$

$$\Rightarrow -u(y)|_{\Omega} = \int_{\Omega} u(x) - u(y) dx = \int_{\Omega} \int_0^{|x-y|} \underbrace{\partial_t u(y + t\bar{z}) dt}_{=0} dx = u(y + t\bar{z})$$

$$\Rightarrow |u(y)| \leq \frac{1}{|\Omega|} \int_{B_R} \int_0^{\infty} |u(y + t\bar{z})| dt dx$$

$u(x) := 0 \text{ für } x \notin \Omega$

$$\stackrel{\text{Fubini}}{=} \frac{1}{|\Omega|} \int_0^R \int_0^{\infty} \int_{\partial B_1} |u(y + t\bar{z})| r^{d-1} da dr dt$$

$$= \frac{R^d}{|\Omega|^d} \int_0^{\infty} \int_{\partial B_1} |u(y + t\bar{z})| \frac{t^{d-1}}{r^{d-1}} da(\bar{z}) dt$$

$$= \frac{R^d}{|\Omega|^d} \int_{\Omega} \frac{|u(z)|}{|z-y|^{d-1}} dz$$

3.19

 \Rightarrow $=: g(y)$ in Lemma 3.19.

$$\|u\|_{L^p} \leq C(\Omega) \|v\|_{L^p} \leq C(\Omega) \|\nabla u\|_{L^p} \leadsto \text{Beh.}$$

$$|u(z)| \leq |\nabla u(z)|$$

□

Ω nicht konvex

man benötigt einen Fortschreitungsatz:

$$\exists E: H^{1,p}(\Omega) \rightarrow H_0^{4,p}(B_{2R}) \text{ mit}$$

$$\|Eu\|_{H_0^{4,p}(B_{2R})} \leq C \|u\|_{H^{1,p}(\Omega)}$$

dann geht andere Argumentation!

zu 1. Frage: Wohlgestelltheit der Interpolation von Sobolev-Funktionen?

Zunächst aus f. u. def.

Erinnerung: $u(x) = |x|^3$

$$u \in C^{k+\alpha}(\bar{B}_1) \Leftrightarrow k+\alpha \leq 3 \quad \begin{array}{l} \boxed{x=1} \text{ Sonderfälle} \\ \left(\begin{array}{l} x \mapsto |x|^\alpha \in C^{0,\alpha} \\ x \mapsto |x|^{1+\alpha} \in C^{1,\alpha} \end{array} \right) \\ \uparrow \text{Holderstetigkeit} \end{array}$$

$$u \in H^{m,p}(B_1) \Leftrightarrow \exists > m - \frac{d}{p} \quad (\text{vgl. 3.4. (iii)})$$

\uparrow

$$D^m |x|^3 = O(|x|^{3-m})$$

insbesondere: $3 > m - \frac{d}{p} \geq k + \alpha \Rightarrow u \in C^{k+\alpha}$

Dies gilt allgemein:

3.20 Satz (Einbettung $H^{m,p} \hookrightarrow C^{k,\alpha}$)

Sei Ω offen, beschränkt, 2L Lipschitz, $\dots, k, m \geq 0$;

$1 \leq p, q < \infty, \alpha \in [0, 1]$, dann gilt:

$$H^{m,p}(\Omega) \hookrightarrow C^{k,\alpha}(\bar{\Omega}) \quad \text{falls } m - \frac{d}{p} > k + \alpha$$

$(\geq, \text{ falls } \alpha \in (0, 1))$

$$H^{m,p}(\Omega) \hookrightarrow H^{k,q}(\Omega) \quad \text{falls } m \geq k \text{ und}$$

$$m - \frac{d}{p} \geq k - \frac{d}{q}$$

$(X \xrightarrow{E} Y : \Leftrightarrow E \text{ beschr. Operator } X \rightarrow Y$
 $E \text{ injektiv}$

falls E kanonisch, so schreibt man $X \hookrightarrow Y$)

(ohne Kanonizität)

Bem L^p -Funktionen sind Äquivalenzklassen von Funktionen, die sich bis auf Nullmenge nicht unterscheiden.

$H^{m,p} \hookrightarrow C^{k,\infty}$ heißt damit, dass es einen Repräsentanten jeder $H^{m,p}$ -Fkt gibt, der $C^{k,\infty}(\bar{\Omega})$ ist!

I_{ϵ}^u -Auswöhlung erfordert $u \in C^0$, d.h. u muss regulär genug sein: $u \in H^{m,2}(\Omega) \Rightarrow u \in C^0(\bar{\Omega})$
 falls $m - \frac{d}{2} > 0$

$H^{1,2}(\Omega) \not\hookrightarrow C^0(\bar{\Omega})$! \rightsquigarrow höhere Regulärität erforderlich!
 $d=1$

Nun zur Interpolation in Sobolev-Räumen:

Ziel $\|u - I_{\epsilon}u\|_{H^{m,2}(\Omega)} \leq C h^{\frac{k+1-m}{2}} \|u\|_{H^{k+1/2}(\Omega)}$

$m = 1$
 $m = 0 \quad (L^2)$

3.21. Lemma T Simplex, \hat{T} Referenzsimplex,

$T = \mathbb{F}(\hat{T})$, $\mathbb{F}: \hat{x} \mapsto A_T \hat{x} + b_T$, $A_T \in GL(d)$, $b_T \in \mathbb{R}^d$,
 $m \geq 0$, $1 \leq p \leq \infty$, $\hat{u} = u \circ \mathbb{F}$, dann gilt

$$\|u\|_{m,p,T} \leq C \|A_T^{-1}\|^m (\det A_T)^{\frac{1}{p}} \|\hat{u}\|_{m,p,\hat{T}}$$

$$\|\hat{u}\|_{m,p,\hat{T}} \leq C \|A_T\|^m (\det A_T)^{-\frac{1}{p}} \|u\|_{m,p,T}$$

$$\|u\|_{m,p,T} := \left(\sum_{|\beta|=m} \int_{\hat{T}} |\partial_{\hat{x}}^\beta u|^p dx \right)^{\frac{1}{p}}$$

Bew: $\hat{u}(\hat{x}) = u(F(\hat{x})) \Rightarrow \partial_{\hat{x}_i}^{\alpha} \hat{u} = \sum_j (\partial_{x_j} u) \circ F \underbrace{\partial_{\hat{x}_i}^{\alpha} F}_{\beta}$

$$\Rightarrow |\partial_{\hat{x}}^{\alpha} \hat{u}(\hat{x})| \leq C \|A_T\|^{\|\alpha\|} \max_{|\beta|=|\alpha|} |\partial_x^{\beta} u(x)| A_{\beta i}$$

$p=\infty$ $|\hat{u}|_{m,\infty,\hat{T}} \leq C \|A_T\|^m |u|_{m,\infty,T}$ (siehe Kap. 2)

$p < \infty$ $\left(\int_{\hat{T}} |\partial_{\hat{x}}^{\alpha} \hat{u}(\hat{x})|^p d\hat{x} \right)^{\frac{1}{p}} \leq C \|A_T\|^{\|\alpha\|} \max_{|\beta|=|\alpha|} \left(\int_{\hat{T}} |\partial_x^{\beta} u(x)|^p d\hat{x} \right)^{\frac{1}{p}}$
 $= |\det A_T^{-1}|^{\frac{1}{p}} \int_T |\partial_x^{\beta} u|^p dx$

\Rightarrow 2. Ungleichung

1. Ungleichung Voraussetzung von T, \hat{T}

□

Sinnung 2.13 (Beweis):

$$\|A_T\| \leq \frac{h(T)}{g(\hat{T})} \quad \|A_T^{-1}\| \leq \frac{h(\hat{T})}{g(T)} \leftarrow \text{Inverses und messen}$$

hierzu gilt:

$$\frac{g(T)^d}{h(\hat{T})^d} \leq |\det A_T| \leq \frac{h(\hat{T})^d}{g(\hat{T})^d}$$

hierzu: • $\|A_T^{-1} g(T) e_i\| \leq h(\hat{T}) \Rightarrow |\det A_T^{-1}| \leq \frac{h(\hat{T})^d}{g(T)^d}$

$$\Rightarrow |\det A_T| \geq \frac{g(T)^d}{h(\hat{T})^d}$$

• $\|A_T g(\hat{T}) e_i\| \leq h(T) \Rightarrow |\det A_T| \leq \frac{h(T)^d}{g(\hat{T})^d}$

Bem: [3.21. dient der Transformation der Fehlwabschätzung auf \hat{T} auf das Referenzsimplex \hat{T}]

Nun betrachten wir Fehlwabschätzungen auf \hat{T} !

3.22. Lemma

$G \subset \mathbb{R}^d$ offen, beschränkt, dann existiert

zu jedem $u \in H^k_p(G)$ ein $q \in \mathcal{B}_k = \mathcal{B}_k^d$, so dass

$$\int_G \partial^\alpha (u - q) dx = 0 \quad \forall |\alpha| \leq k$$

Bew

$$q = \sum_{|\beta| \leq k} c_\beta x^\beta$$

$$\int_G \partial^\alpha (u - q) dx = 0 \Rightarrow \sum_{|\beta| \leq k} \left(\int_G \partial^\alpha x^\beta dx \right) c_\beta = \int_G \partial^\alpha u dx$$

quad. lineares Gl. System

z.2. Injektivität:

$$\int_G \partial^\alpha q dx = 0 \quad \forall |\alpha| \leq k \stackrel{!}{\Rightarrow} q \equiv 0$$

hier: $|\alpha| = k, q \in \mathcal{B}_k \Rightarrow \partial^\alpha q \equiv \text{konstant} \stackrel{\text{Vor.}}{=} 0$

$$\Rightarrow q \in \mathcal{B}_{k-1}$$

Idee: $\dots q \in \mathcal{B}_0, q = \text{konstant} \stackrel{\text{Vor.}}{=} 0$

$$\Rightarrow q \equiv 0$$

□

3.23. Satz

G offen, beschränkt, $k \geq 0$, $1 \leq p \leq \infty$, dann gilt

$$\|u\|_{H^{k+1,p}(G)/\mathcal{B}_k} := \inf_{q \in \mathcal{B}_k} \|u - q\|_{H^{k+1,p}(G)} \leq C(\Omega, k, p) \|u\|_{H^k(\Omega)}$$

Quotientenraum

$$\forall u \in H^{k+1,p}(G)$$

Bew

wähle q nach 3.21 mit $\int_G \partial^\alpha (u - q) dx = 0 \quad \forall |\alpha| \leq k$

$$\Rightarrow \|\partial^\alpha (u - q)\|_{L^p(G)} \leq C_p(\Omega) \|\partial^\alpha \nabla (u - q)\|_{L^p(G)}$$

$$\begin{aligned}
 \xrightarrow{\text{Idee}} \|u - q\|_{H^{k+1,p}(G)} &\leq C(G, k, p) \underbrace{\|u - q\|_{H^{k+1,p}(G)}}_{q \in \mathcal{P}_k} \\
 &= \|u\|_{H^{k+1,p}(G)/\mathcal{P}_k}
 \end{aligned}$$

3.24 Satz (Interpolationsabschätzungen auf finitem Gebiet) □

G offen, beschränkt, $k \geq m \geq 0$, $p, q \geq 1$, $H^{k+1,p}(G) \hookrightarrow H^{m,q}(G)$

$\mathcal{P}_k \subset \mathcal{P} \subset H^{m,q}(G)$, sei $I \in L(H^{k+1,p}(G), \mathcal{P})$, so dass

$I_p = p \forall p \in \mathcal{P}_k$, dann gilt I (Raum der lin. besch. Operatoren)

$$\|u - Iu\|_{H^{m,q}(G)} \leq C(G, k, m, p, q) \|u\|_{H^{k+1,p}(G)} \quad \forall u \in H^k(G)$$

$$\begin{aligned}
 \text{Bew. } \|u - Iu\|_{H^{m,q}} &= \inf_{s \in \mathcal{P}_k} \|u - s\|_{H^{m,q}} + \|s - Iu\|_{H^{m,q}} \\
 &= \|u - s\|_{H^{m,q}} + \|I(s - u)\|_{H^{m,q}} \\
 &\leq (1 + \|I\|_{L(H^{k+1,p}, \mathcal{P})}) \|u - s\|_{H^{k+1,p}}
 \end{aligned}$$

$$\begin{aligned}
 \Rightarrow \|u - Iu\|_{H^{m,q}} &\leq C \inf_{s \in \mathcal{P}_k} \|u - s\|_{H^{k+1,p}} \\
 &\stackrel{3.22.}{\leq} C \|u\|_{H^{k+1,p}}
 \end{aligned}$$

□

Bem. • $\mathcal{P}_k \subsetneq \mathcal{P}$ spezielle Finite Element \rightsquigarrow später relevant!

• $I = I_k \in L(H^{k+1,p}(G), \mathcal{P}) \iff H^{k+1,p} \subset C^\circ$

• Anwendung $G = \mathbb{T}$

3.25

Satz (Interpolationsfehler auf Simplices)

T Simplex, $\hat{\tau}$ Einheitssimplex, $k, m \geq 0, p, q \geq 1$

$$H^{k+1,p}(\hat{\tau}) \hookrightarrow H^{m,q}(\hat{\tau}), \quad \hat{\beta} \subset H^{m,q}(\hat{\tau}),$$

$$\hat{I} \in L(H^{k+1,p}(\hat{\tau}), \hat{\beta}), \quad \hat{I}_s = s \quad \forall s \in \mathbb{R},$$

$$I \in L(H^{k+1,p}(\tau), \beta) \text{ mit } \hat{I}_0 = \hat{I} \hat{\beta} \quad (\hat{\beta} = v \circ \hat{\tau})$$

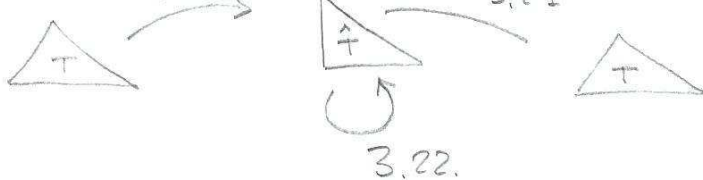
dann gilt

$$|u - Iu|_{H^{m,q}(\tau)} \leq C h(\tau)^{k+1+\frac{d}{q}} g(\tau)^{-m-\frac{d}{p}} |u|_{H^{k+1,p}(\tau)}$$

Bew

$$p = q = \infty$$

(2.13)

Schema:

3.22.

$$\begin{aligned} |u - Iu|_{m,q,\tau} &\stackrel{3.21}{\leq} C g(\tau)^{-m} h(\tau)^{\frac{d}{q}} |\hat{u} - \hat{I} \hat{u}|_{m,q,\hat{\tau}} \\ &\stackrel{3.22.}{\leq} C g(\tau)^{-m} h(\tau)^{\frac{d}{q}} |\hat{u}|_{k+1,p,\hat{\tau}} \\ &\stackrel{3.21.}{\leq} C g(\tau)^{-m-\frac{d}{p}} h(\tau)^{k+1+\frac{d}{q}} |u|_{k+1,p} \end{aligned}$$

3.26 Folgerung

$\{J_\alpha\}_\alpha$ Familie zulässige, reguläre

Triangulierungen, $V_{k,k}$ Lagrange-FE-Raum,
 $u \in H^{k+1,p}(\Omega)$, $H^{k+1,p}(\Omega) \hookrightarrow C^0(\bar{\Omega})$, dann gilt

$$|u - I_\alpha u|_{m,p,\Omega} \leq C h^{k+1-m} |u|_{k+1,p,\Omega} \quad (m=0,1)$$

Bew

- Summation über alle Simplices

$$g(\tau) \geq C h(\tau)$$

□

Bem • Falls $g(\tau) \leq G h(\tau)$:

$$\|u - I_h u\|_{m,q,T} \leq G h(\tau)^{k+1-m + d\left(\frac{1}{q} - \frac{1}{p}\right)} \|u\|_{k+1,p,T}$$

kein Profit auf ganz Ω^k falls $q < p$

• $V_q \subset H^{k,p} \Leftarrow C^{m-1}$ -Übergänge auf $T \cap T'$

• Für Homit-Elemente (Frühstagsgrade \triangleq Ableitungen der Ordnung $s \geq 0$):

$$I \in \text{el}(H^{k+1,p}(\hat{\tau}), \hat{\varphi}) \Leftarrow H^{k+1,p}(\hat{\tau}) \subset C^{s_{\max}, 0}(\hat{\tau})$$

$k+1 - \frac{d}{p} \geq s_{\max} := \text{maximale Ableitungsgrad}$

Nun betrachte wir die Konvergenz des Finite-Elemente-Methode:

$$(\tilde{E}) \quad \int_{\Omega} \sum_{ij} a_{ij} \partial_j u \partial_i \varphi \, dx = \int_{\Omega} f \varphi \, dx \quad \forall \varphi \in H_0^{1/2}(\Omega)$$

$u - g \in H_0^{1/2}(\Omega)$

$$(\tilde{E}_e) \quad \int_{\Omega} \sum_{ij} a_{ij} \partial_j u_e \partial_i \varphi_e \, dx = \int_{\Omega} f \varphi_e \, dx \quad \forall \varphi_e \in V_{h,e,0}$$

$u - g_e \in V_{h,e,0}$

$V_{h,e,0} = V_{h,e} \cap \{u_e|_{\partial\Omega} = 0\}$, Ω polygonal beschriftet,
beschränkt, $(T_e)_e$ Familie regulärer, zulässiger Dreiecke.

3.26 Satz (Konvergenz)

Unter obigen Voraussetzungen und für u Lsg von (\tilde{E}) gelte
 $u \in H^{k+1,2}(\Omega)$, $k+1 - \frac{d}{2} \geq 0$, $g_e = I_h g$ auf $\partial\Omega$, dann
gilt für u_e Lsg von (\tilde{E}_e) : $\|u - u_e\|_{H^{1/2}(\Omega)} \leq G h^k \|u\|_{k+1,2}$

Bew

$$\boxed{g = g_e}$$

$$a(u, v) = \int_{\Omega} \sum_{i,j} a_{ij} \frac{\partial_i u}{g} \frac{\partial_j v}{g} dx$$

$$l(v) = \int_{\Omega} f v dx - a(g, v)$$

$$\boxed{g_e}$$

$$\begin{aligned} [\tilde{E}] \Leftrightarrow a(u, \varphi) &= l(\varphi) & \forall \varphi \in H_0^{1,2}(\Omega) & w = u - g \\ [\tilde{E}_e] \Leftrightarrow a(w_e, \varphi_e) &= l(\varphi_e) & \forall \varphi_e \in V_{g_e, 0} & w_e = u_e - g_e = u_e - g \end{aligned}$$

Cea (3.16)

$$\Rightarrow \|u - u_e\|_{H^{1,2}(\Omega)} \stackrel{g=g_e}{=} \|w - w_e\|_{H^{1,2}(\Omega)} \leq \frac{C}{c} \|w - I_e w\|_{H^1(\Omega)}$$

$$\stackrel{3.25}{\leq} C h^{k+1} \|w\|_{H^{k+1,2}(\Omega)}$$

$$= \|u\|_{H^{k+1,2}(\Omega)} + \|g\|_{H^{k+1,2}(\Omega)}$$

$$\text{falls } \leq \|u\|_{H^{k+1,2}(\Omega)} \quad (\checkmark)$$

Wen zum allgemeinen Fall:

Probleme: $u - u_e \notin H_0^{1,2}(\Omega)$ im Allgemeinen,
also nicht als Testfunktion zugelassen

• $\|g - g_e\|_{H^{1,2}(\Omega)}$ sollte vermieden werden als Term

$$[\tilde{E}_e] \Leftrightarrow a(w_e, \varphi_e) = \int_{\Omega} f \varphi_e dx - a(g_e, \varphi_e) \quad \forall \varphi_e \in V_{g_e, 0}$$

$$\text{definiere: } \tilde{w}_e = \underbrace{w_e}_{= u_e - g_e} + g_e - I_e u = u_e - I_e u$$

$$\text{dann gilt: } a(\tilde{w}_e, \varphi_e) = \int_{\Omega} f \varphi_e dx - a(I_e u, \varphi_e) \quad \forall \varphi_e \in V_{g_e, 0}$$

$$\tilde{w} \equiv 0 \Leftrightarrow a(\tilde{w}, \varphi) = \int_{\Omega} f \varphi dx - a(u, \varphi) \quad \forall \varphi \in H_0^{1,2}(\Omega)$$

$$\Theta \quad a(\tilde{w}_e, \varphi_e) = a(u - I_e u, \varphi_e) \quad \forall \varphi_e \in V_{g_e, 0}$$

$$\varphi_e \Rightarrow \tilde{w}_e$$

$$\|\tilde{w}_e\|_{H^1(\Omega)} \leq \frac{1}{c} a(\tilde{w}_e, \tilde{w}_e) = \frac{1}{c} a(u - I_e u, \tilde{w}_e)$$

$$\Rightarrow \|\tilde{w}_e\|_{H^{1/2}(\Sigma)}^2 \leq \frac{C}{c} \|u - I_e u\|_{H^{1/2}(\Sigma)} \|\tilde{w}_e\|_{H^{1/2}(\Sigma)}$$

$$\Rightarrow \|\tilde{w}_e\|_{H^{1/2}(\Sigma)} \leq \frac{C}{c} \|u - I_e u\|_{H^{1/2}(\Sigma)}$$

$$\begin{aligned} \|u - u_e\|_{H^{1/2}(\Sigma)} &= \|u - I_e u - \tilde{w}_e\|_{H^{1/2}(\Sigma)} \\ &\leq \|u - I_e u\|_{H^{1/2}(\Sigma)} + \frac{C}{c} \|u - I_e u\|_{H^{1/2}(\Sigma)} \\ &\leq C h^k |u|_{H^{k+1/2}(\Sigma)} \quad \square \end{aligned}$$

3.27

Sak

(Konvergenz ohne Reguläritätsvoraussetzung)

Ω polygonal beschränkt, beschränkt, $\{J_e\}$ Familie zulässige reguläre Triangulierungen, $V_e = V_{\theta,e}$ Lagrange-FE-Raum, u Lsg zu (\tilde{E}) , u_e Lsg zu (\tilde{E}_e) , $g_e \xrightarrow{H^{1/2}(\Sigma)} g$ $u = g$ auf $\partial\Sigma$

dann gilt

$$\|u - u_e\|_{H^{1/2}(\Sigma)} \xrightarrow{h \rightarrow 0} 0$$

false $w \in H^{2,\infty}(\Sigma) \cap H_0^{1/2}(\Sigma)$ Bew

$$H^{2,\infty}(\Sigma) \hookrightarrow C^0(\bar{\Sigma}), H^{1/2}(\Sigma)$$

$$\|w - I_e w\|_{L^2(\Gamma)} \stackrel{3.25.}{\leq} C h^{2+\frac{d}{2}-1-0} |w|_{2,\infty,\Gamma}$$

zu $w \in H_0^{1/2}$, $\epsilon > 0$ wähle $w_e \in H^{2,\infty}(\Sigma) \cap H_0^{1/2}(\Sigma)$ mit $\|w - w_e\|_{L^2(\Gamma)} \leq \frac{\epsilon}{2} \leftarrow H^{2,\infty} \text{ dicht in } H^{1/2}$ und $\|w_e - I_e w_e\| \leq \frac{\epsilon}{2} \leftarrow \text{für } h \text{ klein genug}$

Nun betrachte $w = u - g$, $w_e = u_e - g_e$:

$$a(w - w_e, \varphi_e) = a(g_e - g, \varphi_e) \quad \forall \varphi_e \in V_{h,k,0}$$

$$\begin{aligned} \|w - w_e\|_{1,2}^2 &\leq \frac{1}{C} \left(a(w - w_e, w - I_e w_e) + a(w - w_e, I_e w_e - w_e) \right) \\ &\leq C \|w - w_e\|_{1,2} \|w - I_e w_e\|_{1,2} \\ &\leq \frac{C\delta}{2} \|w - w_e\|_{1,2}^2 + \frac{C}{2\delta} \|w - I_e w_e\|_{1,2}^2 \\ ab &\leq \boxed{\frac{Ca^2}{2} + \frac{1}{28} b^2} \\ &\leq C \frac{\|g_e - g\|_{1,2}^2}{28} + \frac{C\delta}{2} \left(\|w - w_e\|_{1,2}^2 + \|w - I_e w_e\|_{1,2}^2 \right) \\ &\leq 2 \|w - w_e\|_{1,2}^2 + 2 \|w - I_e w_e\|_{1,2}^2 \end{aligned}$$

$$\begin{aligned} \Rightarrow \|w - w_e\|_{1,2}^2 &\leq C \left(\|w - I_e w_e\|_{1,2}^2 + \|g - g_e\|_{1,2}^2 \right) \\ &\leq (\|w - w_e\|_{1,2} + \|w - I_e w_e\|_{1,2})^2 \xrightarrow{h \rightarrow 0} 0 \\ &\leq \epsilon^2 \end{aligned}$$

$$\Rightarrow \|u - u_e\|_{1,2} \leq \underbrace{\|w - w_e\|_{1,2}}_{\rightarrow 0} + \underbrace{\|g - g_e\|_{1,2}}_{\rightarrow 0}$$

□

Bisher: • $\|u - u_e\|_{1,2} \leq C h^k \|u\|_{k+1,2}$

• Für den Interpolationsfehler gilt also auch:

$$\|u - I_e u\|_{0,2} \leq C h^{k+\frac{1}{2}} \|u\|_{k+1,2}$$

Gilt auch $\|u - u_e\|_{0,2} \leq C h^{k+1}$?

3.28 Lemma (Aubin-Nitsche)

Vor. wie 3.26, $g = g_e = 0$, dann gilt

$$\|u - u_e\|_{0,2,\Omega} \leq C \|u - u_e\|_{1,2,\Omega} \sup_{0 \neq z \in L^2} \left(\inf_{\varphi \in H_0^{1,0}} \frac{\|\varphi_z - \varphi_e\|_{1,2,\Omega}}{\|z\|_{0,2,\Omega}} \right)$$

wobei φ_z Lösung des dualen Problems

$$a(w, \varphi_z) = (w, z) \quad \forall w \in H_0^{1,0}(\Omega)$$

Bew

$$\|u - u_e\|_{0,2,\Omega} = \sup_{\substack{b \in L^2(\Omega) \\ b \neq 0}} \frac{(u - u_e, b)}{\|b\|_{0,2,\Omega}}$$

$$= \sup_{0 \neq z \in L^2(\Omega)} \frac{a(u - u_e, \varphi_z)}{\|z\|_{0,2,\Omega}} = \sup_{0 \neq z \in L^2(\Omega)} \inf_{\substack{\varphi \in H_0^{1,0} \\ \varphi \in \mathcal{D}}} \frac{a(u - u_e, \varphi - \varphi_e)}{\|z\|_{0,2,\Omega}}$$

Orthogonalität
der Fehlern

□

3.29 Folgerung (L^2 -Fehlgeschätz)

Vor. wie 3.26, $d \leq 3$, für alle $z \in L^2(\Omega)$ sei $\varphi_z \in H^{1,0}(\Omega)$

$$\text{mit } \|\varphi_z\|_{2,2,\Omega} \leq C \|z\|_{0,2,\Omega}, \quad \|u - u_e\|_{0,2,\Omega} \leq Ch^{k+1},$$

$a_{ij} \in H^{1,\infty}(\Omega) \quad \forall i,j=1, \dots, d$, dann gilt

$$\|u - u_e\|_{0,2,\Omega} \leq Ch^{k+1} \left(\|u\|_{k+1,2,\Omega} + 1 \right)$$

Bem

Ω konvex \Rightarrow dualer Problem ist regulär,

$$\text{d.h. } \|\varphi_z\|_{2,2,\Omega} = \|z\|_{0,2,\Omega}$$

Bew

$$g = g_e = 0$$

$$d \leq 3 \Rightarrow 2 - \frac{d}{2} > 0 \Rightarrow I_e \text{ wohldf.}$$

auf $H^{1/2}(\partial)$

$$\|\varphi_k - I_e \varphi_k\|_{1,2,\infty} \stackrel{3.25}{\leq} C h |\varphi_k|_{2,2,\infty} \leq C h \|k\|_{0,2,\infty} \stackrel{2.28}{\leq}$$

$$\begin{aligned} \Rightarrow \|u - u_e\|_{0,2,\infty} &\stackrel{2.26}{\leq} C \|u - u_e\|_{1,2,\infty} h \\ &\leq C h^{k+1} |u|_{k+1,2,\infty} \end{aligned}$$

 nun zum Fall inhomogenes Randwert:

$$\tilde{w}_e := w_e + g_e - I_e u = u_e - I_e u \in V_{e,k,0}$$

$$\begin{aligned} \|\tilde{w}_e\|_{0,2}^2 &= a(\tilde{w}_e, \varphi_{\tilde{w}_e}) = a(\tilde{w}_e, \varphi_{\tilde{w}_e} - I_e \varphi_{\tilde{w}_e}) + a(\tilde{w}_e, I_e \varphi_{\tilde{w}_e}) \\ &\stackrel{\text{Bew. von } 3.26}{\leq} C \|\tilde{w}_e\|_{1,2,\infty} h \|\tilde{w}_e\|_{0,2,\infty} + \underbrace{a(u - I_e u, I_e \varphi_{\tilde{w}_e})}_{=} \circledast \end{aligned}$$

$$\begin{aligned} \circledast &= a(u - I_e u, I_e \varphi_{\tilde{w}_e} - \varphi_{\tilde{w}_e}) + a(u - I_e u, \varphi_{\tilde{w}_e}) \\ &\stackrel{\text{s.o.}}{\leq} C \|u - I_e u\|_{1,2,\infty} h \|\tilde{w}_e\|_{0,2} + \underbrace{\left| \sum_{ij} \int_{\Omega} a_{ij} \partial_i (u - I_e u) \partial_j \varphi_{\tilde{w}_e} dx \right|}_{=} \\ &= \left| \int_{\Omega} (u - I_e u) \sum_{ij} \partial_j (a_{ij} \partial_i \varphi_{\tilde{w}_e}) dx \right| \\ &+ \left| \int_{\Omega} (u - I_e u) \sum_{ij} a_{ij} \partial_i \varphi_{\tilde{w}_e} n_j da \right| \\ &\leq C \cdot \|u - I_e u\|_{0,2,\infty} \max_{ij} \|a_{ij}\|_{1,\infty,2} \|\varphi_{\tilde{w}_e}\|_{1,2,\infty} \\ &+ C \|u - I_e u\|_{0,2,\infty} \max_{ij} \|a_{ij}\|_{0,\infty,20} \|\nabla \varphi_{\tilde{w}_e}\|_{0,2,\infty} \end{aligned}$$

$$\|\nabla \varphi_{w_e}\|_{0,2,\partial\Omega} \leq \underset{\text{Spwsak}}{\|\varphi_{w_e}\|_{2,2,\Omega}} \leq C \|\tilde{w}_e\|_{0,2,\Omega} \quad (87)$$

$$\Rightarrow \|\tilde{w}_e\|_{0,2,\Omega}^2 \leq C \left[h \left(\|u - u_e\|_{1,2,\Omega} + \|u - I_e u\|_{1,2,\Omega} \right) + \|u - I_e u\|_{0,2,\Omega} + \|u - I_e u\|_{0,2,\partial\Omega} \right] \|\tilde{u}\|_{0,2,\Omega}$$

$$\leq C h^{k+1} (|u|_{k+1,2,\Omega} + 1)$$

$$\Rightarrow \|u - u_e\|_{0,2,\Omega} \leq \|u - I_e u\|_{0,2,\Omega} + \|I_e u - u_e\|_{0,2,\Omega}$$

$$\leq C h^{k+1} (|u|_{k+1,2,\Omega} + 1)$$

□

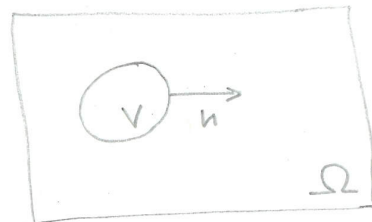
4. Numerik parabolischer Differentialgleichungen

Erinnerung (Wirkungsweise):

u Temperatur

f Quellterm

q Wärmefluss $q(x) = -k \nabla u(x)$ (Materialgesetz)



(anisotrop: $q(x) = -a(x) \nabla u(x)$ $a(x) \in \mathbb{R}^{d,d}$)

Erhaltsgesetz: $\frac{d}{dt} \int_V u dx = \int_V f dx - \int_{\partial V} q \cdot n da$

Satz von Green
⇒

$$\int_V \partial_t u - \operatorname{div} q - f dx = 0 \quad (\text{da } n \text{ in die Normale})$$

Fundamentalsatz

$$\Rightarrow \boxed{(\text{P}) \quad \partial_t u - \operatorname{div}(a(x) \nabla u(x)) = f(x) \quad \forall x \in \Omega}$$

\forall Testvolumen V

⊕ Randwerte ($\Gamma = \Gamma_D \cup \Gamma_N$, $\Gamma_D \cap \Gamma_N = \emptyset$)

$q(t,x) \cdot n(x) = g(t,x)$ auf Γ_N für $t > 0$

$u(t,x) = u_0(x)$ auf Γ_D für $t > 0$

⊕ Anfangswerte $u(0,x) = u_0(x) \quad \forall x \in \Omega$

$$\boxed{\Omega = \mathbb{R}^d}$$

(P) gesucht $u: \mathbb{R}_0^+ \times \mathbb{R}^d \rightarrow \mathbb{R}$ mit

(Cauchy-Problem) $\partial_t u - \Delta u = f$ auf $\mathbb{R}^+ \times \mathbb{R}^d$

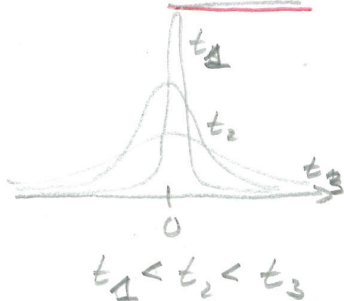
$u(0,\cdot) = u_0$ auf \mathbb{R}^d

4.1. Def (Fundamentallösung)

$F \in L^1_{loc}(\mathbb{R} \times \mathbb{R}^d)$ heißt Fundamentallösung zu (P), falls $\partial_t F - \Delta F = \delta_{(0,0)}$ im Distributionensinn.

4.2

Lemma



$$F(t,x) = \begin{cases} \frac{1}{(4\pi t)^{\frac{d}{2}}} \exp\left(-\frac{|x|^2}{4t}\right) & ; t > 0 \\ 0 & ; t \leq 0 \end{cases}$$

ist Fundamentallösung zu (P)

Bew

$$(i) \quad \partial_t F - \Delta F = 0 \quad \forall t > 0$$

$$\begin{aligned} \partial_t F(t,x) - \Delta F(t,x) &= F(t,x) \left(\left(-\frac{d}{2t} + \frac{|x|^2}{4t^2} \right) - \left(-\frac{d}{2t} + \frac{|x|^2}{4t^2} \right) \right) \\ \partial_{x_i} F = -\frac{x_i}{2t} F & \end{aligned}$$

$$= 0$$

$$(ii) \quad \int_{\mathbb{R}^d} F(t,x) dx = \frac{1}{\pi^{\frac{d}{2}}} \int_{\mathbb{R}^d} e^{-|\tilde{x}|^2} d\tilde{x} = 1$$

$\tilde{x} = -\frac{x}{2t}$

$$\det D_{x_i} \tilde{x} = \frac{1}{(2t)^d} = \frac{1}{4t^d}$$

$\int_{\mathbb{R}} e^{-x^2} dx = \sqrt{\pi}$

und

$$\lim_{t \rightarrow 0} \int_{\mathbb{R}^d \setminus B_\epsilon(0)} F(t,x) dx = 0$$

$\Rightarrow F(t, \cdot)$ ist eine Diracfolge:

$$\lim_{t \rightarrow 0} \int_{\mathbb{R}^d} F(t,x) \varphi(t,x) dx = \varphi(0,0) \quad \text{für } \varphi \in C_0^\infty(\mathbb{R} \times \mathbb{R}^d)$$

(90)

$$(iii) F \text{ lösst } \boxed{\partial_t F - \Delta F = \delta_{(0,0)}} \quad \square$$

Betrachte $\varphi \in C_0^\infty(\mathbb{R} \times \mathbb{R}^d)$:

$$\begin{aligned} \int_{\mathbb{R}^{d+1}} F(-\partial_t - \Delta) \varphi \, dx \, dt & \stackrel{!}{=} \delta_{(0,0)} \varphi := \varphi(0,0) \\ & \text{ergibt sich durch Formales} \\ & \text{Wälzen der Ableitungen} \\ & = \underbrace{\sum_{\epsilon=0}^{\infty} \int_{\mathbb{R}^d} F(-\partial_t - \Delta) \varphi \, dx \, dt}_{\leq \max_{t,x} |(-\partial_t - \Delta)\varphi|} + \underbrace{\sum_{\epsilon=0}^{\infty} \int_{\mathbb{R}^d} F(\epsilon, x) (-\partial_t - \Delta) \varphi(\epsilon, x) \, dx \, dt}_{\substack{\text{partielle} \\ \text{Integration}}} \\ & = \sum_{\epsilon=0}^{\infty} \sum_{\epsilon=0}^{\infty} (\partial_t F - \Delta F) \varphi \, dx \, dt \\ & \xrightarrow[\epsilon \rightarrow 0]{} 0 + \sum_{\epsilon=0}^{\infty} \int_{\mathbb{R}^d} F(\epsilon, x) \varphi(\epsilon, x) \, dx \\ & \xrightarrow[\epsilon \rightarrow 0]{} \varphi(0,0) \text{ siehe oben} \end{aligned}$$

$$\Rightarrow \int_{\mathbb{R} \times \mathbb{R}^d} F(-\partial_t - \Delta) \varphi \, dx \, dt = \varphi(0,0) = \delta_{(0,0)} \varphi \quad \square$$

4.3. Lemma

$$\text{Sei } f \in L^1(\mathbb{R}^+ \times \mathbb{R}^d), u_0 \in L^1(\mathbb{R}^d), \text{ dann ist}$$

$$u(t, x) = \int_{\mathbb{R}^d} F(t, x-y) u_0(y) \, dy + \int_0^t \int_{\mathbb{R}^d} F(t-s, x-y) f(s, y) \, dy \, ds$$

aus $L^1(\mathbb{R}^+ \times \mathbb{R}^d)$ und löst das Cauchy-Problem (P),
d.h. u löst (P) im Distributionensinn und

$$u(t, \cdot) \xrightarrow[t \rightarrow 0]{} u_0 \text{ in } L^1(\mathbb{R}^d).$$

Bew (i) Betrachte Diracfolge φ_ϵ ($t \rightarrow 0$)

$$\left\| \left(\sum_0^t \int_{\mathbb{R}^d} \varphi_\epsilon * f \, dy \, dt \right)(x) \right\|_1 \leq \sum_0^t \|f(t, \cdot)\|_{1, \mathbb{R}^d} \leq \|f\|_{1, \mathbb{R}^+ \times \mathbb{R}^d}$$

$$\Rightarrow \text{Für } u_0 = 0, f \in L^1: \|u(t, \cdot)\|_{1, \mathbb{R}^d} \leq \|f\|_{1, \mathbb{R}^+ \times \mathbb{R}^d}$$

$$\text{Für } u_0 \in L^1, f = 0: \|u(t, \cdot)\|_{1, \mathbb{R}^d} \leq \|u_0\|_{1, \mathbb{R}^d} \text{ (analoges Argument)}$$

(ii) z.z. u löst (P) im Distributionensinn:

$$\begin{aligned} & \varphi \in C_0^\infty(\mathbb{R}^+ \times \mathbb{R}^d) \quad \sum_{\mathbb{R}^+} \sum_{\mathbb{R}^d} u(t, x) (-\partial_t \varphi - \Delta_x \varphi) \, dx \, dt \\ &= \sum_{\mathbb{R}^+} \sum_{\mathbb{R}^d} \left(\sum_{\mathbb{R}^d} F(t, x-y) u_0(y) \, dy \right) \underbrace{(-\partial_t \varphi - \Delta_x \varphi)}_{\text{partielle Int.}} \, dx \, dt \\ & \quad + \sum_{\mathbb{R}^+} \sum_{\mathbb{R}^d} \left(\sum_0^t \sum_{\mathbb{R}^d} F(t-s, x-y) f(s, y) \, dy \, ds \right) \underbrace{(-\partial_t \varphi - \Delta_x \varphi)}_{\text{partielle Integration}} \, dx \, dt \\ &= 0 + \sum_{\mathbb{R}^+} \sum_{\mathbb{R}^d} \lim_{s \rightarrow t} \underbrace{\sum_{\mathbb{R}^d} F(t-s, x-y) f(s, y) \, dy}_{= f(t, x)} \varphi(t, x) \, dx \, dt \\ &= \sum_{\mathbb{R}^+} \sum_{\mathbb{R}^d} f(t, x) \varphi(t, x) \, dx \, dt \quad \Rightarrow \text{Beh (v)} \end{aligned}$$

(iii) Anfangswerte

$$\|u(t, \cdot) - u_0\|_{1, \mathbb{R}^d} \leq \underbrace{\left\| \sum_0^t \sum_{\mathbb{R}^d} F(t-s, \cdot-y) f(s, y) \, dy \, ds \right\|_{1, \mathbb{R}^d}}_{\epsilon \rightarrow 0} + \| \sum_{\mathbb{R}^d} F(t, y) \| u_0(\cdot-y) - u_0 \|_{1, \mathbb{R}^d}$$

$$0 \leftarrow \begin{cases} t \rightarrow 0 \\ \epsilon \rightarrow 0 \end{cases}$$

$$\underbrace{\| \sum_{\mathbb{R}^d} F(t, y) \| u_0(\cdot-y) - u_0 \|_{1, \mathbb{R}^d}}_{\substack{\text{Fallunterschreit.} \\ \text{Fallunterschreit.}}} \xrightarrow[y \rightarrow 0]{} 0 \quad \epsilon \rightarrow 0$$

(92)

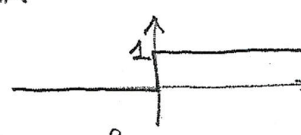
$$\Rightarrow u(t_1, \cdot) \xrightarrow{L^4(\mathbb{R}^d)} u_0 \quad \square$$

4.4. Bem (Glättungseigenschaften für $t > 0$)

$\boxed{d=1}$ $\partial_t u - \partial_x^2 u = 0 \quad \text{in } \mathbb{R}^+ \times \mathbb{R}$
 $u(0, \cdot) = u_0 \quad \text{auf } \mathbb{R}$

$\rightsquigarrow u$ glatt für $t > 0$, selbst wenn u_0 unstetig:

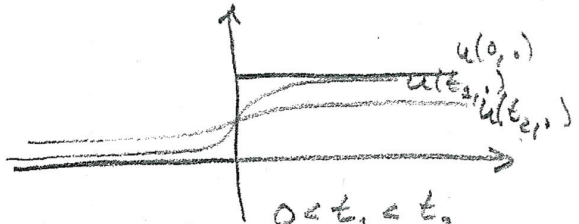
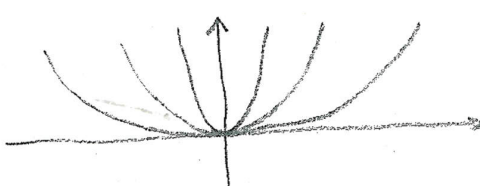
$$\partial_x^k u(t, x) = \frac{1}{\sqrt{4\pi t}} \int_{\mathbb{R}} \partial_x^k \left(e^{-\frac{(x-y)^2}{4t}} \right) u_0(y) dy$$

Bsp $u_0 = \chi_{[x>0]}$ 

$$u(t, x) = \frac{1}{\sqrt{4\pi t}} \int_{\mathbb{R}^+} e^{-\frac{(x-y)^2}{4t}} dy = \frac{1}{\sqrt{\pi t}} \int_{-\frac{x}{2\sqrt{t}}}^{\infty} e^{-\tilde{y}^2} d\tilde{y}$$

$$= \Theta\left(\frac{x}{\sqrt{t}}\right)$$

$$\Rightarrow u(t, x) = \text{konst} \Leftrightarrow \frac{x}{\sqrt{t}} = 1 \Leftrightarrow t = \frac{x^2}{2}$$



\Leftarrow unendliche Ausbreitungsgeschwindigkeit!

Nun zur Darstellung der Lösung parabolischer Anfangswertprobleme:

(W2) Gewöhnliche Differentialgleichungen:

$$\dot{u} + Au = 0 \quad \text{in } \mathbb{R}^+$$

$$u(0) = u_0$$

mit $u: \mathbb{R}_0^+ \rightarrow \mathbb{R}^N$
 $A \in \mathbb{R}^{N,N}$ pos. def., symm.

$\lambda_1, \dots, \lambda_N$ Eigenwerte zu

ON-System von Eigenvektoren

u^1, \dots, u^N

$$\underline{\text{Ansatz: }} u = \sum_{i=1}^N w_i(t) u^i$$

$$\sum_{i=1}^N (\dot{w}_i(t) + \lambda_i w_i(t)) u^i = 0 \Leftrightarrow \dot{w}_i(t) = -\lambda_i w_i \quad \rightarrow w_i(t) = e^{-\lambda_i t} w_i(0) = u_0 \cdot u^i$$

$$\Rightarrow u(t) = \sum_{i=1}^N e^{-\lambda_i t} (u_0 \cdot u^i) u^i$$

Übertragung auf parabolische Probleme:

$$u: \mathbb{R}^+ \rightarrow L^2(\Omega) \quad \dot{u}(t) + Au(t) = 0 \quad \text{auf } \mathbb{R}^+$$

$$u(0) = u_0 \in L^2(\Omega)$$

⊕ Randbedingung $u(t, \cdot)|_{\partial\Omega} = 0 \quad \forall t > 0$

mit $Au = - \sum_{i,j} \partial_{x_j} (a_{ij} \partial_{x_i} u)$ (elliptische Operator)

z.B. $Au = -\Delta u$

Pb A nicht definiert auf allgemeinen L^2 -Funktionen

4.5. Satz (ON-System aus Eigenfunktionen)

$\Omega \subset \mathbb{R}^d$ beschränktes Gebiet, $\partial\Omega$ Lipschitz,

$A : H_0^{1,2}(\Omega) \rightarrow H^{-1,2}(\Omega)$ mit

$$\langle Au, \varphi \rangle := \sum_{i,j} \int_{\Omega} a_{ij} \partial_j u \partial_i \varphi dx$$

$$a_{ij} = a_{ji}, \sum_{i,j} a_{ij} \bar{\xi}_j \xi_i \geq c_0 \| \xi \|^2, c_0 > 0, a_{ij} \in L^\infty(\Omega),$$

dann gibt es eine Folge $(\lambda_i)_{i \geq 1}, 0 < \lambda_1 \leq \lambda_2 \leq \dots$,

$\lambda_i \xrightarrow{i \rightarrow \infty} \infty$ und Funktionen $u^i \in H_0^{1,2}(\Omega)$ mit

$$Au^i = \lambda_i u^i \quad (\langle Au^i, \varphi \rangle = \lambda_i \langle \varphi, u^i \rangle_{L^2(\Omega)}),$$

$\{u^i\}_{i \geq 1}$ ist vollständiges ON-System auf $L^2(\Omega)$, d.h.

$$(u^i, u^j)_{L^2} = \delta_{ij}, w = \sum_{i=1}^{\infty} (w, u^i) u^i \quad \forall w \in L^2(\Omega),$$

$$a_{ij} \in C(\overline{\Omega}) \Rightarrow u^i \in C^\infty(\Omega) \quad (\partial \Omega \in C^2 \Rightarrow u^i \in C^2(\overline{\Omega}))$$

Beweis-Skizze:

(i) Ansatz Rayleigh-Quotienten (vgl. ALMA II)

$$a(u, v) = \sum_{i,j} \int_{\Omega} a_{ij} \partial_j u \partial_i v dx$$

Beh: $\lambda_1 = \inf_{\substack{u \in H_0^{1,2}(\Omega) \\ \|u\|_{H_0^{1,2}} = 1}} a(u, u) > 0$ und wird angenommen für $u^1 \in H_0^{1,2}(\Omega)$

hierzu: $(v_j)_{j \geq 1}$ Minimalfolge, d.h. $\|v_j\|_{L^2(\Omega)} = 1$

und $a(v_j, v_j) \xrightarrow{j \rightarrow \infty} \lambda_1$

Poncaré

$$\Rightarrow \|v_j\|_{H_0^{1,2}} \leq C$$

Bem im \mathbb{R}^N gäbe es jetzt eine konvergente Teilfolge die gegen ein u^1 konvergiert!

hier kann man nur zeigen, dass es eine schwach konvergente Teilfolge gibt, d.h.

$$\{v_{j(k)}\}_{k=1}^{\infty} \text{ mit } \begin{matrix} <\varphi, v_{j(k)}> \\ H^{-1/2}, H_0^{1/2} \end{matrix} \longrightarrow \begin{matrix} <\varphi, u^1> \\ H^{-1/2}, H_0^{1/2} \end{matrix}$$

dann kann man zeigen (Satz von Rellich), dass

$$\|v_{j(k)} - u^1\|_{0,2} \xrightarrow{k \rightarrow \infty} 0, \text{ insbesondere } \|u^1\|_{0,2} = 1$$

(ii) z.B. $a(u^1, u^1) = \lambda_1$ (Unethalbarkeit)

$$0 \leq a(v_{j(k)} - u^1, v_{j(k)} - u^1) = \underbrace{a(v_{j(k)}, v_{j(k)})}_{\lambda_1} - 2\underbrace{a(v_{j(k)}, u^1)}_{\rightarrow 0} + \underbrace{a(u^1, u^1)}_{2a(u^1, u^1)}$$

$$\Rightarrow \lambda_1 \geq a(u^1, u^1) \rightarrow \lambda_1 = \inf(-) \quad a(u^1, u^1) = \lambda_1$$

(iii)

$$\lambda_j = \inf_{u \in V^j} a(u, u), \quad V^j = \{u \in H_0^{1/2}(\Omega) \mid (u, u^i) = 0 \forall i \leq j\}$$

$$\|u\|_{0,2} = 1 \quad (V^0 = H_0^{1/2}(\Omega))$$

V^j abgeschlossen in $H_0^{1/2}$ bzgl. schwacher Konvergenz

$\Rightarrow \exists u^j$ mit $\lambda_j = a(u^j, u^j)$

$$\|u^j\|_{0,2} = 1$$

$$(u^j, u^i) = 0 \quad \forall i < j$$

ferner: $V^j \subseteq V^k \rightarrow \lambda_j \geq \lambda_k$

(iv) z.B. $\lambda_j \downarrow \infty$

Annahme: $\lambda_j \leq C \Rightarrow \|u^j\|_{0,2}^2 \leq \frac{1}{C} a(u^j, u^j) = \frac{1}{C} \lambda_j (u^j, u^j)$

$$\leq \frac{C}{C_0}$$

\Rightarrow Es gibt Teilfolge $(u^{\delta(k)})_{k \geq 1}$ mit $\varphi, u^{\delta(k)} \xrightarrow[k \rightarrow \infty]{\delta \rightarrow 0} (\varphi, u^\infty)$

$$\Rightarrow \|u^{\delta(k)} - u^\infty\|_{L^2(\Omega)} \xrightarrow[k \rightarrow \infty]{} 0 \Rightarrow \|u^\infty\|_{0,2} = 1$$

Satz von Rellich

$$\Rightarrow 0 = (u^{\delta(k)}, u^{\delta(k+1)}) \xrightarrow{j \rightarrow \infty} (u^\infty, u^\infty) = 1 \quad \checkmark$$

(v) Eigenwerteigenschaft

$$a(u^\delta + \epsilon \varphi, u^\delta + \epsilon \varphi)$$

$$\|u^\delta + \epsilon \varphi\|_{0,2}^2$$

für $\varphi \in \mathcal{V}^\delta$ minimal für $\epsilon = 0 \Rightarrow$

$$0 = \frac{d}{d\epsilon} \left(\dots \right) \Big|_{\epsilon=0} = \underbrace{2 a(u^\delta, \varphi) \|u^\delta\|_{0,2}^2}_{1} - \underbrace{2 a(u^\delta, u^\delta) (u^\delta, \varphi)_{0,2}}_{= 2 \delta}$$

$$\Rightarrow a(u^\delta, \varphi) = \lambda_j(u^\delta, \varphi)_{0,2} \quad \forall \varphi \in \mathcal{V}^\delta \quad \text{(*)}$$

$$\varphi = \sum_{i=1}^{\delta-1} (4, u^i) u^i$$

$$a(u^\delta, \varphi) = \sum_{i=1}^{\delta-1} (4, u^i) a(u^\delta, u^i)$$

$$\text{Span}\{u^\delta, -u^{\delta-1}\} \subset (\mathcal{V}^\delta)^\perp$$

$$= \sum_{i=1}^{\delta-1} (4, u^i) \lambda_i (u^\delta, u^i)_{0,2} = 0 = \lambda_j(u^\delta, \varphi)$$

$$\Rightarrow (*) \text{ gilt für alle } \varphi \in H_0^{1,2}(\Omega) \Rightarrow \boxed{A u^\delta = \lambda_j u^\delta!}$$

(vi) Vollständigkeit

$$v \in H_0^{1,2}(\Omega) \quad v^m = \sum_{j=1}^m (v, u^j)_{0,2} u^j$$

$$\Rightarrow (v - v^m, u^i) = 0 \quad \forall i \leq m \Rightarrow v - v^m \in \mathcal{V}^{m+1}$$

$$\Rightarrow \|v - v^m\|_{0,2}^2 \lambda_{m+1} \leq a(v - v^m, v - v^m)$$

$$= a(v, v) + \sum_{j,k=1}^m (v, u^j) (v, u^k) \underbrace{a(u^j, u^k)}_{\lambda_j \delta_{jj}}$$

$$- 2 \sum_{j=1}^m (v, u^j) \underbrace{a(v, u^j)}_{\lambda_j} = \lambda_j (v, u^j)$$

Diskretes Pendant zu 4,5:

$$A_e : \underbrace{V_{h,0}}_{\text{FE-Raum (mit Nullrandwerten)}} \rightarrow (\mathbb{V}_{h,0})'$$

mit Nullrandwerten

$$\langle A_e u_e, \varphi_e \rangle = a(u_e, \varphi_e) = \int \sum_{i,j} a_{ij} \partial_i u_e \partial_j \varphi_e dx$$

$(\lambda_i^h)_{i=1,-m}$ Eigenwerte, u_e^i Eigenfunktionen

$(u_e^i)_{i=1,-m}$ ON-System auf $V_{h,0}$

Matrix-Formulierung: $A = (a(\varphi_e^i, \varphi_e^j))_{i,j=1,-m}$

(97)

$$= a(v, \omega) - \sum_{j=1}^m \lambda_j (\omega, u_j)^2 = a(v, \omega) \leq C \|v\|_{1,2}^2$$

$$\Rightarrow \|v - v^m\|_{1,2}^2 \leq \frac{C}{\lambda_{m+1}} \|v\|_{1,2}^2 \xrightarrow[m \rightarrow \infty]{} 0 \Rightarrow (\omega_j), \text{ dicht in } H_0^{1,2}(\Omega)$$

\Rightarrow damit auch dicht in $L^2(\Omega)$

(iii) Regelmäßigkeit (hier ohne Beweis)

□

4.6. Def (Parabolisches Anfangswertproblem)

Ω beschränkt gegeben, $\partial\Omega$ Lipschitz, $u_0 \in L^2(\Omega)$, $f \in L_{loc}^1([0, \infty), L^2(\Omega))$, gesucht $u: [0, \infty) \rightarrow L^2(\Omega)$; $t \mapsto u(t, \cdot)$, so dass

$$\partial_t u + Au = f \quad \forall t > 0 \quad (\mathcal{P})$$

$$u(t)|_{\partial\Omega} = 0 \quad \forall t > 0$$

$$u(0, \cdot) = u_0$$

4.7. Def (Evolutionsooperator)

$$E: \mathbb{R}_0^+ \rightarrow L(L^2(\Omega), L^2(\Omega))$$

$$E(t)u = \sum_{j=1}^m e^{-\lambda_j t} (u, u_j)_{L^2} u_j \quad (*)$$

Bem $E(t+s) = E(t)E(s) \quad \forall t, s \in \mathbb{R}_0^+$

4.8. Satz (Existenz und Darstellung von Lösungen)

$$u(t, \cdot) = E(t)u_0 + \int_0^t E(t-s)f(s)ds \text{ löst } (\mathcal{P}) \text{ im}$$

Distributionensinn, $u \in C^0([0, \infty), L^2(\Omega))$, falls $f = 0$

gilt $u \in C^1((0, \infty), L^2(\Omega))$, $Au \in C^0((0, \infty), L^2(\Omega))$

Bew

$$\boxed{\Omega = \mathbb{R}^d \quad (\mathcal{E}(t) u_0)(x) = \int_{\mathbb{R}^d} f(t, x-y) u_0(x-y) dy}$$

$f \equiv 0$

Bew: $\boxed{f \equiv 0}$

Die Reihe (*) kann man differenzieren für $t > 0$, da alle Ableit. majorisiert sind durch $C \sum_{j=1}^m (u_0, u_j)_{L^2} u_j$

\Rightarrow

$$\mathcal{E}^m(t) u_0 = \sum_{j=1}^m e^{-\lambda_j t} (u_0, u_j) u_j \xrightarrow[L^2]{\text{gl.m. int}} \mathcal{E}(t) u_0 \quad \forall t > 0$$

$$A \mathcal{E}^m(t) u_0 = \sum_{j=1}^m \lambda_j e^{-\lambda_j t} (u_0, u_j) u_j \xrightarrow[L^2]{\text{gl.m. int}} A \mathcal{E}(t) u_0$$

$$\partial_t \mathcal{E}^m(t) u_0 = \sum_{j=1}^m -\lambda_j e^{-\lambda_j t} (u_0, u_j) u_j \xrightarrow[L^2]{\text{gl.m. int}} \partial_t \mathcal{E}(t) u_0$$

$$\Rightarrow \boxed{\partial_t u(t, \cdot) + Au(t, \cdot) = 0 \quad \forall t > 0}$$

$$\boxed{\text{Bew 4.5 (v.i.)}} \Rightarrow \mathcal{E}^m(0) u_0 \rightarrow \mathcal{E}(0) u_0 = u_0$$

Insbesonders: $u \in C^0([0, \infty), L^2(\Omega)) \cap C^1((0, \infty), L^2(\Omega))$,
 $Au \in C^0((0, \infty), L^2(\Omega))$

$\boxed{f \neq 0}$ formal (Variation der Konstanten):

$$u = u^H + u^I \quad \text{mit} \quad \partial_t u^H + Au^H = 0 \quad \left. \begin{array}{l} u^H(t) = \mathcal{E}(t) u_0 \\ u^H(0) = u_0 \end{array} \right\} \quad \text{(s.o.)}$$

$$\begin{aligned} \partial_t u^I + Au^I &= f \\ u^I(0) &= 0 \end{aligned}$$

$$\text{Ansatz: } u^I = E(t) w(t) \quad w(0) = 0 \quad \rightsquigarrow$$

$$\partial_t u^I = -A \underbrace{E(t) w(t)}_{=u^I(t)} + E(t) \partial_t w(t) \quad \rightsquigarrow$$

$$\partial_t u^I(t) + A u^I(t) = E(t) \partial_t w(t) = f(t) \quad \rightsquigarrow$$

$$\underbrace{E(t-s) E(s)}_{E(t)} \partial_s w(s) = E(t-s) f(s) \quad \rightsquigarrow$$

$$E(t) w(t) = E(t) \sum_0^t \partial_s w(s) ds = \int_0^t E(t-s) f(s) ds \quad \rightsquigarrow$$

$$u(t) = E(t) u_0 + \int_0^t E(t-s) f(s) ds$$

nun zum Beweis: Approximiere f mit Treppenfunktionen f_T in der Zeit

$$\|E(t) w\|_{0,2} \stackrel{\substack{\uparrow \\ t \geq 0}}{\leq} \|w\|_{0,2} \Rightarrow$$

$$\|u(t_2) - u(t_1)\|_{0,2} \stackrel{\substack{\uparrow \\ t_2 > t_1}}{\leq} \underbrace{\|(E(t_2) - E(t_1)) u_0\|_{0,2}}_{\substack{\longrightarrow 0 \\ t_2 - t_1 \rightarrow 0}} + \underbrace{\int_0^{t_2} \|(E(t_2-s) - E(t_1-s)) f_T(s)\|_{0,2} ds}_{\substack{\longrightarrow 0 \\ t_2 - t_1 \rightarrow 0}} \quad \text{da } f_T \text{ Treppenfunktion}$$

$$+ \underbrace{\int_{t_1}^{t_2} \|E(t_2-s) f_T(s)\|_{0,2} ds}_{\substack{\longrightarrow 0 \\ t_2 - t_1 \rightarrow 0}}$$

$$+ \underbrace{\int_0^{t_2} \|E(t_2-s) (f - f_T)(s)\|_{0,2} ds}_{\substack{\longrightarrow 0 \\ \tau \rightarrow 0}} \leq \|f - f_T\|_{0,2}$$

$$+ \underbrace{\int_0^{t_2} \|E(t_2-s) (f - f_T)(s)\|_{0,2} ds}_{\substack{\longrightarrow 0 \\ \tau \rightarrow 0}}$$

$$\Rightarrow u \in C^0([0, \infty), L^2(\Omega))$$

2.2. u Lsg im Distributionensinn:

$$\varphi \in C_0^\infty(\mathbb{R}^+ \times \Omega)$$

$$\begin{aligned}
 & \int_0^\infty \int_{\Omega} (E(t)u_0 + \int_0^t E(t-s)f(s)ds)(x) \underbrace{(-\partial_t \varphi + A\varphi)}_{\text{part. Int.}} dx dt \\
 &= \int_0^\infty \int_{\Omega} (\underbrace{\partial_t + A}_{=0} E(t)u_0) dx dt + \int_0^\infty \int_{\Omega} \int_0^{t-\epsilon} E(t-s)f(s) (-\partial_t \varphi + A\varphi) ds dx dt \\
 &\quad + \int_0^\infty \int_{\Omega} \int_{t-\epsilon}^t E(t-s)f(s) (-\partial_t \varphi + A\varphi) ds dx dt \quad \xrightarrow{\text{Fubini}}
 \end{aligned}$$

↓ Leibniz - Formel

$$\begin{aligned}
 &= 0 + \int_0^\infty \int_{\Omega} E(\epsilon) f(t-\epsilon) \varphi(t) dx dt \\
 &= E(\epsilon) \underbrace{(f(t-\epsilon) - f(\epsilon))}_{\substack{\epsilon \rightarrow 0 \\ f \in L_{loc}^1(\Omega)}} + \underbrace{E(\epsilon) f(t)}_{\substack{\epsilon \rightarrow 0 \\ \rightarrow f(t)}}
 \end{aligned}$$

$$\begin{aligned}
 &= \int_0^\infty \int_{\Omega} f(t) \varphi(t) dx dt
 \end{aligned}$$

da $\int_{t-\epsilon}^t \|f(s)\|_{L^1(\Omega)} ds \rightarrow 0$

Annahme der Anfangsdaten: $E(\cdot)$ stetig (s.o.) und $f \in L_{loc}^1(L^2)$ (s.o.)

Beobachtung: $A^k E(t) u = \sum_{j=1}^{\infty} \lambda_j^k e^{-\lambda_j t} (u_0, u_j) u_j$ \square

$$\begin{aligned}
 &\leq C(\epsilon) \quad \forall t > \epsilon \\
 \Rightarrow \|A^k E(t) u\|_{L^2(\Omega)} &\leq C(\epsilon)
 \end{aligned}$$

Nun betrachten wir Finite-Elemente-Vorabinformation:

Ziel: Approximation von $u(t, \cdot)$ durch Funktionen

$$u_h(t, \cdot) \in \mathcal{V}_{h,0} \quad (\text{semi-discret})$$

\uparrow Bsp $\mathcal{V}_{h,0}$ \uparrow noch kontinuierlich im Raum

$$\text{Ansatz: } u_h(t, x) = \sum_{k=1}^m u_h^k(t) \varphi_h^k(x)$$

(P) Schwache Formulierung (Kont.):

$$(u_t, \varphi) + a(u, \varphi) = (f, \varphi) \quad \forall t > 0 \quad \forall \varphi \in C_0^\infty(\Omega)$$

$$u(0, \cdot) = u_0$$

$$\boxed{\int_{\Omega} u_t \varphi + \sum_{ij} q_{ij} \partial_i u \partial_j \varphi - f \varphi \, dx = 0}$$

(P_a) Semidiscretes Problem:

Finde $u_h: \mathbb{R}_0^+ \rightarrow \mathcal{V}_{h,0}$ mit

$$(\partial_t u_h, \varphi_h) + a(u_h, \varphi_h) = (f, \varphi_h) \quad \forall t > 0 \quad \forall \varphi_h \in \mathcal{V}_{h,0}$$

$$u_h(0, \cdot) = u_{h,0} \quad \text{Approximation von } u_0$$

Diskreter Operator: $A_h: \mathcal{V}_{h,0} \rightarrow (\mathcal{V}_{h,0})'$

$$\langle A_h u_h, \varphi_h \rangle = a(u_h, \varphi_h)$$

Matrix-Darstellung:

$$\sum_{k=1}^m u_h^k \underbrace{(\varphi_h^k, \varphi_h^i)}_{M_h^{ik}} + \underbrace{u_h^k a(\varphi_h^k, \varphi_h^i)}_{\sum_{k=1}^m A_h^{ik} u_h^k} = \underbrace{(f, \varphi_h^i)}_{F_h^i}$$

Mass-Matrix $\sum_{k=1}^m \square$ Stiffigkeitsmatrix

$$\Leftrightarrow \boxed{M_e \dot{u}_e + A_e u_e = f_e}$$

$$u_e = (u_e^k)_{k=1,-m}^t, \quad f_e = (f_e^i)_{i=1,-m}^t$$

$$\Leftrightarrow \underbrace{\dot{u}_e - (-M_e^{-1} A_e) u_e}_{=: L_e \text{ (diskretes Pendant zu } \Delta)} = M_e^{-1} f_e$$

Me pos. def.
symm.

$$\xrightarrow{\text{Kap 1}} u_e(t) = e^{-L_e t} u_e(0) + \int_0^t e^{-L_e(t-s)} M_e^{-1} f_e(s) ds$$

nächste Sößt: Zitdiskretisierung dieses gewöhnlichen Dgl. systems

abz zunächst: Semi-Diskrete Fehlenschätzungen

4.9. Lemma (äquivalente Normen)

$\overset{\circ}{H}^s(\Omega)$ ist definiert als Unterraum von $L^2(\Omega)$ mit

$$\|u\|_{\overset{\circ}{H}^s(\Omega)} := \left(\sum_{i=1}^{\infty} \lambda_i^s (\varphi, u^i)_{L^2(\Omega)}^2 \right)^{\frac{1}{2}} < \infty, \text{ dann}$$

gilt für $s \in \mathbb{N}_0$, $\partial\Omega$ glatt

$$\overset{\circ}{H}^s(\Omega) = \left\{ \varphi \in H^s(\Omega) \mid A^j \varphi = 0 \quad \forall j < \frac{s}{2} \right\}$$

und $\|\cdot\|_{\overset{\circ}{H}^s}$, $\|\cdot\|_{H^s}$ sind äquivalente Normen auf $\overset{\circ}{H}^s(\Omega)$.

Bew Bezeichnen wir $\{\cdot\}$ als $\overset{\circ}{H}^s$

$$\overset{\circ}{H}^s \subsetneq \overset{\circ}{H}^s$$

$$s = 2k+i \quad i \in \{0, 1\}$$

Später gezeigt

$$\|\varphi\|_{\overset{\circ}{H}^{2k+i}}^2 = \sum_{j=1}^{\infty} \lambda_j^{2k+i} (\varphi, u^j)^2 = \sum_{j=1}^{\infty} \lambda_j^i (\varphi, A^k u^j)^2$$

zunächst C^∞

$$\overline{\int} \sum_{j=1}^{\infty} \lambda_j^k (A\psi, u\varphi)^2 = \sum_{j=1}^{\infty} (A^k \psi, u\varphi) (A^{k+j} \psi, u\varphi)$$

Randwerte

$$\begin{aligned} \int_{\Omega} w A u^k &= \int_{\Omega} a_{ij} \partial_i w \partial_j u^k dx \\ w|_{\partial\Omega} &= 0 \\ \int_{\Omega} u^k |_{\partial\Omega} &= 0 \end{aligned}$$

$$= \sum_{j=1}^{\infty} (A^k \psi, A^{k+j} \psi)$$

$$\begin{aligned} \lambda_j(w, u\varphi) &= \\ a(w, u\varphi) &= (Aw, u\varphi) \end{aligned}$$

Possuelsche Identität

$$(w, \psi)_{L^2} = \sum_{j=1}^{\infty} (w, u\varphi) (\psi, u\varphi)$$

$$\left. \begin{aligned} i=1 \\ i=0 \end{aligned} \right\} = a(A^k \psi, A^k \psi) \leq C \|A^k \psi\|_{1,2,\Omega}^2 = C \|\psi\|_{2,2k+1, \Omega}^2$$

$$= \|A^k \psi\|_{0,2,\Omega}^2 \leq C \|\psi\|_{2,2k, \Omega}^2$$

C^∞ dicht in $H^{2k+1} \rightarrow$ Bsp

$$H^s \subset H^m$$

ellipt. Regularitätstheorie \Rightarrow

$$\left. \begin{aligned} Aw = f \quad \text{in } \Omega \\ w = 0 \quad \text{auf } \partial\Omega \end{aligned} \right\} = \|w\|_{m,2,\Omega} \leq C \|f\|_{m-2,2,\Omega}$$

(Idee)

$$\|\psi\|_{2k+1,2,\Omega} \leq C \|A^k \psi\|_{1,2,\Omega}$$

Ferner:

$$\|A^k \psi\|_{1,2,\Omega}^2 = \|A^k \sum_{j=1}^{\infty} (v, u\varphi) u\varphi\|_{1,2,\Omega}^2$$

$$= \left\| \sum_{j=1}^{\infty} \lambda_j^k (v, u\varphi) u\varphi \right\|_{1,2,\Omega}^2$$

$$\boxed{i=0} \quad \sum_{j=1}^{\infty} \lambda_j^{2k} (v, u\varphi)^2 = \|\psi\|_{H^{2k}(\Omega)}^2$$

$$\boxed{i=1} \quad \frac{1}{C_0} a \left(\sum_j \lambda_j^k (v, u\varphi) u\varphi, \sum_j \lambda_j^k (v, u\varphi) u\varphi \right) = \frac{1}{C_0} \|\psi\|_{H^{2k+1}}^2$$

4.10. Satz (Gütekennenschaft von $E(t)$)

Für $v \in L^2(\Omega)$, $t > 0$: $E(t)v \in \dot{H}^s(\Omega) \quad \forall s \geq 0$.

Für $0 \leq e \leq s$ und $v \in \dot{H}^e(\Omega)$ gilt:

$$\|E(t)v\|_{\dot{H}^e(\Omega)} \leq C t^{-\frac{1}{2}(s-e)} \|v\|_{\dot{H}^e(\Omega)} \quad \forall t > 0$$

Bew

$$\|E(t)v\|_{\dot{H}^s(\Omega)} = \sum_{j=1}^{\infty} \lambda_j^s e^{-2\lambda_j t} (v, u_j)^2$$

$$= \sum_{j=1}^{\infty} (\epsilon \lambda_j)^{s-e} \epsilon^{e-s} \lambda_j^e e^{-2\lambda_j t} (v, u_j)^2$$

$$\epsilon^{s-e} e^{-2t} \leq C(s, e)$$

$$\leq C(s, e) \epsilon^{e-s} \sum_{j=1}^{\infty} \lambda_j^e (v, u_j)^2 = C(s, e) t^{e-s} \|v\|_{\dot{H}^e(\Omega)}^2$$

□

Ein wichtiges Hilfsmittel:

Ritzprojektion $R_\epsilon: \dot{H}_0^{1,2}(\Omega) \rightarrow V_{\epsilon,0}$ mit

$$a(R_\epsilon u - u, \varphi_\epsilon) = 0 \quad \forall \varphi \in V_{\epsilon,0}$$

Existenz: ✓ da $a(\cdot, \cdot)$ Skalarprodukt

$$\|R_\epsilon u - u\|_{1,2,\Omega} \leq ?$$

$$\begin{aligned} \|R_\epsilon u - u\|_{1,2,\Omega}^2 &\leq \frac{1}{c_0} a(R_\epsilon u - u, R_\epsilon u - u) \\ &\leq \frac{1}{c_0} \inf_{v \in V_{\epsilon,0}} a(R_\epsilon u - u, v - u) \Rightarrow \\ &\text{Orthogonalität} \end{aligned}$$

$$\|R_\epsilon u - u\|_{1,2,\Omega} \leq \frac{C}{c_0} \inf_{v \in V_{\epsilon,0}} \|v - u\|_{1,2,\Omega} \leq \frac{C}{c_0} \|I_\epsilon u - u\|_1$$

$$\|R_{\mathcal{E}} u - u\|_{0,2,\Omega}^2 = a(R_{\mathcal{E}} u - u, \varphi_{R_{\mathcal{E}} u - u}) \xrightarrow{\text{duale Lsg}} \\ = a(R_{\mathcal{E}} u - u, \varphi_{R_{\mathcal{E}} u - u} - v_{\mathcal{E}}) \Rightarrow \\ \text{orthogonalit\"at} \\ \|R_{\mathcal{E}} u - u\|_{0,2,\Omega}^2 \leq C \|R_{\mathcal{E}} u - u\|_{1,2,\Omega} \|v_{\mathcal{E}} - I_{\mathcal{E}} \varphi_{R_{\mathcal{E}} u - u}\|_{1,2,\Omega} \\ \text{falls } \Omega \text{ konvex oder } \partial \Omega \text{ glatt} \\ \leq C h \|\varphi_{R_{\mathcal{E}} u - u}\|_{2,2,\Omega} \\ \leq C h \|R_{\mathcal{E}} u - u\|_{0,2,\Omega}$$

$$\Rightarrow \|R_{\mathcal{E}} u - u\|_{0,2,\Omega} + h \|R_{\mathcal{E}} u - u\|_{1,2,\Omega} \leq C h^{k+1} \|u\|_{k+1,2,\Omega} \\ \text{falls } \Omega \text{ konvex oder } \partial \Omega \text{ glatt}$$

4.10. Satz (Semi-discrete L^2 -Fehlgesch\"aften)

Ω konvex, $u, v_{\mathcal{E}}$ Lsg'n von (\tilde{P}) bzw. $(\tilde{P}_{\mathcal{E}})$

$u_0 \in H^s(\Omega)$, $\partial_t u \in L^2_{loc}((0, \infty), H^s(\Omega))$, dann gilt

$$\|u_{\mathcal{E}}(t) - u(t)\|_{0,2} \leq \|u_{\mathcal{E},0} - u_0\|_{0,2} + Ch^s \left(\|u_0\|_{s,2} + \int_0^t \|u_{\mathcal{E}}(s)\|_{s,2} ds \right)$$

Bem: Falls $u_{\mathcal{E},0} = I_{\mathcal{E}} u_0$, $H^s \hookrightarrow C^0 \rightarrow$

$$\|u_{\mathcal{E},0} - u_0\|_{0,2} \leq Ch^s \|u_0\|_{s,2}$$

Bew $u_{\mathcal{E}} - u = \underbrace{(u_{\mathcal{E}} - R_{\mathcal{E}} u)}_{=: \theta} + \underbrace{(R_{\mathcal{E}} u - u)}_{=: g}$

(diskr. Fkt.) (nuv' Ortsdiskr.-Fehl.)

$$(i) \|g\|_{0,2} \leq C h^s \|u(t)\|_{s,2} \\ = C h^s \left(\|u_0(t)\|_{s,2} + \int_0^t \|\partial_t u(s)\|_{s,2} ds \right) \\ \leq C h^s \|u_0\|_{s,2} + \int_0^t \|u_{\mathcal{E}}(s)\|_{s,2} ds$$

$$\begin{aligned}
 (ii) \quad (\partial_t \Theta, \varphi_e) + \alpha(\Theta, \varphi_e) &= (\partial_t u_e, \varphi_e) + \alpha(u_e, \varphi_e) - \\
 &\quad (\partial_t R_e u, \varphi_e) + \alpha(R_e u, \varphi_e) \\
 &= (f, \varphi_e) - (\partial_t R_e u, \varphi_e) - \alpha(u, \varphi_e) \\
 &= (\partial_t u - \partial_t R_e u, \varphi_e) = (\partial_t s, \varphi_e)
 \end{aligned}$$

$$\varphi_e = \Theta$$

$$\Rightarrow (\partial_t \Theta, \Theta) + \alpha(\Theta, \Theta) = (\partial_t s, \Theta)$$

$$\begin{aligned}
 \Rightarrow \frac{1}{2} \underbrace{\partial_t \| \Theta \|_{0,2}^2}_{\leq 2 \partial_t \| \Theta \|_{0,2}} + \alpha(\Theta, \Theta) &\leq \| \partial_t s \|_{0,2} \| \Theta \|_{0,2} \\
 &\leq 2 \partial_t \| \Theta \|_{0,2} \| \Theta \|_{0,2}
 \end{aligned}$$

$$\rightarrow \partial_t \| \Theta \|_{0,2} \leq \| \partial_t s \|_{0,2}$$

$$\begin{aligned}
 \Rightarrow \| \Theta(t) \|_{0,2} &\leq \| \Theta(0) \|_{0,2} + \sum_0^t \| \partial_t s \|_{0,2} d\zeta \\
 &\stackrel{R_e \partial_t = \partial_t R_e}{=} \| u_{e,0} - R_e u_0 \|_{0,2} + \sum_0^t \| R_e \partial_t u - \partial_t u \|_{0,2} d\zeta \\
 &\leq \| u_{e,0} - u_0 \|_{0,2} + \underbrace{\| u_0 - R_e u_0 \|_{0,2}}_{\leq C h^s} + C h^s \sum_0^t \| R_e u \|_{S,2} d\zeta \\
 &\leq C h^s \| u_0 \|_{S,2}
 \end{aligned}$$

(i), (ii) \Rightarrow Beh \square

4.11. Satz (Semidiskrete H^2 -Fehlgeschätzungen)

u, u_e Lsg's von (\tilde{P}) , bzw. (\tilde{P}_e) , $u_0 \in H^s(\Omega)$,

$u \in L^\infty_{loc}((0, \infty), H^{s,2}(\Omega))$, $\partial_t u \in L^2_{loc}((0, \infty), H^{s-1,2}(\Omega))$,

dann gilt

$$|u_e(t) - u(t)|_{1,2} \leq C \|u_{e,0} - u_0\|_{1,2} +$$

$$C h^{s-1} \left(\|u_0\|_{S,2} + \|u(t)\|_{S,2} + \left(\int_0^t \|\partial_t u\|_{S,2}^2 d\zeta \right)^{\frac{1}{2}} \right)$$

Bew $u_e - u = (u_e - \mathcal{R}_e u) + (\mathcal{R}_e u - u) =: \Theta + g$ (wie in 4.10.)

$$(i) \|g(t)\|_{1,2} \leq C h^{s-1} \|u(t)\|_{s,2}$$

$$(ii) \text{ zu } (\partial_t \Theta, \varphi_e) + a(\Theta, \varphi_e) = - (\partial_t g, \varphi_e) \text{ wähle } \varphi_e = \partial_t \Theta \in V_{h,0}$$

$$\|\partial_t \Theta\|_{0,2}^2 + \frac{1}{2} \partial_t a(\Theta, \Theta) = (\partial_t g, \partial_t \Theta)$$

$$= \frac{1}{2} (\|\partial_t g\|_{0,2}^2 + \|\partial_t \Theta\|_{0,2}^2)$$

$$\Rightarrow \partial_t a(\Theta, \Theta) = \|\partial_t g\|_{0,2}^2$$

$$\Rightarrow c_0 \|\Theta(t)\|_{1,2}^2 \leq a(\Theta(t), \Theta(t)) = a(\Theta(0), \Theta(0)) + \int_0^t \partial_\xi a(\Theta(s), \Theta(s)) ds$$

$$\leq C \|\Theta(0)\|_{1,2}^2 + \int_0^t \|\partial_t g\|^2 d\xi$$

$$\leq C \left(\|u_{e,0} - u_0\|_{1,2}^2 + \underbrace{\|\mathcal{R}_e u_0 - u_0\|_{1,2}}_{C h^{s-1} \|u_0\|_{s,2}} \right)^2$$

$$+ C \int_0^t \|\partial_t g(t)\|_{0,2}^2 ds$$

$$(h^{s-1} \|\partial_t u\|_{s-1,2})^2$$

$$\Rightarrow \|\Theta(t)\|_{1,2}^2 \leq C \|u_{e,0} - u_0\|_{1,2}^2 + C (h^{s-1} \|u_0\|_{s,2})^2$$

$$+ C h^{2(s-1)} \left(\int_0^t \|\partial_t u\|_{s-1,2}^2 ds \right)$$

\Rightarrow

Aquivalenz von 2- und 1-Norm
im \mathbb{R}^n

$$\|\Theta(t)\|_{1,2} \leq C \left(\|u_{e,0} - u_0\|_{1,2} + h^{s-1} \|u_0\|_{s,2} + h^{s-1} \left(\int_0^t \|\partial_t u\|_{s-1,2}^2 ds \right)^{\frac{1}{2}} \right)$$

(i), (ii) \Rightarrow Beh \square

Nun diskutieren wir in der Zeit:

4.12 Schema (Rückwärt-Eulerwerten)

τ Zeitschritt, $u_e^k \in V_{e,0}$ Lsg von

$$(\tilde{P}_{e,\tau}^E) \quad \frac{(u_e^k - u_e^{k-1}, \varphi_e)}{\tau} + a(u_e^k, \varphi_e) = (f(t_e, \cdot), \varphi_e) \quad \forall \varphi_e \in V_{e,0}$$

$$u_e^0 = u_{e,0} \quad (t_e = k\tau)$$

Bem • lin. Gl. system: $(M_e + \tau A_e) u_e^k = M_e u_e^{k-1} + \tau \tilde{f}_e(t_e)$

u_e^k Knotenwerte u_e^k

$$\tilde{f}_e(t) = (f(t_j, \cdot), \varphi_e^j)_{j=1, \dots, m}$$

- M_e, A_e pos. definite (Neumannrandw. $\rightarrow A_e$ pos. semidef.)
 $\Rightarrow (M_e + \tau A_e)$ pos. def. $\Rightarrow u_e^k$ eindl. def.

4.13 Sak (Fehlerschätzungen für das Rückwärt-Eulerwerten)

$u, (u_e^k)_{k=0, \dots}$ Lsg von $(\tilde{P}), (\tilde{P}_{e,\tau}^E)$, $u_0 \in H^{S_2}(\Omega)$,

$\partial_t u \in L^2_{loc}((0, \infty), H^{S_1}(\Omega))$, $\partial_t^2 u \in L^1_{loc}((0, \infty), L^2)$, dann gilt:

$$\|u_e^k - u(k\tau)\|_{0,2} \leq \|u_{e,0} - u_0\|_{0,2} +$$

$$C \tau^s (\|u_0\|_{S_2} + \int_0^{k\tau} \|\partial_t u(\xi)\|_{S_2} d\xi) +$$

$$C \tau \int_0^{k\tau} \|\partial_t^2 u(\xi)\|_{0,2} d\xi.$$

Bew (Notation) $\partial_t^\tau v(t) = \frac{v(t) - v(t-\tau)}{\tau}$

$$\partial_t^\tau v^k = \frac{v^k - v^{k-1}}{\tau} \quad (\text{Diff. quot.})$$

$$\text{Ansatz} \quad u_e^k - u(t_e) = \underbrace{(u_e^k - R_e u(t_e))}_{=: \Theta^k} + \underbrace{(R_e u(t_e) - u(t_e))}_{=: \beta^k}$$

$$\text{wie in 4.11: } \|g^k\|_{0,2} \leq C h^s (\|u_0\|_{S,2} + \sum_{i=0}^{t_k} \|\partial_t u\|_{S,2})$$

nun zu Θ^k :

$$\begin{aligned}
 (\partial_t^\tau \Theta^k, \varphi_e) + a(\Theta^k, \varphi_e) &= (\partial_t^\tau u_e^k, \varphi_e) + a(u_e^k, \varphi_e) \\
 &\quad - (\underbrace{\partial_t^\tau R_e u(t_k)}_{\partial_t u(t_k)}, \varphi_e) - a(R_e u(t_k), \varphi_e) \\
 &= (\underbrace{f(t_{k+1}), \varphi_e}_{\partial_t u(t_{k+1}), \varphi_e}) - a(u(t_{k+1}), \varphi_e) - (R_e \partial_t^\tau u(t_k), \varphi_e) \\
 &= ((\partial_t u - \partial_t^\tau u)(t_{k+1}), \varphi_e) + ((1 - R_e) \partial_t^\tau u(t_k), \varphi_e) \\
 &=: (\omega_1^k, \varphi_e) \quad =: (\omega_2^k, \varphi_e) \\
 &=: (\omega^k, \varphi_e) \quad \text{mit } \omega^k = \omega_1^k + \omega_2^k
 \end{aligned}$$

$$\text{zusammenfassend: } (\partial_t^\tau \Theta^k, \varphi_e) + a(\Theta^k, \varphi_e) = (\omega^k, \varphi_e) \stackrel{\varphi_e = \Theta^k}{\Rightarrow}$$

$$(\partial_t^\tau \Theta^k, \Theta^k) \leq \|\omega^k\|_{0,2} \|\Theta^k\|_{0,2}$$

[Bem: zeitdiskrete Variante von $(\partial_t \Theta, \Theta) = (\partial_t g, \Theta)$]

$$\begin{aligned}
 \Rightarrow \|\Theta^k\|_{0,2}^2 - (\underbrace{\Theta^{k-1}, \Theta^k}_{\cdot \frac{1}{\|\Theta^k\|}}) &\leq \tau \|\omega^k\|_{0,2} \|\Theta^k\|_{0,2} \\
 &\leq \|\Theta^{k-1}\| \|\Theta^k\|
 \end{aligned}$$

$$\Rightarrow \|\Theta^k\|_{0,2} \leq \|\Theta^{k-1}\|_{0,2} + \tau \|\omega^k\|_{0,2}$$

Induktion

$$\begin{aligned}
 \Rightarrow \|\Theta^k\|_{0,2} &\leq \underbrace{\|\Theta^0\|_{0,2}}_{\|u_e^0 - R_e u_0\|} + \tau \sum_{i=1}^k (\|\omega_1^i\|_{0,2} + \|\omega_2^i\|_{0,2}) \\
 &\leq \|u_e^0 - R_e u_0\| + \|u_e^0 - u_0\| + C h^s \|u_0\|_{S,2}
 \end{aligned}$$

im Einzelnen:

zu w_1^i

$$w_1^i = \partial_t u(t_i) - \frac{u(t_i) - u(t_{i-1})}{\tau}$$

$$= \frac{1}{\tau} \sum_{t_{i-1}}^{t_i} \underbrace{\partial_t u(t_i)}_{=v} - \partial_t u(\xi) d\xi$$

$$\int_{t_{i-1}}^{t_i} u' v = \int_{t_{i-1}}^{t_i} u v' + uv \Big|_{t_{i-1}}^{t_i}$$

$$= \frac{1}{\tau} \sum_{t_{i-1}}^{t_i} \underbrace{(\xi - t_{i-1})}_{1.1 \leq \tau} \partial_t^2 u(\xi) d\xi + 0$$

post. Mth.

$$\Rightarrow \tau \sum_{i=1}^k \|w_1^i\|_{0,2} \leq \tau \sum_{i=1}^{t_k} \|\partial_t^2 u(\xi)\| d\xi$$

zu w_2^i

$$w_2^i = (1 - R_\theta) \frac{1}{\tau} \sum_{t_{i-1}}^{t_i} \partial_t u(\xi) d\xi = \frac{1}{\tau} \sum_{t_{i-1}}^{t_i} (1 - R_\theta) \partial_t u(\xi) d\xi$$

$$\Rightarrow \tau \sum_{i=1}^k \|w_2^i\|_{0,2} \leq \sum_{i=1}^k \underbrace{\int_{t_{i-1}}^{t_i} \|(1 - R_\theta) \partial_t u\|_{0,2}}_{\leq C h^s \|\partial_t u\|_{S,2}} d\xi$$

Nachhilf:

Rückwärts-Euler-Methode ist nur 1. Ordnung
in der Zeit: $\|u^k - u(t_{k+1})\|_{0,2} = O(h^s + \frac{1}{\tau})$

Bem: (Gradientenfehlerabschätzung)

$$\|u^k - u(t_{k+1})\|_{1,2} \leq C \|u_{h,0} - u_0\|_{1,2} + C \tau \left(\sum_0^{t_k} \|\partial_t^2 u\|_{0,2}^2 d\xi \right)^{\frac{1}{2}}$$

$$+ C h^{s-1} \left(\|u_0\|_{S,2} + \|u(t)\|_{S,2} + \left(\sum_0^{t_k} \|\partial_t u\|_{S,2}^2 \right)^{\frac{1}{2}} \right)$$

(ohne Beweis)

(111)

Ausweg: Diskretisiere Au, f zu Zeit $t_{k-\frac{1}{2}} = t_k - \frac{\tau}{2}$

$\rightsquigarrow \partial_t^{\tau} u_e^k$ ist dann zentrale Differenzenquotient

4.14 Schema

(Crank-Nicolson-Vorabin)

$$\left(\tilde{P}_{e,\tau}^{CN} \right) \left(\frac{u_e^k - u_e^{k-1}}{\tau}, \varphi_e \right) + \alpha \left(\frac{u_e^k + u_e^{k-1}}{2}, \varphi_e \right) = (f(t_{k-\frac{1}{2}}, \cdot), \varphi_e)$$

$$u_e^0 = u_{e,0}$$

 $\forall \varphi_e \in V_{e,0}$

\leftrightarrow Matrixschreibweise:

$$(M_e + \frac{\tau}{2} A_e) u_e^k = (M_e - \frac{\tau}{2} A_e) u_e^{k-1} + \tau M_e F_e(t_{k-\frac{1}{2}}, \cdot)$$

$f \equiv 0$

$$u_e^k = (I + \frac{\tau}{2} L_e)^{-1} (I - \frac{\tau}{2} L_e) u_e^{k-1}$$

$$\text{mit } L_e = M_e^{-1} A_e$$

$$= \tau (I L_e) \quad \text{mit } \tau(t) = \frac{1 - \frac{t}{2}}{1 + \frac{t}{2}}$$

rationale Approximation von e^{-t}

(vgl. Kapitel 1)